ГОСУДАРСТВЕННЫЙ КОМИТЕТ СССР ПО ГИЛРОМЕТЕОРОЛОГИИ И КОНТРОЛЮ ПРИРОДНОЙ СРЕДЫ

ТРУДЫ ОРДЕНА ТРУДОВОГО КРАСНОГО ЗНАМЕНИ ГЛАВНОЙ ГЕОФИЗИЧЕСКОЙ ОБСЕРВАТОРИИ им. А.И.ВОЕЙКОВА

Выпуск

432

МЕТРОЛОГИЧЕСКИЕ ИССЛЕДОВАНИЯ И ВОПРОСЫ ПОВЕРКИ МЕТЕОРОЛОГИЧЕСКОЙ АППАРАТУРЫ

Под редакцией канд. техн. наук Н. П. ФАТЕЕВА



УДК 551.501:508.824:389

06 T78

Сборник посвящен метрологическим исследованиям и вопросам атте-

стации образцовой и эталонной аппаратуры.

В статьях сборника содержатся материалы анализа погрешностей и оценки точности измерений, описания методик измерений и обоснования межповерочных интервалов. Приводятся результаты метрологической аттестации поверочного оборудования, рассматриваются методы поверки приборов.

Сборник предназначен для специалистов-метрологов, работающих в области метеорологических измерений. Он может быть полезен для преподавателей и студентов вузов, а также преподавателей и учащихся гидро-

метеорологических техникумов.

The publication deals with metrological studies and problems of certification of model and standard instruments.

The articles of this publication contain the results of analyzing errors and estimating measurement accuracy, descriptions of measurement techniques and basing the intervals between calibrations.

The results of metrological certification of calibration equipment are

given, methods for calibrating instruments are considered.

The publication is intended for specialists in metrology engaged in meteorological measurements. It could also be useful for workers of institutes and hydrometeorological schools interested in the problems of metrological provision.

Ленинградский ин-п Гидрометеорологический ин-п БИ-ЛИОТЕНА Л-д 19018 Использовать М

ИЗМЕРЕНИЕ МАЛЫХ СКОРОСТЕЙ ВОЗДУШНОГО ПОТОКА ПРИ ПОВЕРКЕ АНЕМОМЕТРОВ

Градуировка и поверка анемометров производится в образцовых аэродинамических трубах в соответствии с поверочной схе-

мой, описанной в работе [4].

В качестве образцового средства измерения скорости воздушного потока высшей точности используется напорная трубка с дифференциальным микроманометром класса 0,02, обеспечивающая измерения в диапазоне 5—60 м/с с погрешностью не более 2 %. При малых скоростях потока (0.5-5 м/c) измеряемые микроманометром скоростные напоры невелики и относительная погрешность измерения скорости резко возрастает. При скорости потока 4—6 м/с напор составляет всего 24,5 Па (2,5 мм вод. ст.), а для надежного измерения скорости необходимо производить отсчет с точностью меньше 0,24 Па (0,025 мм вод. ст.) что требует применения очень точных и чувствительных манометров. Такие манометры сложны в эксплуатации и для практического применения в поверке непригодны. Поэтому в качестве образцового средства измерения малых скоростей потока был предложен термоанемометр, который градуируется по образцовой напорной в двухсопловой аэродинамической трубе [4].

Измерение скорости потока в аэродинамической трубе при поверке приборов в указанном диапазоне может осуществляться также с помощью специального фотоэлектрического счетчика числа оборотов вентилятора, проградуированного по термоанемометру [2], или другого какого-либо измерительного устройства.

В настоящей статье описывается модернизированный образцовый термоанемометр и рассматривается методика его аттестации.

Термоанемометр предназначен для измерения средней скорости и интенсивности пульсаций скорости потока воздуха в диапазоне 0,6—60 м/с.

Предельная погрешность измерения термоанемометрами средней скорости $V_{\mathbf{c}}$ при температуре потока $(20\pm0.5)^{\circ}\mathrm{C}$ не превы-

шает $(0.02+0.03\ V_c)$ м/с, среднее квадратическое отклонение результата измерения интенсивности пульсаций скорости потока

воздуха ε (в процентах интенсивности) — (0,2-0,8) ε .

Принцип действия термоанемометра основан на использовании зависимости сопротивления нагретого проволочного чувствительного элемента (ЧЭ) от скорости набегающего потока. ЧЭ представляет собой тонкую вольфрамовую нить, наваренную на стальные держатели.

При изменении скорости потока за счет действия электрической обратной связи ток нагрева ЧЭ автоматически изменяется таким образом, что его электрическое сопротивление, а значит, и температура остаются постоянными. Благодаря тонкой проволоке и применению петли обратной связи инерционность прибора резко снижается и оказывается возможным измерять высокочастотные пульсации скорости. Кроме того, при постоянной температуре ЧЭ обеспечивается существенное снижение погрешности измерения, так как теплообмен между ЧЭ и средой происходит при неизменных условиях и не зависит от измеряемой величины. Измерение скорости потока термоанемометром сводится к измерению компенсирующего тока нагрева ЧЭ.

Зависимость между током ЧЭ и скоростью потока выражается градуировочной кривой термоанемометра и может быть опи-

сана нелинейным уравнением

$$I = k_1 + k_2 \sqrt{V},$$

где I — ток, нагревающий ЧЭ первичного измерительного преобразователя; V — скорость потока; k_1 , k_2 — постоянные, характе-

ризующие физические свойства ЧЭ.

Функциональная схема термоанемометра представлена на рис. 1. Первичный измерительный преобразователь (ПИП), включающий в себя ЧЭ, дополнительный резистор и магазин М образуют измерительный мост. Питание и управление моста осуществляется блоком УМ. Мост с помощью блока М настроен до измерений таким образом, что состояние баланса осуществляется при определенном нагреве сопротивления ЧЭ относительно температуры среды. Петля обратной связи, поддерживающая мост в состоянии баланса, замыкается через предварительный усилитель, на который подается сигнал с измерительной диагонали моста. В блоке ПУ сигнал усиливается, демодулируется и подается на усилитель мощности УМ.

K блоку YM подключен блок управления BY , обеспечивающий плавность ввода обратной связи и исключающий перегрузку $\mathit{Y3}$ в момент включения. Демодуляция напряжения в блоке $\mathit{\Pi Y}$ и преобразование напряжения в блоке YM осуществляются с помощью напряжения несущей частоты $\mathit{30}$ к $\mathit{\Gamma}$ ц, вырабатываемого звуковым

генератором ГЗ.

Входной блок УМ подается на мост, который поддерживается в состоянии равновесия при перегреве чувствительного эле-

мента на 38—60 % по отношению к температуре окружающей

среды.

Постоянная составляющая выходного напряжения УИ, пропорциональная средней скорости потока, поступает на стрелочный индикатор ИП или на гнезда подключения цифрового вольтметра типа В7-16, или на гнезда квадратичного вольтметра типа В3-40. Питание всего прибора осуществляется от сети переменного тока через встроенный стабилизированный выпрямитель и не зависит от колебаний напряжения в сети.

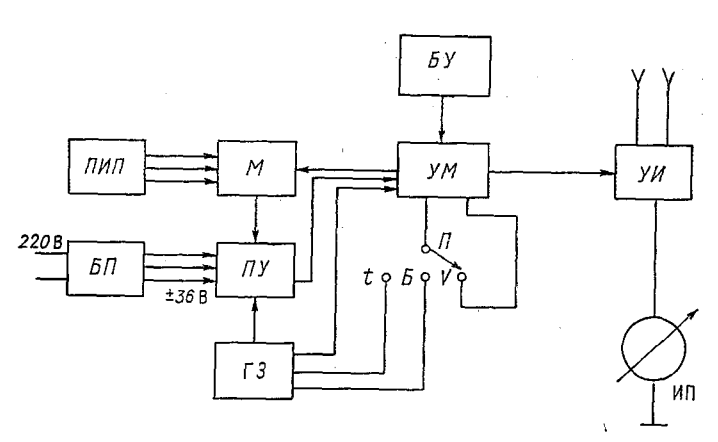


Рис. 1. Функциональная схема термоанемометра.

Перед началом измерений термоанемометр включается на вспомогательный режим работы, в котором происходит балансировка и настройка моста. Для этого переключатель H устанавливается в положение E. Петля обратной связи разрывается и сигнал разбаланса моста подается от блока HV через блок VH на стрелочный индикатор. Питание осуществляется через блок VM. На блок VM напряжение несущей частоты подается через переключатель U непосредственно от блока U. Его величина выбрана настолько малой, что в этом режиме U не нагревается и имеет температуру окружающей среды. Мост балансируется изменением сопротивления одного из плеч моста с помощью курбелей в блоке U.

При измерениях в режиме V мост будет поддерживаться в состоянии баланса с заранее установленным перегревом чувствительного элемента 49. Заданной величине перегрева соответствует определенная чувствительность 49 к изменениям скорости потока воздуха. Величина перегрева и начальное выходное напряжение прибора являются его индивидуальной характеристикой и их можно изменить только при переградуировке ПИП.

При необходимости термоанемометр позволяет осуществить контроль и измерение температуры исследуемого потока. Пере-

ключатель Π устанавливается при этом в положение t. Напряжение от блока I3 усиливается в блоке YM и подается на мост через токо-стабилизирующий резистор. Благодаря этому ток питания ЧЭ при изменении температуры практически не меняется. Если мост сбалансирован при самой низкой температуре, то по мере повышения температуры в процессе измерения он разбалансируется. Напряжение разбаланса в диагонали моста усиливается в блоке YM и поступает на стрелочный индикатор $U\Pi$. До измерения температуры $\Pi U\Pi$ следует отградуировать на соответствующей установке.

Для уменьшения габаритов и массы прибора в схеме термоанемометра применены современные кремниевые транзисторы

и интегральные схемы.

В эксплуатации прибор прост. После балансировки моста, задания величины перегрева и установки режима V процесс измерения скорости потока и интенсивности пульсаций сводится к измерению постоянного и переменного выходных напряжений на выходе прибора. По градуировочной таблице определяется средняя скорость, а по приведенной формуле вычисляется интенсивность пульсаций скорости.

Для настройки, градуировки и аттестации термоанемометра

необходимы следующие приборы и оборудование:

— двухступенчатая аэродинамическая труба; — напорная трубка 1-го разряда с микроманометром класса

0,02; — цифровой вольтметр типа B7-16 с погрешностью не хуже $\pm 0,1$ %;

— милливольтметр типа B3-40 с погрешностью не хуже $\pm 1,5$ %;

— генераторы сигналов типа ГЗ-104 и ГЗ-41.

Аттестация термоанемометра проводится по установленной методике с целью определения его метрологических характеристик и утверждения в качестве образцового средства измерения.

Основными характеристиками, которые определяются в процессе аттестации, являются диапазон и предельная погрешность измерения средней скорости и интенсивности турбулентных пульсаций.

Определение диапазона и погрешности измерения средней скорости потока производится с помощью образцовой двухступенчатой аэродинамической трубы и напорной трубки 1-го разряда. Чувствительный элемент термоанемометра устанавливается в широком конфузоре трубы, напорная трубка — в малом конфузоре. На выходе термоанемометра подключается цифровой вольтметр. Напорная трубка соединяется с микроманометром. После приведения аппаратуры в действие производятся отсчеты по цифровому вольтметру и микроманометру на скоростях потока 0,6, 0,8, 1,0, 1,2, 1,5, 1,8, 2,0, 2,5, 3,0, ..., 7,0 м/с. На каждой точке измерения повторяются 40 раз. При отсутствии грубых погрешностей количество отсчетов можно снизить до 20.

Результаты измерений обрабатываются с помощью ЭВМ: высляются и выводятся на печать таблицы значений градуировочой характеристики термоанемометра V = f(U) (V — скорость пока, U — напряжение на выходе термоанемометра) и таблица начений среднего квадратического отклонения результата измения средней скорости потока S_d .

Результаты измерений и вычислений записываются для разичных $V_{\text{ист}} = 0.5, 0.6, ..., 7.0 \text{ м/c}$ по следующей форме:

		V _{uct}					
n	U_i U_{cp}		U _{cp}	V_i	$S_{d=}$		
1				. •			
. 2					January 1		
• • • •				* * * * * * * * * * * * * * * * * * *	mar tall the		
40	, * * *	100	· . :				

Примечание. Здесь U_i — выходное напряжение при отдельном измении, $U_{\rm cp}$ — среднее арифметическое значение выходного напряжения, S_d — реднее квадратическое отклонение средней скорости потока.

Среднее квадратическое отклонение средней скорости вычисля-

$$S_{d=} = \sqrt{\frac{\sum_{1}^{n} (V_{i} - V_{cp})^{2}}{n(n-1)}}.$$
 (1)

Для каждой скорости определяется полная предельная погрешность результата измерений по формуле

$$\delta_{\rm n} = \sqrt{(2S_{d=})^2 + \delta_{\rm AT}^2},\tag{2}$$

где δ_{AT} — предельная погрешность установки заданного значения скорости в аэродинамической трубе (определяется при аттестации).

Во время проведения измерений температура воздушного потока должна поддерживаться постоянной с точностью $\pm 0.5 \, \text{K}$. Проверка нормальности распределения полученных результатов наблюдений и правильности принятой обработки выполняется пометодике, изложенной в [3].

Для определения диапазона и погрешности измерения интенсивности пульсаций скорости задается различная частота f перемещения ПИП термоанемометра от 2 до 20 Γ ц и на каждой частоте производятся по 10 раз измерения напряжения U_i на выходе термоанемометра милливольтметром при скоростях потока 0,5 и 7,0 м/с. Вычисляются значения интенсивности пульсаций ско-

рости потока, задаваемые в трубе ($\varepsilon_{\text{ист}}$) и измеренные по терм анемометру (ε_i), выраженные в процентах, и среднее квадрат ческое отклонение результата измерения интенсивности пульс ций скорости потока (S_d) по формулам:

$$\varepsilon_{\text{ucr}} = 0.222 \frac{fL}{V_{\text{ucr}}},\tag{}$$

$$\varepsilon_i = \frac{4U \sim U}{U_-^2 - U_0^2} \cdot 100,$$

$$S_{d_{\sim}} = \sqrt{\frac{\sum_{1}^{n} \left(\frac{\varepsilon_{l} - \varepsilon_{\text{HCT}}}{\varepsilon_{\text{HCT}}}\right)^{2}}{n(n-1)}},$$
 (8)

где L — амплитуда перемещения ПИП; $U_\sim U_=$ — переменное и постоянное напряжения на выходе термоанемометра при заданно средней скорости; U_0 — постоянное выходное напряжение пр U=0.

Для каждой заданной величины интенсивности определяетс полная предельная погрешность измерения по формуле

$$\delta_{\rm n_{\sim}} = \sqrt{(2S_{d_{\sim}})^2 + \delta_{\rm AT_{\sim}}^2},\tag{6}$$

где $\delta_{AT_{\sim}}$ — предельная погрешность интенсивности пульсаци

скорости потока в аэродинамической трубе.

Результаты измерений и вычислений записываются в таблицу определенной формы для различных $V_{\text{ист}} = 0.5$, 0.6, ... 7.0 м/с) и объединяются в одну сводную таблицу каждого значения f ($f = 2, 4, ..., 20 \Gamma$ ц). Форма записи следующая:

	V _{uct}						
n	U_i	e _i	εист	<i>S</i> _d ∼	$\delta_{\Pi_{\sim}}$		
1 2							
10							

Кроме рассмотренных основных характеристик, при аттестации определяются стабильность показаний термоанемометра, порог чувствительности и амплитудно-частотная характеристика. До начала аттестации проверяется наличие необходимой техдокументации и соответствие прибора чертежам. Результат аттестации оформляется протоколами, на основании которых составляется свидетельство о метрологической аттестации термоанемометра.

В период эксплуатации термоанемометр подлежит поверке в установленные сроки.

СПИСОК ЛИТЕРАТУРЫ

1. Блантер Д. Я., Кузьмин В. А., Попов А. И. Труба для градуировки измерителей малых скоростей воздушного потока. — Труды метрологических институтов СССР, 1976, вып. 194(254).
2. Блантер Д. Я., Рогалев Ю. В. Результаты метрологической атте-

стации образцовых аэродинамических труб. См. наст. сборник. 3. Бурдун Г. Д., Марков Б. Н. Основы метрологии. — М.: Изд-во стан—

дартов, 1975.

4. Образцовые средства измерения скорости воздушного потока, их исследование и аттестация/Н. П. Фатеев, Б. Л. Сущинский, В. А. Кузьмин, Д. Я. Блантер. — Труды ГГО, 1977, вып. 392.

ИЗМЕРЕНИЕ СКОРОСТИ ВОЗДУШНОГО ПОТОКА АБСОЛЮТНЫМИ МЕТОДАМИ

В практике измерений скорости воздушного потока наибольшее распространение получили методы измерения, в которых в качестве первичного измерительного преобразователя применяются различного рода механические ветроприемники, находящиеся в соприкосновении с движущейся средой (винтовые и чашечные анемометры, пневмометрические напорные трубки, термоанемометры). Такие приемники вносят нежелательные искажения в исследуемый поток, а результат измерения в значительной степени зависит от свойств чувствительного элемента. Поэтому для особо точных измерений, при воспроизведении шкалы и передаче размера единицы скорости потока воздуха необходимы абсолютные методы и преобразователи неконтактного типа, обладающие стабильностью своих характеристик.

Современные требования, предъявляемые к эталонным измерителям скорости воздушного потока, могут быть достаточно полно удовлетворены с помощью бесконтактных методов, среди которых следует выделить лучевые (лазерные и акустические), а так-

же анемометры с тлеющим разрядом (искровые).

В последние годы успешно развивается лазерная анемометрия, представляющая собой совокупность методов решения обратной задачи взаимодействия лазерного излучения с исследуемой средой. При взаимодействии лазерного излучения со средой может изменяться любой из параметров электромагнитной волны лазерного пучка: амплитуда, фаза, частота, состояние поляризации и направление распространения. Если исследуемый поток содержит оптические неоднородности, движущиеся вместе с потоком, то, определяя тот или иной параметр зондирующего пучка, можно определить их скорость, а следовательно, и скорость воздушного потока. Таким образом, нужная нам информация о потоке заложена в параметрах электромагнитной волны рассеянного света.

В лазерной анемометрии значение скорости ветра в текущий момент времени определяется, как правило, по доплеровскому

двигу частоты света, рассеянного на движущихся оптических неднородностях, который является линейной функцией скорости отока. В качестве таких неоднородностей могут выступать флукуации показателя преломления исследуемого потока, естественая запыленность, либо искусственно введенные инородные частиы, показатель преломления которых отличается от показателя реломления зондируемой среды. Поскольку в последнем случае нтенсивность рассеянного света значительно больше, то в лазерых измерителях скорости потока именно этот тип рассеяния и нател наибольшее распространение. Поэтому одним из важных рактических вопросов лазерной анемометрии является определене оптимальных размеров, формы и концентрации, а также оптивских свойств (фазовых характеристик когерентного поляризо-

анного света), примесей, исользуемых в качестве рассеиающих центров. В общем слуае размер частиц должен быть пеньше длины волны излучения

азера.

В общем виде лазерный измеитель скорости потока включает себя источник когерентного ветового излучения, оптическую истему, направляющую лазерый луч в исследуемую область неоднородностей, вижущихся риемную оптику, выделяющую ассеянный неоднородностями учок, схему сравнения частот игнального и опорного пучков и хему измерения доплеровской астоты.

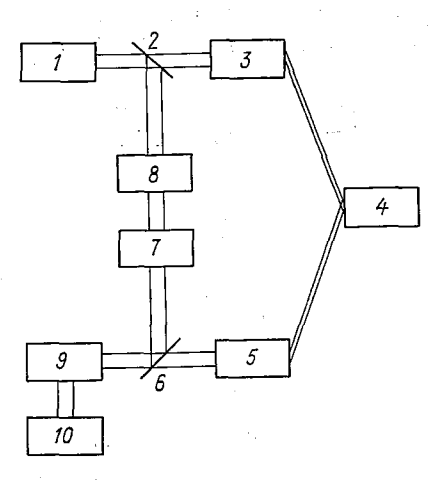


Рис. 1. Схема лазерного анемометра с одним зондирующим пучком.

В некоторых анемометрах бычно требуется небольшая мощность излучения и в основном спользуются разовые лазеры непрерывного действия, обладаюцие достаточно высокой временной и пространственной когерентостью излучения. Импульсные лазеры используются крайне редко з-за сложности обработки получаемой информации.

Идеи лазерной анемометрии были заимствованы из радиолоации, где эффект Доплера широко используется. Для определеия скорости потока, помимо измерения частоты падающей на астицу волны, необходимо знать и геометрические особенности пыта. Однако существенная разница в длинах волн оптического радиодиапазонов позволила использовать в лазерной анемометии схемы с двумя зондирующими волнами и исключить зависипость приемного устройства от направления приема. В этом слуае доплеровский сдвиг частоты определяется только разностью астот падающих пучков и скалярным произведением вектора корости и разностного вектора двух падающих пучков. Это позволило создать односторонние схемы и производить исследования потока на больших расстояниях от прибора. Разность дву падающих пучков не зависит от направления приема рассеянног света и однозначно связана со скоростью движения светорассеи вающих центров.

Лазерный метод дает большие преимущества при измерени скорости турбулентного потока, в котором возникают несоответ

ствия скорости частицы скорости исследуемого потока.

Ввиду малых мощностей рассеянного излучения (10⁻¹⁰ В и меньше) при частоте модуляции до сотен МГц в лазерных ане мометрах в качестве приемников чаще используются фотоэлект ронные умножители, которые обладают достаточной чувствитель ностью и быстродействием. При этом очень важно знать зависи мость параметров фотоприемника от параметров падающего н него рассеянного излучения.

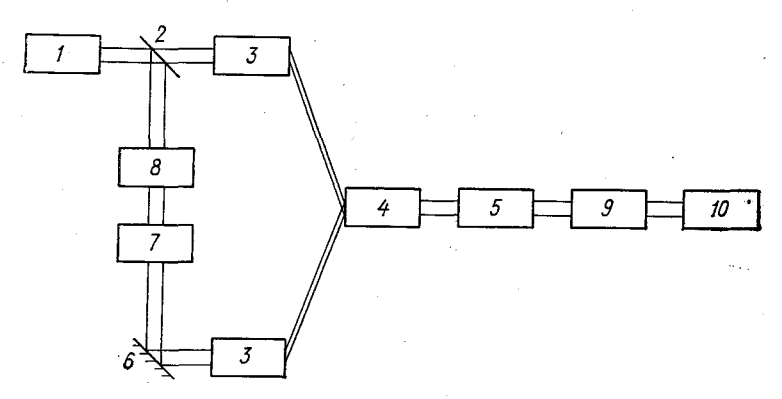


Рис. 2. Схема лазерного анемометра с двумя зондирующими пучками.

Информацию, заключенную в частоте электромагнитной вол ны, обычно выделяют методом детектирования, методом фотосме щения или оптическим спектральным методом.

Источником излучения в лазерном анемометре (рис. 1) явля ется лазер 1. С помощью расщепителя 2 лазерный пучок делится на два пучка: сигнальный и опорный. Сигнальный пучок оптиче ской системой 3 направляется на исследуемый объект 4, на кото ром происходит рассеяние света. Рассеянный свет собирается при емной оптикой 5 и через узел совмещения пучков 6 попадае в блок выделения доплеровского сдвига частот 9. Туда же попадает и опорный пучок, предварительно пройдя через систему вы равнивапия оптического пути, состоящую из линии задержки и однополюсного модулятора 7, сдвигающего исходную частоту на величину, равную доплеровской частоте. В блоке 9 происходи сравнение частоты рассеянного излучения с частотой опорного пуч

а лазера, а в блоке 10 — окончательная обработка выделенного игнала.

Схема лазерного анемометра с двумя зондирующими пучками рис. 2), отличается от рассмотренной выше схемы тем, что иследуемый поток зондируется двумя пучками когерентного света соответственно в блок 9 направляется рассеянный свет, в котоом содержатся две волны.

Как видно из рассмотрения принципа действия лазерного анеометра, аналогом скорости потока является мгновенная частота оплеровского сигнала, снимаемого с выхода фотоприемника. ледовательно, в блоке 10 возможны два способа обработки сигала. Первый из них связан с демодуляцией частоты и преобразоанием доплеровского сигнала в аналог пульсаций локальный корости, а второй—в непосредственном проведении корреляцииного и спектрального анализа доплеровского сигнала.

На другом принципе работает лазерный фотонный корреляионный анемометр [2], который состоит из лазера, оптической истемы, расщепителя луча, детектора фотонов и корреляцион-

ого процессора.

С помощью расщепителя лазерный луч расщепляется на два уча, которые образуют интерференционное поле. Скорость потоа определяется по времени прохождения инородными частицами ежду интерференционными максимумами этого поля, при перечении которых возникают вспышки света, улавливаемые детекором фотонов. На выходе детектора фотонов получаются электические импульсы, которые при помощи процессора подвергаютя корреляционному анализу. Анемометр обладает широким изпазоном измерения скоростей, от нескольких сантиметров в митуту до 500 м/с, с погрешностью порядка 1 %.

Использование оптических методов измерения параметров поока с помощью лазеров позволяет иметь анемометры, обладаюцие широким диапазоном измерения скоростей $10^{-6}-10^{-4}$ м/с, орошим пространственным разрешением (число независимых изерений в единице объема 10^3 мм $^{-3}$, хотя принципиально можно остичь разрешения до 10^9 мм $^{-3}$) и имеющие большую чувствиельность (минимально обнаруживаемую концентрацию в потоке астиц с заданными оптическими свойствами), малую погрешость измерений (не превышающую $\pm 1,5$ % в диапазоне скоро-

тей, встречающихся в естественных условиях).

Выше уже говорилось, что лазерный анемометр измеряет скоость частиц, служащих светорассеивающими центрами. При изерении скорости потока очень важно, чтобы эти частицы точно ледовали за потоком. Поэтому лазерные методы накладывают пределенные требования на параметры частиц, которые в основом сводятся к тому, чтобы их размер был как можно меньше, плотность была близка к плотности среды. Нижний предел, пределяемый наличием броуновского движения, составляет прилизительно 0,1 мкм. Кроме того, поведение частиц в турбуентном потоке также зависит от частоты турбулентных пульса-

ций. Естественно, что чем выше частота, тем больше будет не соответствие скорости частицы скорости исследуемого потока Проблема отставания частиц становится тем острее, чем сильне отличаются плотности частиц и среды и чем выше частота иссле

дуемых пульсаций.

В так называемых кинематических методах измерений скорости потока искомая величина определяется по времени прохождения меченой частицей известного пути между двумя точками Известны методы, в которых используются твердые частицы [1] нагретый воздух [3], плазма [5] и другие неоднородности. Врем перемещения их между двумя реперными точками регистрируется с помощью оптических, радиотехнических и других способо

Суть измерения скорости при помощи оптического кинемати ческого метода заключается в том, что в исследуемый поток на правляются два лазерных пучка, отстоящих друг от друга н определенном расстоянии. Пересекая эти пучки, оптическая но однородность вызывает рассеяние света, который улавливаетс фотоприемником. Измеряя временной сдвиг между двумя вспыш ками, определяют скорость ветра.

В анемометрах с импульсным нагревом нити [1] определени скорости производится по температурным неоднородностям потека, которые формируются и обнаруживаются с помощью тонки металлических нитей, находящихся на небольшом расстоянии дру

от друга и расположенных перпендикулярно потоку.

Достоинством этих методов является то, что скорость измеря ется непосредственно, т. е. они абсолютны. К сожалению, выход ной сигнал таких анемометров является нелинейной функцие

скорости.

Плазменные анемометры относятся к числу приборов, в которых сочетаются положительные свойства рассмотренных выш приборов. На использовании анемометрических свойств плазм основаны анемометры с тлеющим и коронным разрядами, а так

же искровые анемометры.

В анемометрах с тлеющим разрядом используется зависимост напряжения пробоя воздушного промежутка между двумя электродами от длины этого промежутка, который определяется величиой скорости потока. Режим работы такого анемометра определяется величиной подаваемого на электроды напряжения. Пр напряжении в несколько сотен вольт между электродами, расположенными на расстоянии примерно 100 мкм, образуется тлеющи разряд (голубое свечение у катода). При токе порядка 10 мл в данном анемометре наблюдается обгорание электродов, которые к тому же весьма чувствительны к загрязнению воздуха В связи с этим происходит дрейф градуировочных зависимостей Уменьшение дрейфа можно достичь за счет увеличения напряжения.

При подаче напряжения в несколько киловольт между электродами, разнесенными на несколько миллиметров, возникает коронный разряд при меньшей величине тока. Недостатком анемо

метров этого типа являются нелинейная зависимость выходногосигнала от скорости потока и непостоянство градуировки во времени, что затрудняет их использование в качестве образцовых.

Более перспективными для этих целей являются высокочастотные искровые анемометры [5]. Искровые анемометры могут работать в двух режимах: в режиме прогиба и в режиме срыва искры. В режиме срыва искры они обеспечивают измерение скорости потока в диапазоне от 3—5 м/с до 1—1,5 м/с. Этот режим работы аналогичен режиму работы анемометров с тлеющим разрядом. При скоростях, больших 1—1,5 м/с, они работают в режиме срыва искры.

Идея искрового метода состоит в том, что под действием достаточно большого электрического напряжения воздух, находящийся в межэлектродном промежутке, в результате ударной и фотонной ионизации становится электропроводным и между электродами (при достаточной мощности источника питания) возни-

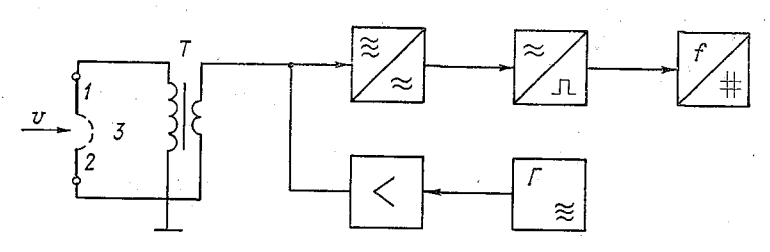


Рис. 3. Схема искрового анемометра с разрядником.

кает четко очерченный искровой канал, способный деформироваться (прогибаться) под воздействием динамического давления набегающего воздушного потока. Когда прогиб искрового капала достигает определенного значения, происходит его срыв. Моменту срыва предшествует возникновение новой искры. При этом частота срывов искрового канала в довольно широком диапазоне скоростей оказывается линейной функцией скорости потока (экспериментальная проверка производилась до 40 м/с).

Первичный измерительный преобразователь представляет собой устройство, содержащее игольчатый разрядник 1-2, включенный в цепь вторичной обмотки высокочастотного трансформатора (рис. 3). Электроды разрядника выполнены из платиновой

проволоки диаметром 0,4 мм.

Электрическая схема анемометра состоит из двух самостоятельных блоков. Первый блок предназначен для питания разрядника и включает в себя задающий генератор Γ и усилитель мощности. Генератор настраивается на частоту 90-100 кГц. Мощность, отбираемая датчиком, составляет 10-15 Вт. Второй блок является измерительным и предназначен для выдачи на регистрирующее устройство напряжения, пропорционального измеряемой

•скорости ветра. Электрическая схема этого блока образует тракт, состоящий из высокочастотного генератора, усилителя-ограничителя, преобразователей низкочастотных колебаний (срывов искры) в аналоговую или цифровую форму и регистрирующее устройство.

Чувствительность анемометра равна примерно 330 Гц·м⁻¹·с. Ввиду малых диаметров искрового канала пространственная разрешающая способность сравнима с пространственной разрешающей способностью термоанемометров с нагретой нитью или лазерного анемометра. Поскольку величина пробивного напряжения между электродами зависит от плотности воздуха, то ее значительные изменения должны быть учтены.

Искровой анемометр может быть построен и на использовании кинематического метода измерения скорости воздушного потока. В этом случае разрядные электроды расположены параллельно друг другу и установлены вдоль потока, а токосъемный электрод находится между разрядными электродами и установлен перпен-

дикулярно потоку.

В целях уменьшения расстояния между концами разрядных электродов последние заострены и слегка подогнуты в направлении к друг другу. Это необходимо для того, чтобы в момент подачи напряжения на разрядные электроды пробой воздушного промежутка происходил в зазоре между концами электродов. Сформированная на концах электродов искра под действием динамического напора смещается вместе с потоком до пересечения ее с токосъемным электродом. При этом в системе питания электродов вырабатывается импульс гашения, который блокирует цепь питания разрядника. В этот момент производится искусственно срыв искры, после чего процесс повторяется. Новая искра вновь возникает на концах электродов и через время обратно пропорциональное скорости потока снова достигает токосъемного электрода. Измеряя частоту следования импульсов, находим значения скорости потока, которые связаны между собой линейно.

Описанный метод лишен перечисленных выше недостатков, свойственных плазменным анемометрам, работающим в режиме

прогиба и срыва искры.

Рассмотренные методы измерений находят все большее примененне в метеорологических исследованиях. Обладая рядом отмеченных преимуществ, они дают возможность осуществить абсолютные измерения и могут быть рекомендованы для использования при создании образцовых и эталонных приборов.

СПИСОК ЛИТЕРАТУРЫ

1. Брэдшоу П. Введение в турбулентность и ее измерение: Пер. с анг.—

М.: Мир, 1974. — 278 с.

^{2.} Застрогин Ю. Ф., Белевитнев В. Р. Лазерные измерительные приборы на выставке «Метрология-77».— Приборы и системы управления, 1978, № 1.

3. Ринкевичус Б. С. Лазерная анемометрия. — М.: Энергия, 1978. —

4. Образцовые средства измерения скорости воздушного потока, их сследование и аттестация/Д. Я. Блантер, В. А. Кузьмин, Б. Л. Сущинский, I. П. Фатеев.— Труды ГГО, 1977, вып. 392.

5. Толстобров Б. Я., Зарубин Е. В., Бердовский Н. Н. Ветроой измерительный комплекс высотной мачты г. Ушаки. — Труды ЦВ ГМО.

976, вып. 7, с. 126—130.
6. Фатеев Н. П. Измерение температуры и скорости воздушного потока свободной атмосфере ультразвуковым методом.— Труды ЛКВВИА, 1961, ып. 361.

МЕТОДЫ ПОВЕРКИ АВТОМАТИЧЕСКИХ МЕТЕОСТАНЦИЙ С ПРИМЕНЕНИЕМ ПОДВИЖНЫХ ПОВЕРОЧНЫХ ЛАБОРАТОРИЙ

Опыт работы с автоматическими метеорологическими станциями (AMC) на сети станций Госкомгидромета показал острую не обходимость в создании подвижных средств поверки, с помощы которых можно было бы выполнять поверочные работы с АМС

непосредственно на месте эксплуатации.

Вопросы создания передвижных поверочных лаборатори (ППЛ) рассматривались и ранее [4, 6], но это были лаборатори для поверки средств измерения (СИ) общего назначения или опре деленного типа СИ, что несколько упрощало задачу их комплек тации образцовыми СИ. Для целей поверки АМС на мест эксплуатации требуется комплектная ППЛ, снабженная малогаба ритным поверочным оборудованием и образцовыми СИ необходи мой точности. При использовании такой ППЛ отпадает необходимость в демонтировании и транспортировке измерительных пре образователей (ИП) или центрального устройства (ЦУ) АМО в поверочные органы для периодической поверки в стационарных условиях, и тем самым достигается большой экономический эффект.

Вместе с тем требования к метрологической надежности АМО достаточно велики и могут быть обеспечены лишь при высоком

качестве поверки [5, 15].

Основные направления в создании ППЛ были предложены в ра ботах [17, 18, 19], где изложены методические основы по верки АМС, и рекомендуется разработанная для этих целей аппаратура. В настоящей статье рассматриваются некоторые методы поверки АМС на месте эксплуатации по отдельным каналам измерения с конкретной их реализацией в условиях ППЛ.

Обеспечение единства и достоверности измерения какой-либо физической величины по каналам АМС достигается строгим со блюдением поверочных схем, которые устанавливают определенный порядок передачи размера единицы от образцовых СИ к ра

очим СИ [19]. При поверке в ППЛ должна осуществляться передача размера единицы от образцового СИ к поверяемому СИ. Обычно это связано с заданием величины и ее измерением образтовым прибором, поверенным по образцовому прибору более вырокого разряда в нормальных условиях и поэтому требуется, чтобы образцовый прибор подвергался наименьшему числу влияющих ракторов.

В принципе эта задача может быть решена благодаря сущетвованию абсолютных методов измерений и конкретной прибор-

ной реализацией их в условиях ППЛ.

Для построения ППЛ предложено два варианта. Первый — то размещение в составе ППЛ контрольно-поверочных установок, помощью которых воспроизводится стационарная во времени ризическая величина метеопараметра в любой точке диапазона. Второй — размещение в составе ППЛ портативного образцового контрольно-поверочного оборудования инспекторского типа, с помощью которого осуществляется определение сохранности градуировочных характеристик каналов измерения АМС в ограниченном участке диапазона. В любом из вариантов построения ППЛ достигаются организационный и экономический эффекты поверки АМС на месте эксплуатации, причем с точностью, значительно превосходящей существующую.

В первом варианте ППЛ включает в себя комплект поверочного оборудования для создания стабильного во времени значения метеопараметра, в который входят: грузопоршневой манометр абсолютного давления (МАД в комплекте с барокамерой или бароколонкой), термогигростат (ТГС) с косвенным заданием относительной влажности воздуха по методу «двух температур», обеспечивающий возможность поверки каналов измерения температуры и влажности воздуха АМС в области положительной и отрицательной температуры, малогабаритная аэродинамическая труба (АТ) и имитатор выходных сигналов (ИП), позволяющий осуществлять на месте эксплуатации настройку, регулировку и поверку ЦУ АМС [13].

Дополнительно в состав ППЛ вводятся необходимые стандартные контрольно-измерительные приборы и вспомогательное оборудование (осциллограф, генераторы импульсов, частотомер, тестер и т. п.), а также походное оборудование и инструмент для профилактического ремонта. Технические характеристики основного поверочного оборудования представлены в табл. 1. Весь комплект поверочного оборудования размещается в кузове автомашины и позволяет оперативно обслужить определенную сеть

AMC [17].

Рассмотрим методы поверки АМС с применением этого комплекта поверочного оборудования. В качестве ИП атмосферного давления в АМС используются различные по конструкции, габаритам и принципу действия устройства. Так, в АМС типа М-106М применен ртутный барометр с фотоследящей системой за уровнем ртути в трубке, в АМС типа М-107 применен блок анероидных

Перечень основного поверочного оборудования и его метрологические характеристики для ППЛ

(І вариант)

Поверочное оборудование	Диапазон измерения (имитации)	Предел допускаемой погрешности
Манометр МАД в комплекте с баро- установкой	2,7·10²1100 гПа	±10Па
Термогигростат		·
влажность воздуха	30100 %	± 2 %
температура воздуха	-60+50 °C	±0,1 °C
Малогабаритная аэродинамическая труба		
предельная погрешность измерения скорости потока	0,520 м/с	102 %
неравномерность поля скоростей	0,5 20 м/с	34 %
нестабильность потока		Не более 3 %
нестабильность в рабочей зоне по- ля турбулентных пульсаций	_	Не более 23
угол скоса потока		Не более 2
предельная погрешность определения коэффициента сопла	_	Не более 1,4 %
Имитатор выходных сигналов ИП		
по температуре воздуха	60+50°C	± 0,2 °C
по влажности воздуха	20100 %	± 2 %
по скорости ветра	060 м/с	±2 %
по направлению ветра	0360°	$\pm 3~\%$
по атмосферному давлению	5701090 гПа	±10 Па
по высоте нижней границы облаков	502000 м	±2 %
по метеорологической дальности видимости	506000 м	±2 %
по количеству жидких осадков	0,550 мм	±1 %
по солнечному сиянию	Наличие — отсут- ствие	_

барокоробок со счетным механизмом, в АМС типа КРАМС-М при меняется вакуумированный сильфон, в котором под воздействием атмосферного давления развивается усилие, преобразуемое авто матическим силокомпенсационным устройством и счетным ме ханизмом в значение атмосферного давления. Предел допускае мой погрешности измерения давления A_{π} этими ИП от ± 0.15 до ± 0.2 гПа (у ИП станции М-107 значение $A_{\pi} = \pm 1.0$ гПа).

Для обеспечения надлежащей точности поверки ИП такого клас са и в соответствии с требованиями поверочной схемы [19] необ

одимо образцовое СИ с величиной погрешности не хуже широком диапазоне давлений, быть переносным и удобным эксплуатации. Для решения этой задачи был разработан инпекторский манометр абсолютного давления, который применятся в комплекте с барокамерой. Эта установка позволяет также оверять контрольные и инспекторские ртутные барометры, барорафы-анероиды, радиозонды. Поверка может быть осуществлена вумя способами: 1) поверка производится при текущем атмоферном давлении (контрольные и инспекторские ртутные бароістры) или в широком диапазоне давлений, создаваемых в бароамере (барометры-анероиды, барографы, ИП АМС); 2) поверка іроизводится при различных, наперед заданных значениях груов, накладываемых на приемную тарелку поршня МАД и уравговешивающих давление, действующее на поршень. Соответствуюцее давление в барокамере (или в бароколонке) достигается ситемой «откачивание — нагнетание» в момент равновесия поршня. **Иомент** равновесия фиксируется нуль-индикатором. Второй спооб более удобен и обладает повышенной точностью.

Применяемые в АМС ИП влажности воздуха должны обеспепивать измерение и регистрацию влажности воздуха как в облати положительных, так и в области отрицательных температур. В то же время существующая методика поверки этих ИП основака на использовании гигростатов с заданием влажности при комнатной температуре и не выявляет погрешности их при отрицасельной температуре среды, в которой они эксплуатируются. В ГГО была разработана конструкция термогигростата, принцип пействия которого основан на методе двух температур [11], а в работе [8] детально дан анализ погрешностей такого гигрометрического комплекса. Для передачи единицы влажности в этом комплексе используется жесткая термодинамическая зависимость между температурой и упругостью насыщения водяных паров, выражаемая соотношением

 $E = E_0 \exp \frac{L}{k} \frac{T - T_0}{T \cdot T_0}, \tag{1}$

де k — постоянная Больцмана, L — теплота фазового перехода воды, T — температура в кельвинах, T_0 — тройная точка воды, E_0 — соответствующая этой температуре упругость насыщения.

Принцип получения влажности в $T\Gamma C$ состоит в насыщении замкнутого воздушного объема водяным паром при определенном значении температуры T_1 с последующим повышением температуры этого объема до необходимого значения T_2 при p = const. Относительная влажность φ (в процентах) вычисляется по двум измеренным значениям температуры и соответствующим им значениям упругости насыщения водяных паров

$$\varphi = \frac{e_{T_1}}{e_{T_2}} \cdot 100. \tag{2}$$

Значения e_{T_i} и e_{T_s} находят из психрометрических таблиц.

Передачу единицы влажности можно осуществить в термо гигростате с применением гигрометра точки росы (ГТР) [22] т. е. в ППЛ должен быть размещен комплекс ТГС—ГТР. Изме рение и регулирование температуры в камерах ТГС осуществля ется с помощью двух контрольных платиновых термометров со противления или термисторов. Поддержание температуры в обе их камерах осуществляется автоматически с погрешностью, не превышающей ± 0.1 °С. В ТГС возможна поверка лишь чувстви тельных элементов влажности и температуры воздуха АМС, т. е

требуется разборка ИП. Передача единицы скорости воздушного потока осуществля ется с помощью образцовой аэродинамической трубы, аттестован ной до скорости потока 5 м/с по образцовому термоанемометру и от 5 м/с до верхнего предела измерений по образцовой напор трубке 1-го разряда в комплекте с микроманометром МКВ-250. Используемые в АМС в качестве ИП скорости возлушного потока анеморумбометры требуют индивидуальной градуи ровки вследствие неидентичности аэродинамических характери стик ветроприемников, которые к тому же могут меняться в процессе эксплуатации. Существующая методика поверки и градуировки ветроизмерительных приборов по диапазону измерения с применением больших АТ здесь неприемлема и используется при первичной поверке (после выпуска из производства или после капитального ремонта) в стационарных условиях. Для поверки ИП скорости ветра АМС на месте эксплуатации требуется малогабаритная труба, которая позволила бы осуществить поверку ИП по ограниченному числу точек диапазона измерения ввиду линейной зависимости $N_{\rm BMX} = f(V_{\rm AT})$ и которая могла бы быть введена в состав ППЛ.

Для этой цели в ГГО была разработана и аттестована малогабаритная АТ [20], которая позволяет задавать значения скорости воздушного потока в диапазоне 0,5—20 м/с. Для повышения эксплуатационной надежности, прочности и уменьшения общей массы ее разборные секции и лопасти выполнены из стеклопластика. Плавное регулирование скорости потока в трубе обеспечивается вариатором на теристорах. В качестве образцового СИ потока в рабочей части трубы используется микроманометр, подключаемый к коллекторным отверстиям в срезе сопла. В работе [3] предложен метод градуировки в такой трубе с использованием уравнения, связывающего скорость потока V со скоростью вращения ветроприемника N

$$V = \sqrt{AN^2 + B}. (3)$$

Здесь коэффициенты A и B, зависящие от параметров ветроприемника, могут быть определены по 3-4 сравнительным отсчетам скорости вращения ветроприемника и скорости потока в трубе. Применение этого метода позволяет избежать необходимости градуировки во всем рабочем диапазоне измерения скорости и применять при этом малогабаритные AT. Для получения в рабочей

асти трубы достаточно равномерного воздушного потока, обеспеивающего необходимую точность поверки ИП, применены выравивающие устройства. Специальный обтекатель, хонейкомб, спрямяющая решетка, установленные в форкамере, а также сопло поджатием потока устраняют закрутку потока, уменьшают его урбулентность и скос, тем самым увеличивая равномерность по-

ока по сечению в рабочей части АТ.

Центральное устройство АМС представляет собой сложный омплекс для получения, обработки и выдачи метеоинформации, оторый требует в процессе эксплуатации периодической проверки охранности своих характеристик. Комплексная поверка ЦУ обычно существлялась при подключенных к нему ИП на стационарном оверочном оборудовании. Однако такая методика поверки являтся очень трудоемкой и не всегда эффективной. Поэтому целеообразно применять раздельную поверку ИП и ЦУ АМС. В этом лучае, для поверки ЦУ можно использовать комплект стандартных приборов, вводимых в состав ППЛ, которые позволяют задаать на вход ЦУ электрические величины, соответствующие выодным параметрам ИП при наперед заданных или точно рассчианных значениях метеорологических элементов. Поверка ЦУ в этом случае заключается в сравнении полученных на его выкоде метеопараметров с величинами, задаваемыми на входе ЦУ помощью комплекта стандартных приборов.

С целью упрощения этой методики и повышения оперативности и точности поверки было разработано и исследовано специальное устройство — имитатор для поверки ЦУ [12, 13, 14]. Конструктивно имитатор выполнен в виде настольного прибора, на лицевой панели которого расположены органы управления и переключатели имитируемых сигналов. С помощью имитатора возможна поверка ЦУ по всем каналам измерения и в любой точке диапазона с наименьшей погрешностью имитации. Имитатор повволяет также осуществить поверку ИП скорости ветра АМС

автономно без ЦУ на месте эксплуатации.

Анализируя первый вариант структурного построения ППЛ с перечисленным выше набором контрольно-поверочной аппаратуры, можно сказать, что с его помощью возможна поэлементная поверка каналов измерения АМС на месте эксплуатации, т. е. по-

верка отдельно ИП и ЦУ.

Проанализируем далее методы поверки с применением контрольно-поверочного оборудования инспекторского типа (2-й вариант построения ППЛ). Во втором варианте ППЛ может быть укомплектована контрольно-поверочным оборудованием и образдовыми СИ, технические характеристики которых представлены в табл. 2. В этот комплект входят: имитатор для поверки метрологических характеристик ЦУ АМС; инспекторский манометр абсолютного давления ИМАД-4М для поверки канала измерения атмосферного давления в целом; комплект контрольных и поверочных приспособлений, предназначенный для контроля сохранности геометрических размеров ветроприемника [16]; устройство

Перечень основного поверочного оборудования и его метрологические характеристики для ППЛ (II вариант)

Поверочное оборудование	Диапазон измерения (задания)	Предел допускаемой погрешности
Инспекторский манометр абсолют- ного давления (ИМАД-4М)	6701100 r∏a	±0,15⋅10−2 Па
Имитатор выходных сигналов ИП	См. табл. 1	
Жидкостная термованна в комплекте с потенциометром Р-307	+18 + 25 °C	· ·
Устройство для поверки средств измерения температуры (УПСИТ)	80600 с (при -50+50°С)	
Термометр ртутный лабораторный (ТЛ-4)	−30+20 °C	±0,1 °C
Устройство для поверки средств измерения влажности (УПСИВ)	20 9 00 с (при 3 098 100 %)	
Гигрометр точки росы (ГТР М116М)	−40+40°C	±0,4°С по темпе ратуре точки рось
Комплект поверочных приспособлений для поверки ИП скорости ветра		
приводной механизм	5,5 м/с	±0,3 м/с
контршаблон		±51°10′±6′
лимб	0360°	Цена деления 1
стрелка		
грузики ,	6,3 r 16 r	±0,1 r ±0,2 r
индикатор часового типа ИЧ-10		Цена деления 0,01 мм

для проверки сохранности метрологических характеристик канала измерения влажности воздуха (УПСИВ); устройство для проверки сохранности метрологических характеристик канала измерения температуры воздуха (УПСИТ); малогабаритная жидкостная термованна в комплекте с образцовым термометром; раскручивающее устройство для проверки канала измерения скорости ветра при двух (или более) фиксированных скоростях; стандартные контрольно-измерительные приборы (потенциометр, образцовые катушки, нормальный элемент и т. п.). Во втором варианте структурного построения ППЛ входящее в ее состав контрольно-поверочное оборудование значительно меньше по массе и габаритам и позволяет осуществлять проверку сохранности метрологических характеристик по каналу измерения метеопараметра в целом, т. е.

исключается поэлементная поверка канала и не нарушается конструкция ИП АМС (не извлекаются чувствительные элементы из. ИП кроме ИП скорости ветра, где приходится снимать винт). Однако следует отметить, что при этом варианте ППЛ определение сохранности градуировочных характеристик каналов измерения АМС осуществляется в узком участке рабочего диапазона (при текущих значениях измеряемого метеопараметра). Процесс по-верки в этом случае может быть построен следующим образом. Определяют сохранность градуировочной характеристики канала измерения в целом путем сличения с образцовым СИ. В случае. выхода предела допускаемой погрешности за нормированный допуск производят отключение ИП АМС от ЦУ и с помощью имитатора осуществляют поверку ЦУ. Если погрешность измерения ЦУ находится в пределах нормированного допуска, выявляют причины неправильной работы ИП и при необходимости приборотправляют в ремонт с последующей полной поверкой его.

Рассмотрим физические принципы поверки АМС на местеэксплуатации при 2-м варианте построения ППЛ. В естественных условиях воздействующий на вход канала измерения (на ИП) метеопараметр не является стационарным, а имеет некоторыефлуктуации во времени, т. е. представляет собой случайный процесс. Следовательно, выходной сигнал с ИП и соответственноизмеренное его значение на выходе канала измерения (на выходе-ЦУ) является как функцией времени, так и функцией динамиче-

ских характеристик непосредственно самого ИП.

При определении сохранности градуировочной характеристики в условиях эксплуатации АМС, когда воздействие измеряемогометеопараметра на вход ИП и на образцовое СИ одинаково, но функции динамического преобразования образцового СИ и поверяемого канала различны, в результатах сличения появится динамическая составляющая погрешности $\Delta_{\text{дин}}$. Предел допускаемой погрешности измерения по каналу включает как статическую $\Delta_{\text{ст}}$, так и динамическую $\Delta_{\text{дин}}$ составляющие погрешности, т. е. при динамическом режиме поверки каналов АМС погрешность любого единичного отсчета может быть представлена выражением

$$\Delta_{\boldsymbol{t}} = \Delta_{\operatorname{ct}_{\boldsymbol{I}(K)}} + (\Delta_{\text{дин. of}} - \Delta_{\text{дин. K}}), \tag{4}$$

где $\Delta_{\text{ст}_{I(\kappa)}}$ — погрешность единичного отсчета по любому из каналов измерения AMC в статическом режиме поверки, $\Delta_{\text{дин 06}}$ — динамическая составляющая погрешности образцового СИ, $\Delta_{\text{дин. }\kappa}$ — динамическая составляющая погрешности поверяемого канала AMC.

Преобразуем выражение (4) к виду

$$\Delta_{\mathrm{cr}_{I(\mathbf{K})}} = \Delta_{i} - (\Delta_{\mathrm{дин. 06}} - \Delta_{\mathrm{дин. K}}). \tag{5}$$

Из (5) видно, что при сличениях в естественных условиях для исключения влияния на результат измерения составляющей $\Delta_{\text{див}}$

необходимо, чтобы выполнялось условие, при котором ($\Delta_{\text{дин. об}}$ — $\Delta_{\text{дин. к}}$) =0. Это становится возможным при условии идентичности, функций динамического преобразования поверяемого канала

л применяемого образцового СИ.

Техническая реализация этого положения может быть осуществлена коррекцией искусственным путем постоянной времени образцового $\hat{C}N$ (au_{00}) или постоянной времени поверяемого канала АМС (тк), если они известны. Так как одним из требований поверки в естественных условиях является требование ненарушения конструкции ИП, то необходимо осуществлять коррекцию тоб для образцового СИ. В работах [9, 10] приведены теоретические и экспериментальные исследования по обоснованию методов поверки в естественных условиях каналов измерения температуры и влажности АМС, при которых погрешность поверки может быть сведена к минимуму. В основу метода положен принкорректирования функции динамического преобразования образцового СИ. Разработаны два устройства на этом принципе [1, 2], с помощью которых осуществляется поверка каналов измерения температуры и влажности воздуха АМС на месте эксплуатации. Эти устройства включены в состав ППЛ второго варианта и проходят опробование в БП УГМС БССР. В ППЛ второго варианта предусмотрена также и поэлементная поверка ИП температуры воздуха по одной точке диапазона измерения в жидкостном термостате путем сличения с образцовым термометром. Погрешность поверки ИП в этом случае будет определяться погрешностью выбранной схемы измерения (δ_1) (классом точности измерительного моста), погрешностью из-за нестабильности температуры в рабочем объеме термостата (δ_2) и погрешностью применяемого «образцового СИ (δ_3) . Исследования, приведенные в работе [7], показали, что суммарная погрешность поверки в жидкостном термостате с применением потенциометра P-348 $\Sigma \delta_{\pi}$ составила ±0,011 °C, т. е. практически погрешность поверки не внесет существенных искажений в результаты сличений канала измерения температуры АМС на месте эксплуатации.

Проверка сохранности градуировочной характеристики канала измерения скорости ветра состоит в определении геометрических

и механических параметров ветроприемника АМС.

Выходным параметром ИП скорости ветра является число оборотов в единицу времени, преобразуемое в последовательность электрических импульсов. Число импульсов n в единицу времени на выходе ИП пропорционально измеряемой скорости воздушного потока V, т. е.

$$n = f(V). (6)$$

При установившемся движении для скорости вращения винта с учетом сил трения и индуктивного сопротивления выражение (6) можно представить в виде

$$U = V \operatorname{tg}(\alpha - \gamma), \tag{7}$$

де U — линейная скорость вращения винта; α — угол атаки логастей винта; γ — угол, зависящий от сил трения и индуктивного опротивления.

f B свою очередь зависимость U от n определяется уравнением

$$U = \frac{\pi r}{30} n, \tag{8}$$

де r — радиус винта. С учетом (8) выражение (7) примет вид

$$n = \frac{r_{30}}{\pi r} \operatorname{tg}(\alpha - \gamma) V. \tag{9}$$

Аз выражения (9) видно, что зависимость n = f(V) будет определяться геометрическими и механическими параметрами винта.

Для этой цели в состав ППЛ введен переносной стенд, содержащий контршаблон (для поверки угла установки лопастей), набор контрольных разновесов (для определения момента трения на оси винта при снятом ветроприемнике), а также индикатор исла оборотов (для проверки электрических цепей), который позволяет в условиях ППЛ определять правильность установки лопастей ИП, моменты трения на оси винта и флюгарки с целью определения начальной чувствительности, а также исправность электромеханических узлов ИП. Исследования, приведенные в работе [16], показали, что такая методика поверки канала измерения параметров ветра АМС на месте эксплуатации вполне приемлема и обеспечивает необходимую точность поверки.

Определение сохранности метрологических характеристик по каналу измерения атмосферного давления АМС осуществляется с помощью инспекторского варианта грузопоршневого маномегра ИМАД-4М. Исследования, приведенные в работе [21], показали, что средняя квадратическая погрешность измерения при сличении с эталоном не превышает 4 Па, что обеспечивает необходимую точность поверки ИП давления АМС. При поверке ИМАД-4М выносится из ППЛ и устанавливается рядом с ИП атмосферного давления АМС в помещении.

В случае когда необходимо осуществить поверку ИП давления по диапазону измерения (в 3—5 точках шкалы), в комплект ИМАД-4М вводится барокамера с системой откачивание — нагнетание воздуха.

На основании вышеизложенного можно сделать следующие выводы:

1. Анализ перечисленных выше вариантов построения ППЛ показал, что состав и функции последней могут меняться в зависимости от конкретных задач. Второй вариант построения ППЛ более предпочтительный, так как позволяет осуществить проверку сохранности метрологических характеристик каналов измерения АМС без демонтажа и разборки ИП.

2. Применение ППЛ является наиболее эффективным способом обеспечения единства и правильности измерений, регулярного

метрологического надзора за работающими АМС. Для сложных измерительных гидрометеорологических систем, которые экономи чески невыгодно демонтировать и подвергать транспортировке в поверочный орган, применение $\Pi\Pi J$ может оказаться единствен-

ным приемлемым вариантом.

3. Применение на сети станций Госкомгидромета ППЛ даст ощутимый экономический эффект при определении сохранности градуировочных характеристик каналов измерения АМС после ремонта и регулировки, а также в процессе эксплуатации АМС. когда требуется быстро устранить неисправность, выполнить мелкий ремонт и провести контрольную поверку каналов АМС.

СПИСОК ЛИТЕРАТУРЫ

1. А. с. № 530300 (СССР). Гигрометр точки росы для поверки средств изме-1. А. с. № 35050 (СССР). Тигриметр точки росы для поверки средств измерения влажности воздуха/Резников Г. П., Рогалев Ю. В. — Заявл. 08.04.75, (21) 2125 304/25; опубл. 30.09.76. — Бюл. открытий, изобретений, промышленных образцов и товарных знаков, 1976, вып. 36, с. 112.

2. А. с. № 596839 (СССР). Устройство для поверки средств измерения темпратуры воздуха/Резников Г. П., Рогалев Ю. В. — Заявл. 28.06.76, (21)

2376946/18—10: опубл. 05.03.78.— Бюл. открытий, изобретений, промышленных

образцов и товарных знаков, вып. 9, 1978, с. 168.

3. Алтай Н. П. K теории анемометрической вертушки. — Труды ГГО, 1966.

вып. 199. с. 203-205.

4. Бережной С. И. О подвижных поверочных лабораториях. — Измери-

тельная техника, 1960, № 4.

5. Беспалов Д. П., Русин Н. П. Оптимальные требования к точности и объему метеорологической информации для автоматических станций. — В кн.: Разработка и эксплуатация автоматических метеорологических станций. Л., 1974, с. 17—25.

6. Будзис В. А. Об оборудовании передвижных поверочных даборато-

рий. — Измерительная техника, 1960, № 4.

7. Леонова Л. И., Рогалев Ю. В., Фатеев Н. П. Методика контроля сохранности градуировочных характеристик измерительных преобразователей температуры автоматических метеостанций. — Труды ГГО, 1977, вып. 392, c. 83—89.

8. Резников Г. П. Анализ физических процессов и погрешностей гигро-

метрического комплекса, основанного на термодинамическом принципе.— Труды ГГО, 1973, вып. 300, с. 15—39. 9. Резников Г. П., Рогалев Ю. В. Исследования по обоснованию возможности поверки автоматических метеостанций в естественных условиях методом непосредственного сличения (по каналам влажности и температу-

ры). — Труды ГГО, 1977, вып. 392, с. 72—82.

10. Резников Г. П., Рогалев Ю. В. Адаптивная система поверки средств измерения метеоэлементов. — Труды ГГО, 1978, вып. 414, с. 95—105.

11. Резников Г. П., Фатеев Н. П. Термогигростаты для системы

обеспечения единства измерений влажности воздуха и температуры. — Труды ГГО, 1975, вып. 345, с. 67—76.

12. Рогалев Ю. В. Некоторые результаты поверки аналоговых каналов станции М-106М. — Труды ГГО, 1974, вып. 340, с. 130—137.

13. Рогалев Ю. В., Сущинский Б. Л., Кузьминых И. П. К методике поверки каналов параметров ветра станции М-106М с применением имитирующих устройств. — Труды ГГО, 1974, вып. 340, с. 118—129.

14. Рогалев Ю. В., Фатеев Н. П. Анализ погрешностей имитирующих устройств, применяемых при поверке автоматических метеостанций. — Труды

ГГО, 1977, вып. 392, с. 103—116.

15. Рождественский Б. Г., Мануйлов К. Н. Некоторые вопросы развития методов метеорологических наблюдений.— В кн.: Информационные материалы по гидрометеорологическим приборам и методам наблюдений. М., 1972, № 49, c. 3—12.

16. Сущинский Б. Л., Фатеев Н. П. Исследования по обоснованию методики контроля градуировочных характеристик измерительных преобразователей параметров ветра типа М-63М-1 в условиях эксплуатации. — Труды

ГГО, 1977, вып. 392, с. 58—71.

17. Фатеев Н. П. Проект подвижной контрольно-поверочной метеорологической лаборатории для обслуживания автоматизированной сети станций. —

Труды ГГО, 1970, вып. 260, с. 163—167.

18. Фатеев Н. П. Методические основы поверки метеорологической аппаратуры. — В кн.: Методические основы автоматизированной системы метеорологических наблюдений. Л., 1971, с. 45—68.

19. Фатеев Н. П. Поверочные схемы для метеорологических измерений.—

Труды ГГО, 1973, вып. 313, с. 145—155.

20. Фатеев Н. П., Панкратович Л. Л., Огородникова Ц. Ш. Исследование малогабаритной аэродинамической трубы для поверки анемометров.— Труды ГГО, 1970, вып. 260, с. 152—162.

21. Фатеев Н. П., Полухин Г. И., Цвелик А. В. Исследование и аттестация образцовых грузопоршневых манометров абсолютного давления.—

Труды ГГО, 1977, вып. 392, с. 23—28.

22. Фатеев Н. П., Резников Г. П., Рогалев Ю. В. Контрольный гигрометр для поверки влагомеров в широком диапазоне температуры и влажиости. — Труды ГГО, 1971, вып. 260, с. 146—151.

О ФОРМАХ ПРЕДСТАВЛЕНИЯ РЕЗУЛЬТАТОВ ИЗМЕРЕНИЙ

Метеорологические измерения отличаются большим разнооб разнем и специфичностью. Получаемая с их помощью информа ция используется в важнейших отраслях народного хозяйства и научных исследованиях.

Качество этой информации в значительной степени определя

ется формой выражения и точностью результатов измерений.
Формы представления результата измерения выбираются в

Формы представления результата измерения выбираются в со ответствии с целью и задачами измерений, а также согласно ГОСТу [3]. Однако конкретизация форм во многих случаях ока зывается весьма сложной и даже проблематичной. На сегодняшний день нередко правильность выражения результата определя ется исключительно метрологической компетентностью экспери ментатора. Руководящие методические материалы по этому во просу в области метеорологических измерений отсутствуют.

Сложившееся положение обусловлено целым рядом причин

Отметим главные из них:

1. Недостаточная разработанность общей теории измерений в частности, отсутствие единой классификации измерений, охватывающей все их многообразие с учетом назначения, условий выполнения, последующей обработки данных наблюдений и т. д Существующая ныне классификация, отраженная в публикациях [1, 2, 5—7, 9—11, 13, 15], не обладает требуемой полнотой и не позволяет четко указать форму представления результата измерения каждой выделенной разновидности.

2. Несовершенство применяемых форм выражения результата измерения, в том числе и регламентированных нормативно-техническими документами [3, 4], и неноменклатурных, но реализуемых на практике [1, 5, 6, 9, 11, 16]. Неопределенность границ многих из установленных форм, их иерархическая несогласованность и неадэкватность содержания одноименных элементов у некоторых из них.

3. Отсутствие методических указаний, рекомендаций и других подобных материалов, поясняющих правила применения форм

выражения результата измерения. В настоящее время нет такжеотраслевой и нормативно-технической документации, раскрывающей специфику оформления результатов метеорологических измерений в такой степени, чтобы она соответствовала требованиям. ГСИ [3, 4] и могла служить практическим руководством при ре-

шении вышеупомянутой задачи.

4. Слабое освещение в трудах по метрологии вопросов обработки и представления результатов измерений и почти полное отсутствие специальных работ, посвященных этим вопросам [14]. Даже в учебниках и учебных пособиях по метрологии не содержится ни сравнительного анализа, ни просто обзора способов выражения результата измерения. Следует добавить, что в них часто не приводится и аргументация выбора той формы представления результата, которая избирается автором в определенной сигуации и предлагается читателю как рекомендуемая.

Все отмеченные обстоятельства свидетельствуют о назревшей необходимости создания отраслевого нормативного документа или руководства по оформлению результатов метеорологических измерений. Не ставя целью рассмотрение подобной задачи в рамках настоящей статьи, ограничимся здесь изложением основных рекомендаций по применению форм представления результатов, установленных стандартами ГСИ. Таких форм шесть (четыре вве-

дены ГОСТ 8.011—72 и две — ГОСТ 8.207—76).

Как известно, совокупность элементов любой полной формы представления результата измерения включает значение величины, найденное путем ее измерения, и количественные показатели точности измерения. Существующее многообразие форм представления результата определяется прежде всего обилием способов выражения точности, шесть из которых приведены в упомянутых ГОСТах. Однако и результат измерения, будучи эмпирической оценкой познаваемой величины, реализуется в разных вариантах, что также увеличивает многообразие названных форм.

Приводим общий перечень элементов, используемых в регла-ментированных формах представления результата, с сохранением принятых в ГОСТах обозначений и наименований парамет-

ров [2, 10]:

A — результат измерения;

 $ilde{A}$ — результат измерения (среднее арифметическое исправленных результатов наблюдений);

n — число результатов наблюдений;

 Δ , Δ_{H} , Δ_{B} — суммарная погрешность измерения, ее верхний и нижний пределы;

 $\pm\Delta$ — симметричная доверительная погрешность (доверительные границы погрешности) результата измерения;

P — установленная (доверительная) вероятность, с которой погрешность измерения находится в указанных границах;

 $\Delta_{c},~\Delta_{c.\,H},~\Delta_{c.\,B}$ — систематическая составляющая погрешностизмерения, ее нижний и верхний пределы;

 ⊕ — доверительные границы неисключенной систематической погрешности (неисключенных остатков систематической погрешности) результата измерения;

 $P_{\rm c}$ — заданная (доверительная) вероятность, с которой систе матическая составляющая погрешности измерения находится

в указанных границах;

- $\sigma(\Delta_c)$ оценка среднего квадратического отклонения система тической составляющей погрешности измерения;
- $f_{\Delta_{c}}^{cr}(\xi)$ стандартная аппроксимация функции распределения систематической составляющей погрешности измерения;

 $f_{\Delta_{\mathbf{c}}}(\xi)$ — функция распределения (плотность вероятности) си

стематической составляющей погрешности измерения;

- $\mathcal{S}(A)$ оценка среднего квадратического отклонения результата измерения;
- $\sigma(\mathring{\Delta})$ оценка среднего квадратического отклонения случайногоставляющей погрешности измерения;
- f_{Δ}^{cr} (ξ) стандартная аппроксимация функции распределения случайной составляющей погрешности измерения;

 f_{Δ}° (ξ) — функция распределения (плотность вероятности) слу

чайной составляющей погрешности измерения.

Не все приведенные в перечне элементы имеют достаточную смысловую обособленность, оправдывающую их применение. На вример, результат измерения \tilde{A} является лишь одним из вариан тов результата A, по существу не нуждающемся в выделении. Па раметры $\pm \Delta$ и Θ также представляются частными по отношению

к параметрам Δ и Δ_c , а числовые характеристики S(A) и $\sigma(\mathring{\Delta})$ нообще идентичны по содержанию, и их параллельное использование объясняется только терминологической несогласованностью нормативно-технических документов, т. е. без ущерба для практических целей число элементов форм выражения результата измерения могло бы быть уменьшено до 12.

Обратимся, наконец, к самим формам, которые для удобства проведения их сравнительного анализа укажем в следующем по

рядке:

Форма I:

$$A, f_{\Delta_{\mathcal{C}}}(\xi); f_{\mathring{\Delta}}(\xi).$$

Форма II:

$$A, \overset{\sim}{\sigma}(\Delta_{c}); f_{\Delta_{c}}^{cr}(\xi); \overset{\sim}{\sigma}(\overset{\circ}{\Delta}); f_{\overset{\circ}{\Delta}}^{cr}(\xi).$$

Форма III:

$$A$$
, $\Delta_{\rm c}$ ot $\Delta_{\rm c.\, H}$ do $\Delta_{\rm c.\, B}$; $P_{\rm c}$; $\widetilde{\sigma}(\mathring{\Delta})$; $f_{\mathring{\Delta}}^{\rm ct}(\xi)$.

Форма IVa (первый вариант формы IV):

$$\tilde{A}$$
; $S(\tilde{A})$; n ; Θ .

Форма IVб (второй вариант формы IV):

 \tilde{A} , $S(\tilde{A})$; n; Θ ; P_c .

Форма V:

A: Δ от Δ_{u} до Δ_{g} : P.

Форма VI:

 $\hat{A} = \Delta$: P.

Неоспоримым преимуществом перед другими формами обладает орма І, содержащая наиболее полную и верную характеристику огрешности измерения. Функции распределения $f_{\Delta_{\mathbf{c}}}(\xi)$ и $f_{\Delta_{\mathbf{c}}}(\xi)$ вляются самыми информативно-емкими показателями точности змерения, конкретно представляющими законы распределения истематической и случайной составляющих погрешности. Это поволяет точно определять и интервал, в котором с установленной ероятностью находится истинное значение величины, и вероятость пребывания этого значения в заданном интервале.

Однако получение совершенных оценок точности и достовергости измерений оправдано лишь в ограниченном числе случаев, ак как реализация формы I требует предварительного проведеия сложных экспериментов с последующей трудоемкой обработкой их результатов. Практически обращение к форме I целесопри метрологических измерениях, например только экспериментах с использованием рабочих эталонов или при иследованиях точностных характеристик образцовых метеорологиеских приборов высших разрядов.

Следует отметить, что специфика метеорологических измерений требует учета индивидуальных свойств средств измерений и подробных сведений о влияющих величинах. Без такой дополниельной исходной информации точно оценить погрешности невозможно. Эта информация существенно полезна при анализе воспроизводимости измерений, их стабильности и т. д., поэтому имеет

смысл давать ее в виде приложения к форме I.

Завершая общее рассмотрение формы І, добавим, что сущетвенным обстоятельством, затрудняющим употребление данной рормы, оказывается сложность математического описания ее показателей точности. Функции $f_{\Delta_{\mathbf{c}}}(\xi)$ и $f_{\Delta}^{\bullet}(\xi)$ представляют собой бобщенные параметры, отражающие совместные проявления систематических и случайных погрешностей. При наличии в любой овокупности погрешностей свыше двух компонентов с разными законами распределения ее выражение формулой становится не голько трудной, но и нередко практически не разрешимой задачей. Другие же способы выражения функций $f_{\Delta_c}(\xi)$ и $f_{\Delta_c}(\xi)$ (графики, габлицы) гораздо менее точны [12, 16] и имеют погрешности и недостатки субъективного характера. Конкретное выражение показателей точности формы I зависит в известной степени и от характера вводимых в результат A поправок [1].

3 693

В отличие от предыдущей форма II содержит лишь прибли женную оценку погрешности измерения, которая может быть вы ражена набором из четырех элементов — показателей точности Однако во многих случаях оценка погрешности, осуществляемах с помощью стандартных аппроксимаций функций распределени систематической и случайной составляющих погрешностей и и средних квадратических отклонений, оказывается весьма совер шенной. Это объясняется прежде всего определенной свободой которую обеспечивает ГОСТ 8.011—72 при выборе стандартны аппроксимаций функций $\int_{-\infty}^{c_{\rm T}} (\xi)$ и $\int_{-\infty}^{c_{\rm T}} (\xi)$. В его приложении помещена таблица семи стандартных аппроксимаций функций рас пределения, рекомендованных к использованию в формах представления результата измерения. Совокупность последних позволяет в достаточной мере удовлетворить потребности практики измерений.

Применение стандартных аппроксимаций функций упрощае выражение показателей точности измерения, что делает форму I более удобной в употреблении, чем форма I. Возможная слож ность проверки гипотез о подчиненности систематических и слу чайных погрешностей измерения заданным стандартным законам распределения принимается во внимание сравнительно редко, так как в большинстве случаев (при реализации нормальной или рав номерной функции распределения) она остается несущественной

Отмеченные достоинства формы II—приемлемость оценки по грешности и относительная простота представления показателей точности— определяют широкий диапазон ее использования, охватывающий разные по назначению и классу измерения. В целом эти измерения можно охарактеризовать как измерения с прибли женным оцениванием погрешности, при этом учитываются нормативные данные о свойствах средств измерений и дается общая оценка условий измерений.

Форма III отличается от формы II способом выражения оценки систематической составляющей погрешности измерения. В форме II, использующей для оценки погрешности параметры $\sigma(\Delta_c)$ и $f_{\mathbf{c}}^{\mathrm{cr}}(\xi)$, раскрыт закон распределения погрешности во всем диа пазоне измерений, что позволяет приближенно определять веро ятностную характеристику погрешности для любого установленного значения. Форма III в информативном отношении намного беднее, в ней выделен лишь интервал, в котором с заданной веро ятностью P_c находится систематическая составляющая погрешности Δ_c , а в качестве числовых характеристик последней указань ее границы $\Delta_{c, H}$ и $\Delta_{c, B}$. При этом обычно предполагается, что компоненты систематической составляющей Δ_c подчиняются равно мерному закону распределения.

Отметим, что в общем случае $|\Delta_{c. \, h}| \neq |\Delta_{c. \, h}|$ и при таком условии сделанное предположение о равномерном распределении ставит под сомнение корректность оценки, выражаемой данным способом. Однако при наличии среди компонентов составляющей Δ_c

ущественной систематической погрешности, изменяющейся по ложному закону, не выявленному при обработке результатов наблюдений, в большей степени оправданным оказывается примене-

ние упрощенного способа представления оценки.

Область реализации формы III, также как и формы II, распротраняется на измерения с приближенным оцениванием погрешноти, но со сдвигом в сторону оценок менее точных. Форму III целесообразно употребить, например, когда по условиям использования результатов метеорологических измерений можно улучшить их сходимость путем усреднения результатов измерений.

От ранее рассмотренных форм общего назначения отличается эпределенной спецификой форма IV (в обоих своих вариантах IVа и IVб) — форма локального использования. Выражая результат прямого измерения многократными наблюдениями при отсутствии данных о виде функций распределений составляющих его погрешности, эта форма обладает простотой представления показателей точности и вместе с тем достаточной информативностью, чтобы быть реализуемой при необходимости дальнейшей обработки результатов или анализа погрешностей.

Особенностью формы IV является наличие в наборе ее элементов параметра n, указывающего число результатов наблюдений, усреднение которых определило результат измерения. Названный параметр совместно с числовыми характеристиками $S(\tilde{A})$ и n, Θ и P_c при равномерном законе распределения составляющих неисключенной систематической погрешности результата делает возможным применение формы IV при оценке результатов как нерав-

ноточных, так и косвенных измерений.

Форму IV можно использовать при разнообразных техниче-

ских, а также контрольно-поверочных измерениях.

Уступая всем предыдущим формам представления результата в глубине раскрытия содержания погрешности измерения, формы V и VI обладают по сравнению с ними двумя бесспорными преимуществами. Одно из них состоит в том, что обе эти формы располагают непосредственно обобщенным показателем точности измерения, другое — в простоте выражения такого показателя. Последний представляется в форме V как интервал, в котором суммарная погрешность измерения находится с заданной вероятностью, и в форме VI — как симметричная доверительная погрешность результата измерения.

Нетрудно заметить, что второй вариант представления является частным по отношению к первому. Аналогичное соотношение, как упоминалось ранее, имеет место и между элементами форм V и VI в целом, следовательно, между самими формами. Поэтому

форма VI отдельно не рассматривается.

Названные достоинства форм V и VI обусловливают широкое их использование при измерениях с предварительным оцениванием погрешностей, когда регламентированы типы применяемых средств измерений и условия измерения, а погрешности оценены заранее. Подобная ситуация характерна для однократных техни-

ческих измерений. К формам V и VI прибегают, например, при оценке точности различных метеорологических приборов в данных

условиях эксплуатации.

Однако к формам V и VI обращаются и при выражении ре зультатов измерений с многократными наблюдениями. В таки случаях погрешность измерения (ее границы) находят путем по строения композиции распределений случайных и систематиче ских погрешностей. При этом конечная информация, отраженная в погрешности Δ , оказывается обедненной, а промежуточная, зiредким исключением, утрачивается. Указанная практика получи ла, к сожалению, широкое распространение. Вместе с тем искус ственное свертывание более сложных форм представления ре зультата в формы V или VI не позволяет полноценно использовать результаты измерения в дальнейшем.

СПИСОК ЛИТЕРАТУРЫ

1. Бурдун Г. Д., Марков Б. Н. Основы метрологии. — М.: Изд-во стан дартов, 1975.

2. ГОСТ 16263—70. Метрология. Термины и определения.— М.: Изд-вс

стандартов, 1972.

2. ГОСТ 8.011—72. Показатели точности измерений и формы представ

ления результатов измерений. — М.: Изд-во стандартов, 1972.

4. ГОСТ 8.207—76. Прямые измерения с многократными наблюдениями Методы обработки результатов наблюдений. Основные положения. — М.: Изд-во стандартов, 1976.

5. Долинский Е. Ф. Обработка результатов измерения. — М.: Изд-вс

стандартов, 1973.

6. Зайдель А. Н. Ошибки измерений физических величин. — Л.: Наука. 1974.

7. Маликов М. Ф. Основы метрологии.— М.: Коммерприбор, 1949. 8. Методы обработки результатов наблюдений при измерениях.— Труды

метрологических институтов СССР, 1972, вып. 134 (194), с. 117.

9. Миф Н. П. Модели и оценка погрешности технических измерений. -М.: Изд-во стандартов, 1976.

10. Общие вопросы метрологии. — Труды метрологических

СССР, 1972, вып. 130(190). 11. Рабинович С. Г. Погрешности измерений.— Л.: Энергия, 1978. 12. Тиходеев П. М. Очерки об исходных измерениях.— М.; Л.: Машгиз, 1954.

13. Тюрин Н. И. Введение в метрологию. — М.: Изд-во стандартов, 1973. 14. Цейтлин В. Г. О рациональном выборе показателей точности.— Измерительная техника, 1973, № 4.

15. Широков К. П. Общие вопросы метрологии. — М.: Машиностроение,

16. Щиголев Б. М. Математическая обработка наблюдений. — М.: Наука, 1969.

ЭФФЕКТИВНОСТЬ УЧЕТА ЗАКОНОВ РАСПРЕДЕЛЕНИЯ ПОГРЕШНОСТЕЙ

При оценке точности измерений часто необоснованно исходят из предположения, что погрешности измерения распределяются по нормальному закону и тем самым игнорируется основное положение информационной теории средств измерений (СИ) о том, что дезинформационное действие погрешности определяется не только ее мощностью (средним квадратическим значением), но и существенно зависит от вида закона распределения [3—8]. Пренебрежение влиянием вида закона распределения погрешности СИ является нарушением стандартов [1, 2] и часто ведет к значительным потерям измерительной информации, что снижает как качество научных исследований, так и эффективность сетевых измерений. Поэтому в каждом конкретном случае необходимо оцени-

вать количество информации, теряемое от замены реальных законов распределения погрешностей СИ различного класса.

В соответствии с [5] количество информации *q*, получаемое в результате измерения, можно определить из выражения

 $q = H(X) - H(X/X_{\pi}),$ (1) где H(X) — исходная энтропия, которая характеризует неопределенность измеряемой величины перед измерением, $H(X/X_{\pi})$ — условная энтропия, характеризующая неопределенность, которая остается после получения показания X_{π} .

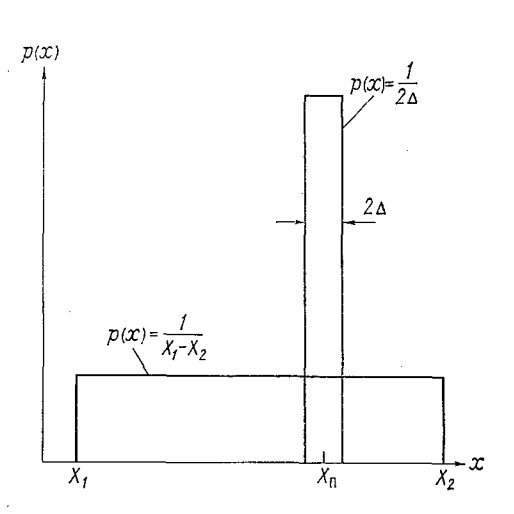


Рис. 1. Законы распределения плотности вероятности.

На рис. 1 показаны законы распределения плотности вероят

ности до и после проведения измерений.

Значения X_1 и \hat{X}_2 — верхний и нижний пределы диапазона измерений. В связи с тем, что до измерений ничего неизвестного об интересующей нас величине, то появление любого ее значения в пределах X_1 и X_2 равновероятно, т. е. $p(x) = \frac{1}{x_2 - x_1}$

После выполнения измерений имеем показание X_{π} с погреш ностью, распределенной вблизи этого значения по некоему определенному закону p(x), характерному для данного типа СИ.

По определению, принятому в теории информаций,

$$H(X) = -\int_{-\infty}^{+\infty} p(x) \ln p(x) dx,$$

отсюда исходная энтропия в выражении (1) равна

$$H(X) = -\int_{X_1}^{X_2} \frac{1}{X_2 - X_1} \ln \frac{1}{X_2 - X_1} dx = \ln(X_2 - X_1).$$

Остаточная энтропия $H(X/X_{\pi})$ зависит от вида закона распределения погрешностей. Так, если погрешности измерения СИ распределены по равномерному закону (см. рис. 1), энтропия равна

$$H_{p}(X/X_{n}) = -\int_{X_{n}-\Delta}^{X_{n}+\Delta} \frac{1}{2\Delta} \ln \frac{1}{2\Delta} dx = \ln 2\Delta.$$

В этом случае количество полученной при измерении информации можно записать как

$$q = \ln(X_2 - X_1) - \ln 2\Delta = -\ln \frac{2\Delta}{X_2 - X_1}.$$
 (2)

Если погрешность СИ распределена по нормальному закону, то

$$H_{\rm H}(X/X_{\rm H}) = \ln(\sqrt{2\pi e}\,\sigma)$$

и соответственно

$$q = -\ln \frac{\sqrt{2\pi}e^{-\sigma}}{X_2 - X_1}.$$

Из информационной теории СИ известно, что при определенном среднем квадратическом значении (при определенной мощности) помехи наибольшим дезинформационным действием (наибольшей энтропией) обладает помеха с нормальным законом распределения. Это означает, что при прочих равных условиях СИ с нормальным распределением вероятностей погрешности дает меньше информации, чем СИ с любым другим видом распределения, т. е. $\Delta q = q - q_{\rm R} > 0$.

Выражая это через энтропии формулы (1) при одинаковых исодных условиях, т. е. при $H(X) = H_{\rm H}(X)$, имеем

$$\Delta q = H_{\rm H}(X/X_{\rm n}) - H(X/X_{\rm n}). \tag{3}$$

Если обе условные энтропии выразить через так называемое энтропийное значение погрешности Δ'

$$H(X/X_{\pi}) = \ln 2 \,\Delta',$$

$$H_{H}(X/X_{\pi}) = \ln 2 \,\Delta'_{H}$$

и подставить в (3), то получим

$$\Delta q = \ln 2 \,\Delta'_{\text{H}} - \ln 2 \,\Delta' = \ln \frac{\Delta'_{\text{H}}}{\Delta'}. \tag{4}$$

Величины Δ' и $\Delta'_{\rm H}$ связаны со средним квадратическим значением погрешности σ через энтропийный коэффициент K, зависящий от вида закона распределения вероятности погрешности ($\Delta' = K\sigma$, $\Delta'_{\rm H} = K_{\rm H}\sigma$). Подставляя эти выражения в (4), получим

$$\Delta q = \ln K_{\rm H}/K. \tag{5}$$

Это выражение позволяет рассчитать количество теряемой информации при ошибочной подмене полученных реальных законов распределения погрешностей СИ нормальным распределением. Для нормального закона распределения погрешности значение $K_{\rm H}$ найдено в [3, 4] и составляет

$$K_{\rm H} = \sqrt{\frac{\pi e}{2}} \approx 2,066.$$

Для равномерного закона распределения энтропийный коэффициент равен $K_p = \sqrt{3} \approx 1,73$. В случае треугольного закона распределения (распределение Симпсона) $K_c = 2,00$. Подставляя в формулу (5) приведенные значения, находим, что при подмене равномерного распределения нормальным потери информации Δq составляют примерно 0,177 бит, а при такой же подмене распределения Симпсона потери равны 0,003 бит. Значения K при различных видах законов распределения погрешности могут быть равны 0,5 и менее. Для детального исследования Δq при эволюциях законов рапределения разумно использовать результаты, полученные Π . В. Новицким [5]. Закон распределения плотности вероятности автор описал выражением

$$p(x) = Ae^{-|x|^a}.$$

При этом вид одномодального плавного симметричного закона распределения меняется от нормального до распределения с весьма большим значением положительного эксцесса при изменении величины V^{σ^4/μ_4} от 0,577 до нуля (μ_4 — четвертый центральный момент распределения). Этот же прием применим и в исследо-

ваниях плавных симметричных уплощенных и двухмодальных зако нов распределения. Последовательно изменяя σ^4/μ_4 , П. В. Новицкий [5] получил ряд энтропийных коэффициентов K, соот ветствующих различным видам распределения. Используя эти K можно рассчитать по формуле (5) значения Δq . Потери информации при замене различных законов на нормальный приведент в табл. 1.

Tаблица Потери информации $\Delta \, q$ при замене различных законов распределения на нормальный

$\sqrt{\frac{\overline{\sigma^4}}{\mu_4}}$	K	Δ q/бит	$V^{\frac{\sigma^4}{\mu_4}}$	K	∆ <i>q</i> /бит
0,	дномодальные		Двухмода	пльные и упл	ощенные
0,010	0,157	2,58	0,58	2,066	0,00
0,100	0,870	0,86	0,60	2,063	0,01
0,200	1,355	0,42	0,70	1,943	0,06
0,300	1,677	0,21	0,80	1,572	0,27
0,400	1,907	80,0	0,90	1,016	0,71
0,500	2,032	0,02	0,97	0,520	1,38
0,575	2,066	0,00	0,99	0,294	1,94

Для сравнительной оценки результатов определим количество информации, получаемое при использовании СИ различного клас са. Если в выражении (2) диапазон измерения принять $X_2 - X_1 = 100$, то можно рассчитать количество информации в зависимо сти от значений основной погрешности СИ Δ (табл. 2).

Таблица 2

	чество Различі									
Δ СИ	 0,01	0,02	0,05	0,1	0,2	0,5	1,0	2,0	5,0	10
q бит	 8,52	7,82	6,91	6,2	5,5	4,6	3,9	3,2	2,3	1,6

Из сопоставления количества поступающей и теряемой информации (q и $\Delta q)$ (см. табл. 1 и 2) следует, что потери информации от подмены реального закона распределения вероятностей погрешности СИ на нормальное распределение возрастают с увеличением класса СИ.

Если воспользоваться средним значением энтропийного коэффициента K=1,74 при $\sqrt{|\sigma^4/\mu_4|}=0,55$ и соответствующим ему $\Delta q=0,1717$, то количество информации, теряемое от замены, для СИ класса 0,01 составляет всего 2 %, а для СИ класса 10 оно достигает 10 %.

В особо неблагоприятных случаях, например при замене двухмодального закона $\sqrt{\sigma^4/\mu_4} = 0.97$, для которого K = 0.52, нормальным, потери достигают соответственно 18 и 86 %.

В заключение сделаем следующие выводы:

1. Замена реального закона распределения вероятностей погрешностей СИ на нормальный приводит к потере измерительной.

информации и иногла очень существенной.

2. Учет реальных законов распределения погрешностей СИ повволит повысить их информационную отдачу, что особенно важнодля измерений с использованием СИ относительно низкой точности.

СПИСОК ЛИТЕРАТУРЫ

1. ГОСТ 8.011—72. Показатели точности измерений и формы представления результатов измерений. — М.: Изд-во стандартов, 1972. 2. ГОСТ 8.009—72, ГСИ. Нормируемые метрологические характери-

стики. — М.: Изд-во стандартов, 1976.

3. Қавалеров Г. И., Мандельштам С. М. Введение в информацион-

ную теорию измерений. — М.: Энергия, 1974, с. 13—44. 4. Лившиц Н. А., Пугачев В. Н. Вероятностный анализ систем авто-

матического управления. — М.: Советское радио, 1963.

5. Новицкий П. В. Основы информационной теории измерительных уст-

ройств. — Л.: Энергия, 1968. — 164 с.

6. Новицкий П. В. Действительные и мнимые проблемы развития информационной теории средств измерений. — Измерительная техника, 1978. № 8. c. 37-40.

7. Орнатский П. П. Теоретические основы информационно-измеритель-

ной техники. — Киев: Высшая школа, 1976, с. 3-27.

8. Электрические измерения неэлектрических П. В. Новицкого. — Л.: Энергия, 1975, ч. I, с. 3—42. величин/Под

К МЕТРОЛОГИЧЕСКОЙ АТТЕСТАЦИИ ЭТАЛОННОГО ПИРГЕЛИОМЕТРА ГОСКОМГИДРОМЕТА

В соответствии с Межведомственным единым планом метроло тического обеспечения средств измерения гидрометеорологическо го назначения в отделе метрологии ГГО была проведена работ по подготовке к аттестации в качестве рабочего эталона компенса ционного пиргелиометра № 212. Пиргелиометр № 212 является в системе Госкомгидромета верхним звеном локальной поверочной схемы передачи единицы измерения энергетической освещен ности солнечной радиацией. Аттестацию проводит Всесоюзный на учно-исследовательский институт оптико-физических измерений (ВНИИОФИ), являющийся хранителем государственного специ ального эталона энергетической освещенности (ГСЭ ЭО) [1].

Компенсационный пиргелиометр Ангстрема [2] № 212, хра нящийся в ГГО, используется в качестве эталонного прибора с 1928 г. Схематический чертеж трубки пиргелиометра и основ

ные геометрические параметры представлены на рис. 1.

Пиргелиометр № 212 применяется в комплекте с амперметром типа М1104, класса 0,2 и нулевым гальванометром типа М196/2 Питание пиргелиометра осуществляется от источника постоянного тока с напряжением 1,3 В. Для регулирования компенсационного тока служит панель с реостатами. Измерение тока может также производиться посредством потенциометра ПП-63 или вольтметра Щ1513 с образцовой катушкой сопротивления. Погрешность изме

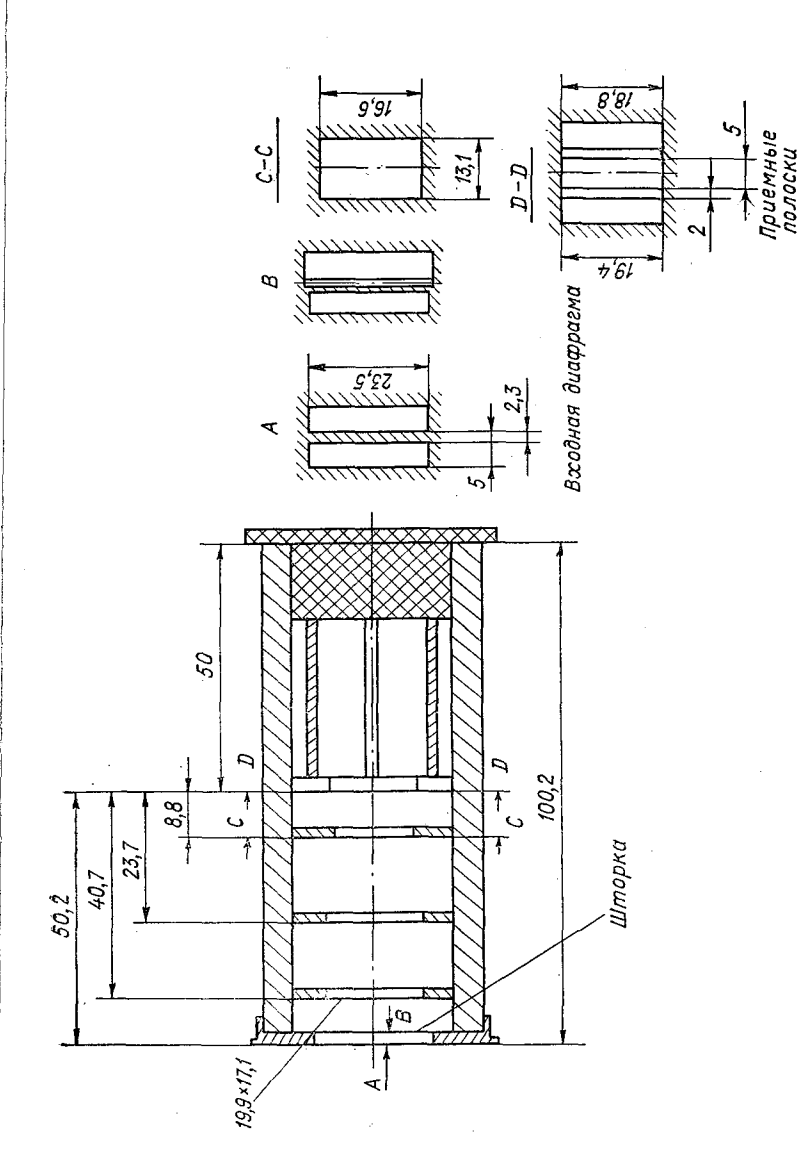


Рис. 1. Схема трубки пиргелиометра № 212.

рения энергетической освещенности определяется погрешностям обусловленными всем измерительным комплектом, а также усл виями, при которых производится измерение. При сличении пи гелиометров измерения производятся сериями по десять синхро ных отсчетов, поочередно при облучении каждой из двух прием ных полосок.

Метрологические характеристики пиргелиометра № 212 пр ведены в табл. 1.

Пиргелиометр № 212 градуирован в единицах Международной пиргелиометрической шкалы 1956 г. (МПШ-56). Он представлялся на международные сравнения пиргелиометров (МСП в 1964, 1970 и 1975 гг. и на региональные сравнения пиргелиометров (РСП) в 1964 и 1969 гг. Сведения о результатах международных и региональных сличений пиргелиометра № 212 приведены в табл. 2.

Показания пиргелиометра № 212 стабильны. Переводный мно житель его 14,83 кал/(см 2 ·мин· A^2) (10350 Вт/(м 2 · A^2)), полученый на международных сравнениях в 1964 г., применяется до на стоящего времени.

По данным международных сравнений [3, 4] проводившихс в 1970 и 1975 гг. (см. табл. 2), на которых компенсационный то всех пиргелиометров измерялся одним и тем же вольтметром, средние квадратические отклонения (СКО) ряда переводных множите лей пиргелиометра № 212 составили 0,13 %. Средние значени переводного множителя определены при СКО, не превышающег 0,03 %.

Отсюда можно сделать вывод, что при измерениях энергети ческой освещенности радиацией Солнца пиргелиометром № 21 СКО воспроизведения шкалы МПШ-56 при одной серии измере ний не превосходит 0,2 и предел допускаемой погрешности можно принять равным 0,6 %.

В 1970 г. на МСП-III пиргелиометр № 212, ввиду устойчивості его показаний, был включен в состав группового эталона, приме ненного при сличениях. Он утвержден также региональным этало ном в Региональной Ассоциации для Европы (PA-VI) и исполь зовался в качестве эталона при сличении национальных эталоног гидрометеорологических и метеорологических служб социалисти ческих стран в 1967, 1971 и 1977 гг.

С эталонным пиргелиометром № 212 ежегодно сличаются об разцовые компенсационные пиргелиометры 1-го разряда № 196 250 и 541, которые используются для передачи единицы энергетической освещенности образцовым приборам, применяемым на актинометрических станциях, а также при исследовании вновь разрабатываемых образцовых приборов.

Погрешность воспроизведения единицы измерения образцовыми пиргелиометрами 1-го разряда можно характеризовать также СКО, приведенным для пиргелиометра № 212, т. е. 0,2 %, так как приборы эти той же конструкции, что и эталон.

Ne 212
ах и региональных сличениях пиргелиометра
сличениях
региональных
о международных и
Сведения (

Год Сличение 1964 MCII-II (РА-VI) 1969 РСII-II (РА-VI) 1970 МСII-III		. Место сличения						
		_	№ эталона	переводный множитель № 212	переводиого серии сли- множителя, чения %	ерии сли-	отдельной серии, %	среднего, %
		Давос	A210	10350 Br/(m²·A²)	8'0—	30	0,29	0,05
	(1	Карпантра	A525	10341	-0,1	50	0,31	0,05
		Давос — Локарно	Групповой эталон A21, 140, 212, 525, 2273, 542, 576	10327	-0,22	27	0,13	0,025
1975 МСП-IV и РС (PA-VI)	PCII-111	Давос	Групповой эталон МПШ ПАКРАД-3	10311 10538	-0,16	42	0,13	0,02

Погрешности передачи единицы измерения энергетической освещенност от пиргелиометра № 212 к образцовым пиргелиометрам 1-го разряда (по одной серии измерений)

Предел допускае- мой погрешности,
0,6
0,6
0,2
,
0,2

Суммирование погрешностей, приведенных в табл. 3, дает пре дел допускаемой погрешности при передаче единицы измерени от пиргелиометра № 212 образцовым пиргелиометрам 1-го раз ряда.

Суммируя перечисленные погрешности, получим

$$\sqrt{0.6^2+0.6^2+0.2^2+0.2^2+0.1^2}=0.9$$
.

Таким образом, при передаче единицы измерения от пиргелиометра № 212 к образцовым пиргелиометрам 1-го разряда преде.

Таблица

СКО (%) значений переводных множителей, полученных при сличени с эталоном № 212 образцовых пиргелиометров 1-го разряда

			№ пирг	елиометра		
дол		196		250		541
	ско	Число серий	СКО	Число серий	ско	Число сери
1970	0,33	17	0,28	10	0,40	7
1971	0,24	9	0,21	4	0,28	23
1972	0,11	6	0,47	6	-	-
1973	0,26	8	0,15	5	0,34	6
1974	0,36	5	0,19	5	0,19	7
1975	0,24	9	0,31	16	0,11	14
1976	0,24	14	0,18	10	0,13	9
1977	0,19	5	0,10	. 4	. —	-
1978	0,25	18	0,21	14	0,24	11

опускаемой погрешности следует считать равным 0,9 %, а СКО начения, полученного по одной серии измерений, — 0,3 %. Привеенные в табл. 4 данные подтверждают, что, как правило, СКО не-

ревышает 0,3 %.

В настоящее время нет конкретного абсолютного прибора, восроизводящего МПШ-56 с надлежащей точностью. Кроме того, тоит вопрос об уточнении абсолютного уровня МПШ-56. В связи этим на международных сравнениях пиргелиометров в 1970-1975 гг. были представлены также абсолютные приборы отличые по конструкции от пиргелиометра Ангстрема [3, 4]. Показаия новых абсолютных приборов в среднем на 2,2 % выше показаий приборов, представлявших МПШ-56 на международных сравениях в 1970 г.

Для увязки показаний пиргелиометра № 212 с показаниями осударственного специального эталона для средств измерения нергетической освещенности проводится работа по сличению пирелиометра № 212 с ГСЭ ЭО.

ГСЭ ЭО [1] представляет собой высокотемпературную модель бсолютно черного тела. Эталон воспроизводит энергетическую свещенность непрерывного оптического излучения сплошного пектра в диапазоне длин волн 0,2—4,5 мкм в диапазоне значений нергетической освещенности 10—100 Вт/м². ГСЭ ЭО обеспечи-ает воспроизведение единицы со СКО результата измерений, не тревышающим 0,25 % при неисключенной систематической погрешности, не превышающей 0,4 %.

Передача размера единицы от ГСЭ ЭО рабочим эталонам осуществляется посредством компаратора — полостного термостолбика и светоизмерительных ламп типа СИС 107-1500.

При сличении пиргелиометра № 212 с ГСЭ ЭО имеется ряд грудностей методического характера, вызванных тем, что условия освещенности, создаваемые источником излучения в лаборатории, ущественно отличаются от условий освещенности приемника пирелиометра Солнцем. Наиболее существенными различиями, когорые могут сказаться на результатах сличения, являются различия в энергетических уровнях освещенности, угловом распределении излучаемой энергии и апертурах сличаемых приборов.

Для обоснования возможности сличения пиргелиометра № 212 с ГСЭ ЭО при освещенности около 70 Вт/м² была исследована линейность показаний пиргелиометра в диапазоне от 40 до 400 Вт/м². Установлено, что в указанном диапазоне переводный множитель пиргелиометра, в пределах точности измерений не зависит от измеряемой освещенности.

Для обеспечения достаточной точности передачи единицы измерения энергетической освещенности от государственного эталонарабочему эталону № 212 необходимы многократные сличения приборов как в лаборатории, так и в естественных условиях при облучении Солнцем.

СПИСОК ЛИТЕРАТУРЫ

1. ГОСТ 8.195—76. Государственный специальный эталон и общесоюзна 🛪 товерочная схема для средств измерений энергетической освещенности непр рывного оптического излучения сплошного спектра в диапазоне длин вол •0,2—4,5 мкм. — М.: Изд-во стандартов, 1976.

2. Янишевский Ю. Д. Актинометрические приборы и методы наблю

дений. — Л.: Гидрометеоиздат, 1957.

3. Third International Pyrheliometer Comparisons. Davos and Locarno. Sertember 1970. Final Report WMO, Geneva, 1973, 126 p.
4. Results Fourth International Pyrheliometer Comparisons. Working Report N 58. Swiss Meteorological Institute. Zurich, 1976.

В. А. Клеванцова, И. А. Покровская, Л. Е. Щебелина

ЭКСПЕРИМЕНТАЛЬНОЕ ОПРЕДЕЛЕНИЕ ПОГРЕШНОСТЕЙ ПОВЕРКИ ГАЛЬВАНОМЕТРОВ ГСА-1МА И ГСА-1МБ

Взамен гальванометра ГСА-1, применяющегося с актинометрическими приборами, Тбилисским опытным заводом гидрометприроров с 1975 г. выпускаются гальванометры ГСА-1МА и ГСА-1МБ. Эти приборы изготавливаются на базе микроамперметров M265M93 и M265M94, класса точности 0,5.

Завод «Гидрометприбор» дополняет микроамперметр сопротивдениями, шунтами, термометром, антирадиационным кожухом

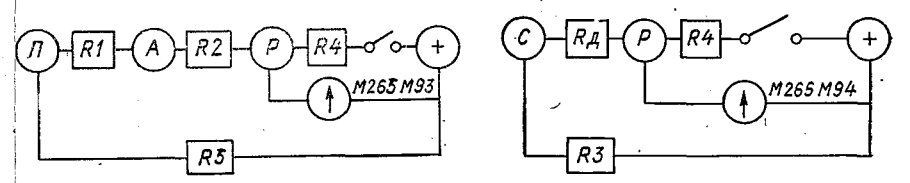


Рис. 1. Блок-схема гальванометра ГСА-1МА.

Рис. 2. Блок-схема гальванометра ГСА-1МБ.

и выпускает в виде гальванометров с относительной шкалой, имеющей 100 делений. Блок-схемы гальванометров представлены на рис. 1 и 2.

Гальванометр ГСА-1МА имеет одностороннюю шкалу, нулевое положение стрелки на 3-м делении шкалы и должен использоваться с актинометром на клеммах «+», «A» и с пиранометром на клеммах «+», «П» при выключенном шунте. Он может применяться также с балансомером через переключатель направления тока на клеммах «+», «P» при включенном шунте.

У гальванометра ГСА-1МБ нуль на 50-м делении шкалы и предназначен этот прибор для использования с балансомером на клеммах «+», «Р» при включенном шунте.

В связи с применением новых приборов на сети актинометрических станций возникла необходимость проанализировать методику

их поверки, оценить погрешности, с которыми определяются пара метры этих гальванометров, а также определить температурные коэффициенты сопротивления и цены деления по току при использовании гальванометров на разных клеммах.

Методы поверки и условия, при которых она производится выбираются так, чтобы систематические погрешности были малы тогда большинство погрешностей, с которыми определяются параметры приборов, могут быть отнесены к категории случайных.

К систематическим погрешностям поверки следует отнести по грешности, являющиеся следствием влияния температурных условий. В качестве характеристики случайной погрешности значений, получаемых при однократной поверке приборов, выбрано среднее квадратическое отклонение значений, полученных при многократной поверке. Для оценки погрешностей была произведена десятикратная поверка пяти гальванометров типа ГСА-1МА и четырех гальнометров типа ГСА-1МБ.

Таблица 1 Средние квадратические отклонения значений поправок шкалы ГСА-1МА (деления шкалы);

№ гальвано-			Отметка шкал	ы		0
метра	20	70	90	95	100	Среднее
240	0,1	0,1	0,2	0,1	0,3	0,2
251	0,1	0,2	0,2	0,1	0,2	0,1
275	0,1	0,1	0,2	0,2	0,1	0,1
279	0,2	0,2	0,3	0,2	0,3	0,2
382	0,2	0,2	0,2	0,2	0,1	0,2
Среднее	0,1	0,2	0,2	0,2	0,2	

Поверка производилась в соответствии с методикой, принятой техническими условиями на гальванометры (ТУ 25-04-1787-75). В качестве образцового прибора и источника тока при определении всех параметров применялся потенциометр ПП-63, класса точности 0,05.

При поверке определялись поправки шкалы гальванометра, внутреннее сопротивление и цена деления по току при включении прибора на разные клеммы. При каждой поверке сопротивление и цена деления по току определялись на отметках шкалы 100, 95, 90 и затем находилось среднее из трех значений. Определение поправок шкалы производилось для гальванометров ГСА-1МА на отметках шкалы 20, 70, 90, 95, 100, а для гальванометров ГСА-1МБ на отметках шкалы 0, 10, 30, 70, 90, 95, 100.

В табл. 1 и 2 приведены средние квадратические отклонения значений поправок, полученных на каждой из отметок шкалы

средние значения, полученные для данного гальванометра и для анной точки шкалы. Среднее квадратическое отклонение, вычисенное при осреднении по всем гальванометрам и всем повереным отметкам шкалы составляет 0,2 деления шкалы для обоих ипов гальванометров.

Из всей группы приборов выделяется гальванометр № 50142, ля которого среднее квадратическое отклонение на точке 0 дости-

Таблица 2 редние квадратические отклонения значений поправок шкалы ГСА-1МБ (деления шкалы)

∿ гальвано-			On	гметка шк	алы			Среднее
метра	0	10	30	70	90	95	100	Среднее
47709	0,1	0,2	0,1	0,1	0,1	0,1	0,1	0,1
50142	0,5	0,4	0,3	0,1	0,1	0,2	0,2	0,3
53531	0,1	0,1	0,1	0,1	0,1	0,1	0,1	0,1
54413	0,3	0,2	0,1	0,1	0,1	0,2	0,2	0,2
Среднее	0,2	0,2	0,1	0,1	0,1	0,1	0,2	

ает 0,5 деления. У этого гальванометра подвижная система плохо гравновешена, но тем не менее забраковать такой прибор не предтавляется возможным, так как требования к уравновешенности годвижной системы гальванометра не предусмотрены техническими условиями и необходимо их уточнить.

Оценка погрешности, с которой при поверке определяются начения сопротивления гальванометра R и цены деления по току C_T , производилась для гальванометров Γ CA-1MA на клеммах +», *P» без включения шунта, *P» с включенным шунтом *P», *P» без шунта.

Таблица 3 Средние квадратические отклонения значений параметров ГСА-1МА (%)

№ гальвано-	Клеммы "-	⊢", "Р" б/ш	Клеммы "-	+", "Р" с/ш	Клеммы "-	⊦", "А" б/ш
метра	R	c_I	R	c_I	R	c_I
240	0,3	0,4	0,5	0,5	0,6	0,5
251	0,4	0,4	0,5	0,3	0,3	0,4
275	0,4	0,2	1,1	0,5	0,4	0,5
279	0,6	0,7	- 0,8	0,8	0,2	0,7
382	0,4	0,5	0,6	0,8	0,2	0,4

Для гальванометров ГСА-1МБ оценка погрешности определения этих же параметров производилась на клеммах «+», «P» без шунта. «+». «P» с шунтом и «+». «C» без шунта.

Полученные средние квадратические отклонения о значений параметров гальванометров (проценты) приведены в табл. 3 и 4

В табл. 5 и 6 приведены средние значения R и C_I и средние квадратические отклонения значений параметров σ , средние по всем гальванометрам. Из таблиц видно, что значения σ маль и имеют одинаковый порядок для всех гальванометров.

Tаблица Средние квадратические отклонения значений параметров ГСА-1МБ (%)

№ гальвано-	Клеммы "	+", "Р" б/ш	Клеммы "	+", "Р" с/ш	Клеммы "	+", "С" б/ш
метра	R	c_I	R	c_I	R	c_I
47709	0,7	0,4	0,6	0,6	0,4	0,6
50142	0,5	0,6	0,5	0,9	0,6	0,5
53531	0,4	0,2	0,8	0,4	0,5	0,2
54413	1,2	0,6	1,0	1,0	0,6	0,6

Вычисленные по всем гальванометрам, средние квадратические отклонения величины сопротивления гальванометра и цены деления по току при измерениях на разных клеммах находятся в пределах 0,4—0,7 % для обоих типов гальванометров. Сопоставление полученных значений средних квадратических отклонений цены деления по току с значениями, полученными ранее при ис-

 Таблица
 5

 Средние значения параметров ГСА-1МА и их средние квадратические отклонения

Клеммы	R Om	o %	C_{f} мкА	o %
"+", "Р" б/ш	34	0,4	0,7	0,4
"+", "Р" с/ш	11	0,7	2,3	0,6
"+", "А" б/ш	38	0,4	1,9	0,5

следовании ГСА-1 [1], показывает, что погрешности поверки ГСА-1МА и ГСА-1МБ имеют тот же порядок.

Пользуясь величинами о, можно обосновать точность, с которой следует давать в свидетельстве о поверке значения параметров гальванометров, а также оценить погрешность показаний актинометрических приборов в паре с гальванометром.

Следует отметить, что в технических условиях даны слишком большие допуски на значения параметров гальванометров. Вслед-

Средние значения параметров ГСА-1МБ и их средние квадратические отклонения

Клеммы	R Om	σ %	C_I мк A	σ %
"+", "Р" б/ш	30	0,7	0,8	0,4
,+", " <i>P</i> " с/ш	8	0,7	3,0	0,7
"+", "С" б/ш	. 13	0,5	5,8	0,5
			i	'

твие этого необходимо каждый раз подбирать индивидуально, то чувствительности, пару: актинометрический прибор — гальванометр.

Температурные коэффициенты сопротивления гальванометра цены деления шкалы по току определялись для гальванометров ГСА-1МА. Для этого сопротивления гальванометра и цена деления икалы определялись в термостате при температурах около —7, +6 и +20 °C. Для двух гальванометров измерения проводились на клеммах «+», «P»; «+», «A», «+», «I» при выключенном шунте, а для одного только на клеммах «+», «A». По полученным данным вычислялись температурные коэффициенты R и C_I . Значения гемпературных коэффициентов приведены в табл. 7.

Таблица 7 Температурные коэффициенты сопротивления гальванометра и цены деления шкалы по току

№ гальвано-	Клеммы "+", "Р" б/ш		Клеммы "+", " <i>А</i> " б/ш		Клеммы "+", " <i>П</i> " б/ш	
метра	R	c_I	R	c_I	R	c_I
251	0,0025	0,00060	0,00055	0,00066		0,00086
27 5	0,0022	0,00048		0,00079	-	0,00055
50711	_		0,00048	0,00083		

Выводы

- 1. Среднее квадратическое отклонение поправок шкалы гальванометра составляет 0,2 деления шкалы.
- 2. Средние квадратические отклонения значений сопротивления гальванометра и цены деления шкалы по току при измерениях на разных клеммах находятся в пределах 0,4—0,7 %.
- 3. Небольшие значения средних квадратических отклонений свидетельствует о целесообразности применения принятого метода поверки и о надежности результатов поверки.

4. При использовании гальванометра на клеммах «+», «А без шунта следует принимать температурный коэффициент сопротивления гальванометра равным 0,0005 и температурный коэффициент цены деления по току равным 0,0007.

СПИСОК ЛИТЕРАТУРЫ

1. Луговская М. А., Покровская И. А. Погрешности поверки термо электрических актинометров и пиранометров. — Труды ГГО, 1956, вып. 6 с. 120—133.

В. А. Клеванцова, И. А. Покровская, Л. Е. Щебелина

ОЦЕНКА СЛУЧАЙНЫХ ПОГРЕШНОСТЕЙ ПРИ ОПРЕДЕЛЕНИИ ПЕРЕВОДНОГО МНОЖИТЕЛЯ И ЧУВСТВИТЕЛЬНОСТИ ПИРАНОМЕТРОВ

Поверка пиранометров осуществляется сличением их с образцовыми приборами как в естественных условиях при облучении Солнцем, так и в лаборатории на специальной установке ПО-4, используя в качестве источника радиации лампу. При поверке определяют чувствительность пиранометра; в случае если пиранометр поступает в поверку с гальванометром, определяют также переводный множитель пиранометра в паре с гальванометром.

Погрешности поверки пиранометров исследовались ранее [1]. Изменения, которые имели место с тех пор заключаются в том, что вместо гальванометра ГСА с пиранометром применяется гальванометр ГСА-1МА, а с образцовыми приборами — потенциометр

ПП-63 класса точности 0.05.

При поверке пиранометра образцовым прибором служит актинометр М-3, если сличение производится при облучении Солнцем. Если же поверка производится при облучении лампой, то в качестве образцового используется пиранометр однотипный с поверяемым. В качестве электроизмерительного прибора в обоих случаях применяется ПП-63.

Для оценки случайных погрешностей поверка пиранометров проводилась с десятикратной повторностью. Для поверки по лампе было взято 10 пиранометров, из них 6 приборов поверялись

в естественных условиях.

Случайная погрешность поверки оценивалась по среднему квадратическому отклонению значений, получаемых по одной повер-

ке, от среднего из результатов десяти поверок.

Для большей объективности каждое сличение проводилось с двумя образцовыми приборами. В естественных условиях оба образцовых прибора наблюдались одновременно. При поверке в лаборатории показания образцовых приборов отсчитывались последовательно один за другим.

Поверка пиранометров проводилась в соответствии с приняты ми в настоящее время методическими указаниями. Сличение про водилось сериями, состоящими из десяти отсчетов в естественны условиях и трех отсчетов при поверке в лаборатории. Для каж дого пиранометра вычислялась величина чувствительности ил переводного множителя пиранометра в паре с гальванометром п данной серии измерений. Затем вычислялось среднее по всем се риям и среднее квадратическое отклонение для данного пирано метра и для данной группы приборов.

Таблица
Результаты определения чувствительности К (мВ см² мин/кал) пиранометров в лабораторных условиях

)	№ образцового пиранометра					
№ поверяемого пиранометра	21	04	794			
	K	g %	K	σ %		
8114	9,79	0,3	9,78	0,3		
1793	9,94	0,4	9,94	0,3		
794	7,03	0,4		_		
5487	7,97	0,3	7,98	0,3		
1896	8,08	0,3	8,07	0,3		
7180	9,15	0,4	9,14	0,4		
8136	10,04	0,4	10,04	0,4		
803	7,40	0,3	7,40	0,3		
6519	7,86	0,7	7,88	0,8		
5177	8,29	0,3	8,28	0,4		
2104		_	8,28	0,3		

Поверка в естественных условиях проводилась в 1977 г. в Ка радагской обсерватории при радиации 0,7—1,3 кал/(см² мин) и температуре 20—30 °С. Произведение оптической массы атмо сферы на фактор мутности Линке колебалось от 3 до 8. Ввиду не больших колебаний температуры и малых температурных коэффициентов приборов, температурные поправки не вводились.

В табл. 1 приведены средние значения чувствительности пира нометров и средние квадратические отклонения, полученные при сличении с образцовыми пиранометрами № 2104 и № 794 в лабо раторных условиях, на установке ПО-4. Образцовые и поверяемые пиранометры подключались к ПП-63. Среднее по всем пиранометрам значение σ=0,4 %.

В табл. 2 даны значения чувствительности пиранометров, полученные при сличении в естественных условиях с образцовыми актинометрами № 87 и 392. Образцовые актинометры и поверяе

Таблица 2^{*} Результаты определения чувствительности пиранометров K (мВ см² мин/кал) в естественных условиях

		№ образцового	э актинометра		
№ поверяемого пиранометра	8	37	392		
impanomerpa	K	σ %	K	σ %	
8114	9,94	0,5	9,94	0,5	
1793	10,13	0,6	10,12	0,6	
794	6,98	1,1	6,98	1,2	
5487	7,97	0,6	7,97	0,4	
1896	8,24	0,5	8,25	0,6	
2104	8,01	0,5	8,03	0,7	

иые пиранометры подключались к ПП-63. Среднее по всем пиранометрам значение σ = 0,7 %.

В табл. 3 приведены переводные множители пиранометров гальванометрами, полученные в результате сличения в естественных условиях с образцовыми актинометрами № 87 и 392, подключенными к ПП-63. Среднее по всем пиранометрам значение σ =0,9%.

В табл. 4 приведены значения переводных множителей пиранометров с гальванометрами, полученные при сличении в естественных условиях с теми же образцовыми актинометрами, но подклюненными к гальванометрам. Среднее по всем пиранометрам значение $\sigma = 0.8 \%$.

Из сопоставления данных, приведенных в табл. 1 и 2, видно, это случайные погрешности определения чувствительности меньше при поверке в лабораторных условиях. Однако из тех же таблиц следует, что если значения К, полученные по разным образцовым

T 3 Результаты определения переводных множителей a (кал/см 2 мин) пиранометров с гальванометрами в естественных условиях (образцовые актинометры с $\Pi\Pi$ -63)

	№ образцово	го актинометра		
8	7	392		
а	σ %	a	σ %	
0,0170	0,7	0,0170	0,8	
0,0169	0,6	0,0169	0,5	
0,0235	0,9	0,0235	1,1	
0,0207	0,5	0,0207	0,6	
0,0210	0,7	0,0210	0,9	
0,0217	1,3	0,0217	1,3	
	0,0170 0,0169 0,0235 0,0207 0,0210	a 0,0170 0,0169 0,6 0,0235 0,9 0,0207 0,5 0,0210 0,7	a o % a 0,0170 0,7 0,0170 0,0169 0,6 0,0169 0,0235 0,9 0,0235 0,0207 0,5 0,0207 0,0210 0,7 0,0210	

приборам, но по одному и тому же методу совпадают, то резултаты, полученные разными методами, различаются на величин которые не могут быть объяснены случайными погрешностям так как они малы. Так, при поверке по лампе значение чувств тельности пиранометра № 1793 оказалось на 1,9 % ниже, а № 210 на 3,4 % выше, чем при поверке в естественных условиях. Это ра хождение систематическое и его следует отнести за счет разноспектральной чувствительности сличаемых пиранометров. Так ка поверять пиранометры всегда в естественных условиях практичеки невозможно, то это подтверждает необходимость примененистандартного покрытия приемников при изготовлении и ремонтиранометров, а также использование в качестве образцовог пиранометра прибора с тем же покрытием, что и у поверяемог

Таблица

Результаты определения переводных множителей а(кал/(см²⋅мин) пиранометре
с гальванометрами в естественных условиях (образцовые актинометре
с гальванометрами

№ поверяемого	Ne o	бразцового актинс	метра и гальванометр	oa	
пиранометра и гальвано-	87/240 и	87/279	394/240 и 392/251		
метра	a	σ %	a	σ%	
8114/251	0,0170	0,6	0,0170	0,7	
1793/251	0,0169	0,6	0,0168	0,7	
794/240	0,0235	0,8	0,0234	1,0	
5487/240	0,0208	1,0	0,0207	1,1	
1896/279	0,0209	0,8	0,0211	0,8	
2104/279	0,0219	0,4	0,0221	0,5	

Если сравнить полученные величины погрешностей с величи нами, приведенными в работе [1], то можно отметить, что замен гальванометра потенциометром при определении чувствительност пиранометра и применение потенциометра вместо гальванометр при образцовом актинометре дает некоторое уменьшение случай ных погрешностей поверки. Так среднее квадратическое отклоне ние при определении чувствительности в лабораторных условия уменьшилось от 0,6 до 0,4 %, а при определении переводных мно жителей в естественных условиях от 1,1 до 0,9 %. Среднее ква дратическое отклонение при определении переводных множителей в естественных условиях при замене гальванометра ГСА на ГСА 1МА уменьшилось от 1,1 до 0,8 %.

СПИСОК ЛИТЕРАТУРЫ

1. Луговская М. А., Покровская И. А. Погрешности поверки тер моэлектрических актинометров и пиранометров.— Труды ГГО, 1956, вып. 61 с. 120—134.

В. А. Клеванцова, И. А. Покровская

ПРОЕКТ ПОВЕРОЧНОЙ СХЕМЫ ДЛЯ СРЕДСТВ ИЗМЕРЕНИЙ ЭНЕРГЕТИЧЕСКОЙ ОСВЕЩЕННОСТИ РАДИАЦИЕЙ СОЛНЦА

В соответствии с Межведомственным единым координационным планом метрологического обеспечения средств измерения гидрометеорологического назначения в отделе метрологии ГГО был подготовлен проект локальной поверочной схемы передачи диницы энергетической освещенности радиацией Солнца (рис. 1).

Приведенная поверочная схема распространяется на средства измерения (СИ) энергетической освещенности солнечной радиацией, применяемые в системе Госкомгидромета. Поверочная схема устанавливает порядок передачи размера единицы энергетической освещенности от рабочего эталона рабочим СИ посредством образцовых средств измерения (ОСИ) 1, 2 и 3-го разрядов с указанием погрешностей и основных методов поверки. Рабочий эталон единицы энергетической освещенности радиацией Солнца сличается с Государственным специальным эталоном единицы энергетической освещенности (ГСЭ ЭО) непрерывного оптического излучения сплошного спектра в диапазоне длин волн 0,2—4,5 мкм [1]. ГСЭ ЭО хранится во Всесоюзном научно-исследовательском институте оптико-физических измерений (ВНИИОФИ). Локальная поверочная схема соответствует общесоюзной поверочной схеме для СИ энергетической освещенности [1].

Поверка СИ производится в соответствии с методическими указаниями, разработанными для каждого типа приборов и утвер-

жденными в установленном порядке.

Приведенные в поверочной схеме значения погрешностей, характеризуемых средним квадратическим отклонением ряда S_0 или пределом допускаемой погрешности Δ , получены на основании анализа результатов многолетних систематических поверок приборов или специально поставленных экспериментов.

В качестве верхнего звена локальной поверочной схемы в системе Госкомгидромета служит рабочий эталон — компенсационный пиргелиометр типа пиргелиометра Ангстрема (№ 212), кото-

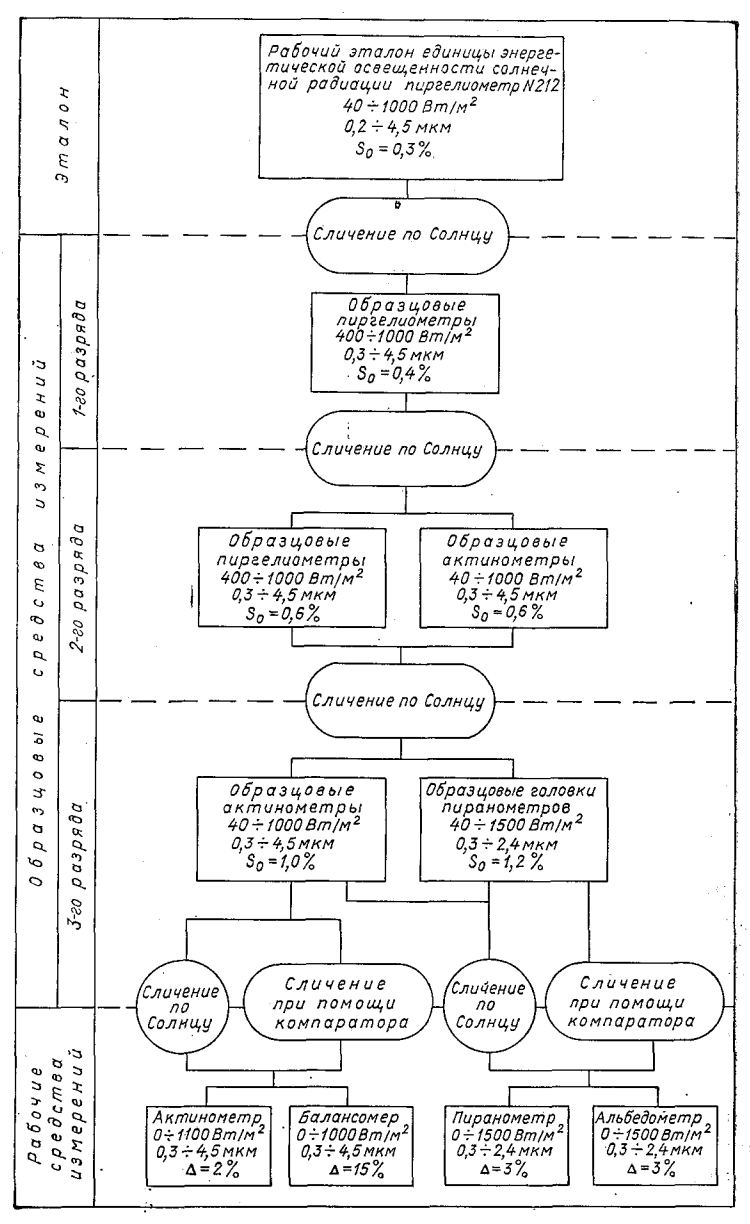


Рис. 1. Локальная поверочная схема для средств измерения энергетической освещенности радиацией Солнца.

яй хранится в отделе метрологии ГГО. Переводный множитель пргелиометра № 212 при аттестации его определяется со случайой погрешностью 0,03 %. Случайная погрешность измерения рачим эталоном, оцениваемая средним квадратическим отклоненем (СКО) ряда измерений, составляет 0,3 % [2].

Передача единицы измерения энергетической освещенности от абочего эталона образцовым средствам измерения (ОСИ) 1-го азряда, от ОСИ 1-го разряда к ОСИ 2-го разряда и от ОСИ 2-го азряда к 3-му осуществляется путем непосредственного их сли-

ния при облучении Солнцем.

ОСИ 1-го разряда — пиргелиометры № 196, 250 и 541 также ранятся в ГГО. Они ежегодно сличаются с рабочим эталоном. КО ряда измерений пиргелиометров 1-го разряда составляет

4 %.

К ОСИ 2-го разряда относятся пиргелиометры Ангстрема Янишевского (М-59), а также актинометры М-3, аттестованные ак образцовые сличением с ОСИ 1-го разряда. Сличение ОСИ 2-го азряда с ОСИ 1-го разряда должно производиться не реже дного раза в три года. СКО ряда измерений ОСИ 2-го разряда

оставляет 0,6 % [2, 3].

ОСИ 2-го разряда хранятся в местных управлениях Госкомидромета — в Бюро поверки или гидрометеорологических обсераториях и используются для сличения с ними ОСИ 3-го разряа — образцовых актинометров и образцовых головок пиранометов, которые применяются для поверки рабочих актинометров пиранометров в Бюро поверки, а также используются при инсекции актинометрических станций.

Сличение ОСИ 3-го разряда с ОСИ 2-го разряда производится жегодно. Случайная погрешность измерения (СКО) образцовыми ктинометрами 3-го разряда составляет 1,0 %, а образцовыми го-

овками пиранометров — 1,2 % [3, 4].

Рабочими СИ являются: актинометр М-3, универсальный пираометр М-80М и альбедометр М-69, имеющие приемниками радиаии головку пиранометра М-115М и балансомер М-10М. Пределы опускаемых погрешностей этих приборов, указанные в схеме, оответствуют требованиям ТУ на эти приборы.

Поверка рабочих СИ по образцовым СИ 3-го разряда (или по ОСИ более высоких разрядов) производится либо непосредственым сличением при облучении Солнцем, либо при помощи компа-

атора (лампы).

СПИСОК ЛИТЕРАТУРЫ

1. ГОСТ 8.195-76. Государственный специальный эталон и общесоюзая поверочная схема для средств измерений энергетической освещенности нерерывного оптического излучения сплошного спектра в диапазоне длин волн 32—4,5 мкм. — М.: Изд-во стандартов.

2. Клеванцова В. А., Покровская И. А. К метрологической атте-

гации эталонного пиргелиометра Госкомгидромета. - См. наст. сборник.

3. Клеванцова В. А., Покровская И. А., Щебелина Л. 1 О случайных погрешностях поверки термоэлектрических актинометров.— Труд ГГО, 1978, вып. 414, с. 27—32. 4. Клеванцова В. А., Покровская И. А., Щебелина Л. Е. Оце ка случайных погрешностей при определении переводного множителя и чувстви тельности пиранометров. -- См. наст. сборник.

РЕЗУЛЬТАТЫ МЕТРОЛОГИЧЕСКОЙ АТТЕСТАЦИИ ОБРАЗЦОВЫХ АЭРОДИНАМИЧЕСКИХ ТРУБ

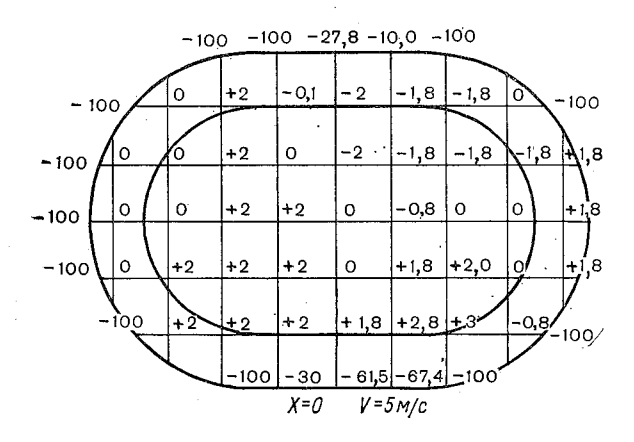
Статья посвящена анализу результатов аттестации аэродинаических труб (АТ), проведенной на Сафоновском заводе «Гидроэтприбор» и в бюро поверки экспериментально-производственых мастерских ГГО (БП ЭПМ). Аттестация проводилась в сооттствии с Межведомственным единым координационным планом етрологического обеспечения средств измерения гидрометеоролоческого назначения, выпускаемых предприятиями гидрометприростроения (ГМП) и находящихся в обращении в системе Госуарственного комитета СССР по гидрометеорологии и контролювиродной среды.

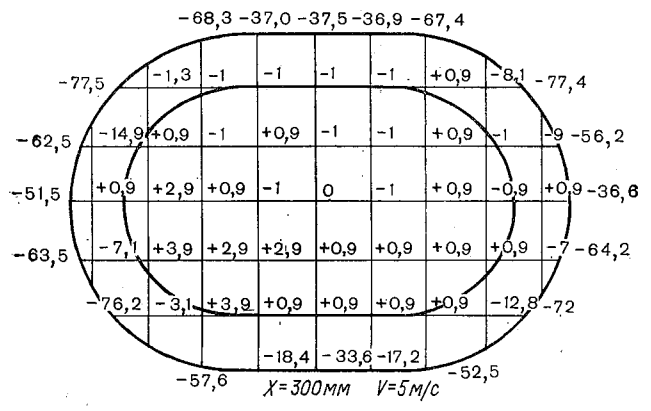
Аэродинамические трубы применяются для градуировки приоров измерения скорости ветра и являются образцовым средством го разряда [2]. Аэродинамические трубы Сафоновского завода МП и БП ЭПМ представляют собой АТ замкнутого типа с одим обратным каналом и открытой рабочей частью. Форма сечеия рабочей части — эллипс с размерами осей: горизонтальной — 00 мм, вертикальный — 600 мм. Длина рабочей части — 800 мм.

Исследования проводились согласно РТМ на аттестацию АТ, азработанным ВНИИМ и ГГО. Основные положения этой метолки изложены в работе [1]. В качестве образцовых средств при тестации использовалась образцовая напорная труба 1-го разла в комплекте с микроманометром МКВ (в диапазоне скороей 5—40 м/с) и образцовый электроанемометр (в диапазоне 5—5 м/с).

Аттестация включала в себя определение следующих характеистик труб: неравномерности поля скоростей, поля турбулентых пульсаций, нестабильности скорости потока во времени, коффициента сопла **К**с, градуировки счетчика числа оборотов двителя, основной погрешности измерения скорости в трубе.

Целью исследования поля скоростей является определение оны равных скоростей» и неравномерности потока в этой зоне сследования проводились в диапазоне скоростей 10—40 м/с помощью образцовой напорной трубки, соединенной с микро-





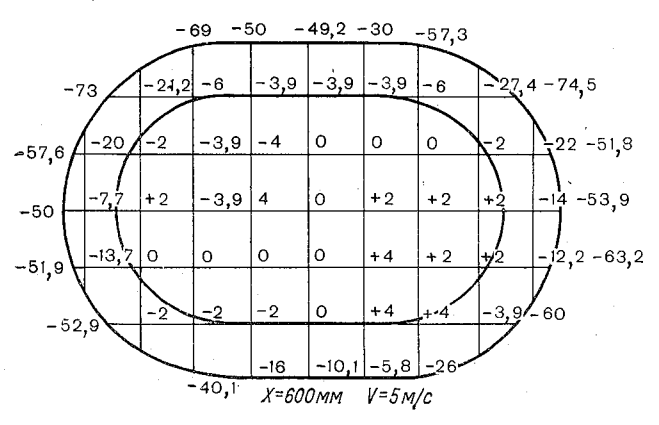


Рис. 1. Диаграммы поля скоростей в трех сечениях (для АТ БП ЭПМ).

анометром ММН-240, а на скорости 2 м/с — с помощью электроцемометра (ЭА) с проволочным измерительным преобразоватем. Преобразователь перемещался в плоскости, перпендикулярй оси АТ, и по длине рабочего участка. Измерения производитсь на срезе сопла и в сечениях 240 и 500 мм от среза сопла на соростях 2, 10, 20 и 40 м/с. С целью исключения погрешности от естабильности скорости в АТ, одновременно с измерением в *i*-й чке сечения производилось измерение скорости по перепаду ввления в трубе (в диапазоне 10—40 м/с) и по счетчику числа

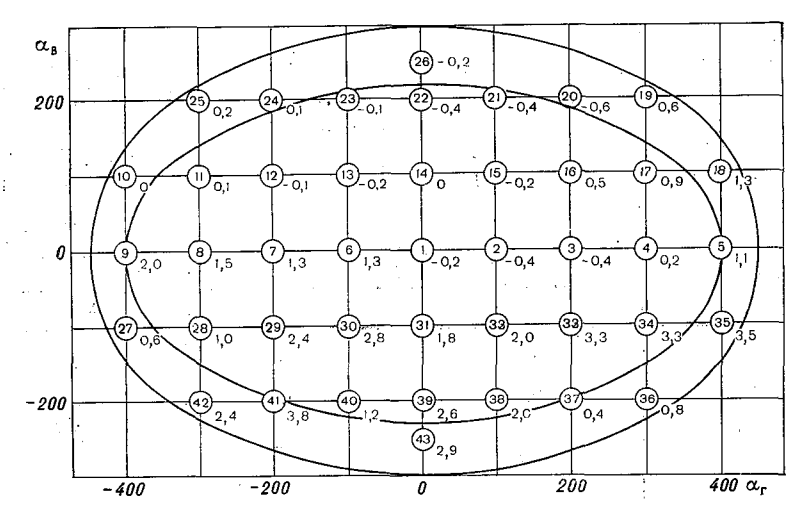


Рис. 2. Диаграмма поля скоростей в одном сечении (для АТ Сафоновского завода ГМП).

боротов двигателя (на скорости 2 м/с). Скорость в исследуемых эчках сечений выражалась в долях скорости, измеренной по песепаду давления в трубе (или по счетчику числа оборотов), как

$$V_i = \frac{V_{i_{\rm cp}}}{V_{0_{\rm cp}}},\tag{1}$$

де
$$V_{i\text{cp}} = \frac{\sum\limits_{1}^{n} V_{i}}{n}$$
; $V_{0\text{cp}} = \frac{\sum\limits_{1}^{n} V_{0}}{n}$; V_{i} — скорость, измеренная в i -й очке сечения; V_{0} — скорость, измеренная по перепаду давления или счетчику числа оборотов); n — число измерений в каждой очке.

Результаты исследований представлялись в виде диаграмм заисимости $V_{i_{\text{отн}}} = f(X, d_{\text{r}}, d_{\text{в}})$. Примеры таких диаграмм привены на рис. 1 и 2. За границу «зоны равных скоростей» приниались точки, скорость в которых отличается от скорости на оси рубы не более чем на 4 %. Оценкой неоднородности поля в зоне

равных скоростей служит величина, представляющая собой отнение максимального значения скорости в сечении X_i к средн в этом сечении скорости

$$\mu = \frac{V_{i_{\rm cp}}}{V_{{\rm cp}_X}},$$

где $V_{\mathrm{cp}_X} = \frac{\sum\limits_{1}^{m} V_{i_{\mathrm{cp}}}}{m}, \quad m$ — число точек измерения в каждом сечнии.

Была произведена оценка погрешности ряда измерений в тон X=0, $d_{\rm r}=0$, $d_{\rm B}=0$, результаты расчета приведены в табл. 1. Т как в эксперименте не оценивалось абсолютное значение ск рости, а определялось ее относительное значение, то можно сч тать погрешностью проведенных исследований погрешность Δ , опр

Таблица

бп эпм		Сафоновский	завод ГМП	
<i>V</i> м/с	Δ %	V M/c	Δ %	
5	3,00	10	1,10	
15	0,25	20	0,55	
25	0,20	40	0,10	
3 5	0,10	_	_	
		1		

деленную из эксперимента. Анализ результатов измерений полскоростей показал, что зона равных скоростей представляет собо эллипс с осями 450×800 мм, а неравномерность в зоне равны скоростей не превышает 4 %.

Определение поля интенсивности турбулентных пульсаций призводилось с помощью ЭА с проволочным преобразователем. И мерения производились на срезе сопла и в сечении 240 и 500 м на скоростях 2, 10, 40 м/с. Интенсивность пульсаций є рассчитывлась в процентах по формуле

$$\varepsilon = \frac{4U \cdot U'}{U^2 - U_0^2} \cdot 100,\tag{3}$$

где U — показания ЭА при текущей скорости V; U' — средне квадратическое значение пульсаций напряжения на выходе Э (регистрируется с помощью квадратичного вольтметра, подключаемого в ЭА); U_0 — показания ЭА при V = 0.

Анализ результатов измерений показал, что интенсивность турбулентных пульсаций в АТ БП ЭПМ не превосходит 2 %, интенсивность турбулентных пульсаций в АТ Сафоновского завод ГМП в сечениях X=0 и X=240 мм не превосходит также 2 %

сечении X=500 мм не превосходит 3,2 %, а при скорости V=40 м/с достигает 4.7 %. Следует отметить, что в сечении X==500 мм, на скоростях потока выше 20 м/с, основной вклад уровень пульсаций вносят регулярные пульсации, вызванные

риводом трубы.

Исследования нестабильности скорости потока в АТ проводиісь с помощью ЭА (в диапазоне скоростей (0,5—5 м/с) и с поощью напорной трубки (от 5 м/с и выше). Преобразователь ЭА ли напорная трубка) устанавливался в центре рабочей части убы. Отсчеты проводились в течение 30 мин с интервалом мин. Погрешность от нестабильности определялась по формуле

$$\delta = 3 \sqrt{\frac{\sum_{i=1}^{n} \overline{V^2}}{n-1}}, \tag{4}$$

 $\delta = 3$ $\sqrt{\frac{\sum\limits_{i=1}^{n}\overline{V^{2}}}{n-1}},$ (4) це $\overline{V} = (V_{i} - V_{\mathrm{cp}})/V_{\mathrm{cp}}, \ V_{\mathrm{cp}} = \frac{\sum\limits_{i=1}^{n}V_{i}}{n}, \quad n$ — число точек измерения

і промежуток времени τ=30 мин. Результаты исследований Бедставлены в табл. 2. Анализ экспериментальных данных покаіл, что нестабильность скорости в аттестуемых трубах несколько ревышает предельно допустимые значения. В целях уменьшения естабильности скорости потока в трубах представляется целесобразной замена существующего привода труб на более совреенный.

Определение коэффициента сопла Кс проводилось путем слиения результатов измерения скорости по перепаду давления на резе сопла АТ с результатами измерений напорной трубкой 1-го язряда. Трубка устанавливалась на оси трубы на срезе сопла.

Таблица 2

Сафоновский завод ГМП		ы эг	PTM	
<i>V</i> м/с	δ % V м/c δ %		δ %	^δ нест [%]
0,5	11,0	_		
_	_	1,0	5,4	9,4
2,0	6,0	2,0	3,0	6,2
4,5	2,6	4,5	2,1	3,2
. —		5,0	1,8	2,3
10,0	2,4	·		1,5
_	-	15,0	1,2	1,2
20,0	1,7	_		1,1
_		25,0	0,9	1,0
30,0	0,4		· · ·	0,9
_	<u> </u>	35,0	0,5	0,9

Измерения производились на скоростях потока 10, 15, 20, и 45 м/с (для АТ Сафоновского завода ГМП) и на скоростях и тока 5, 10, 15, 20, 25, 30 и 35 м/с (для АТ БП ЭПМ). Коэффинент сопла K_c рассчитывался по формуле

$$K_{\rm c} = K_{\rm rp} \sqrt{\frac{\Delta P_{\rm rp}}{\Delta P_{\rm c}}}, \tag{}$$

где $K_{\rm TP}$ — коэффициент образцовой трубки 1-го разряда; $\Delta P_{\rm TP}$ показания микроманометра, подключенного к образцовой трубо $\Delta P_{\rm c}$ — показания микроманометра, подключенного к сечениям взда и выхода сопла. В качестве $K_{\rm c}$ принималось среднее значен $K_{\rm c}$, полученное из экспериментов в диапазоне скоростей пото 5—45 м/с. Для АТ БП ЭПМ $K_{\rm c}$ = 0,986, для Сафоновского заво ГМП $K_{\rm c}$ = 0,993. Предельная погрешность результата $\delta_{K_{\rm c}}$ (в принимах) определения $K_{\rm c}$ рассчитывалась по формуле

$$\delta_{K_c} = 3S(\mathring{\Delta})_{K_c} = 3 \sqrt{\frac{\sum_{i=1}^{n} V_i^2}{n(n-1)}} \cdot 100,$$

где $V_i = \frac{K_{c_i} - R_{c_i}}{R_c}$, K_{c_i} — значения коэффициента для i-й скорости диапазона, K_c — среднее значение коэффициента, получени из экспериментов в диапазоне 5—45 м/с, n — число измерений.

По результатам экспериментов получено значение предельн погрешности определения K_c , равное для АТ Сафоновского заво 0,15 %, для АТ БП ЭПМ — 0,52 %, что отражает высокую воспр изводимость результатов измерения коэффициента K_c . Следует ометить, однако, что класс точности приборов, примененных п этом, не позволяет считать указанное значение погрешпости полно погрешностью определения K_c . Погрешность определения коэфициента с учетом погрешности измерительных приборов следу считать по формуле

очитать по формуле
$$\delta_{\mathcal{K}_{\mathsf{c}}} = \sqrt{\frac{\delta_{\mathcal{K}_{\mathsf{Tp}}}^2 + \frac{1}{4} \delta_{\mathsf{MKB}}^2 + \frac{1}{4} \delta_{\mathsf{MMH}}^2},$$

где δ_{K_p} — предельная погрешность определения коэффициента о разцовой напорной трубки ($\delta_{K_{Tp}}=1,2~\%$), δ_{MKB} — предел допу каемой погрешности манометра МКВ, δ_{MMH} — предел допуска мой погрешности манометра ММН (при наличии индивидуальноградуировки считаем, что $\Delta_{MMH}=0,5~$ мм).

При использовании указанных средств измерений погрешнос определения коэффициента $K_{\rm c}$ будет иметь значения, представле

ные в табл. 3.

Измерение скорости потока в диапазоне скоростей 0,5—4,5 м до оснащения АТ электроанемометрами осуществляется с помощь счетчика числа оборотов двигателя, разработанного ВНИИМ, упр щенная блок-схема которого представлена на рис. 3.

Градунровка счетчика числа оборотов представляет собой опреление зависимости между числом оборотов двигателя и скорово потока воздуха в АТ. Градунровка проводится методом слиния показаний счетчика (количество импульсов с его выхода) показаниями ЭА, измеряющего скорость потока воздуха в АТ. оболочный преобразователь ЭА устанавливается на срезе сопла, зоне равных скоростей, в зоне наименьшей неравномерности полямерения производятся в диапазоне 0,5—4,5 м/с через каждые м/с. В связи с тем, что зависимость между скоростью потока здуха в АТ и числом оборотов двигателя зависит от загромож-

				Та	блица З
м/с	10	15	20	25	45
c %	1,4	1,3	1,2	1,2	1,2

ния рабочего поля поверяемыми приборами, то градуировка проводилась для пустой AT и при ее загрузке. На Сафоновском за-

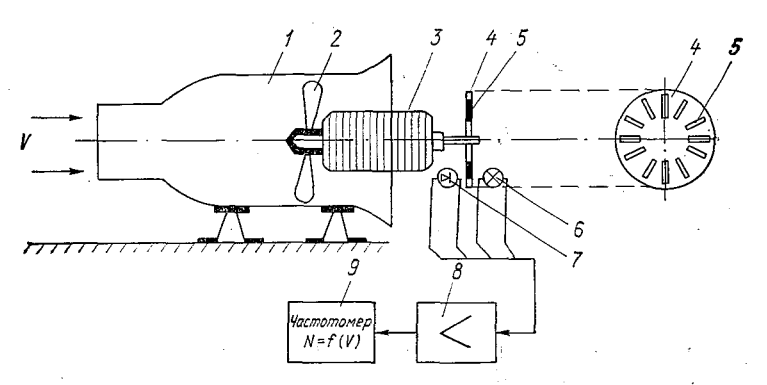


Рис. 3. Блок-схема устройства для измерения скорости потока по числу оборотов двигателя AT.

1 — корпус АТ, 2 — винт, 8 — электродвигатель, 4 — кодовый диск, 5 — прорезь, 6 — источник света, 7 — фотодиод, 8 — усилитель, 9 — частотомер.

рде ГМП осуществлялась градуировка счетчика для пустой АТ дальнейшей поочередной установкой в рабочем участке трубы риборов: М-63М, М-47, КИВ. Для АТ БП ЭПМ соответственно 1-92, М-25, М-95, М-47, М-63М. Зависимость $\bar{N}_{\text{сч}} = f(\bar{V})$ представна на рис. 4, где

$$\overline{N}_{cq} = \frac{\sum_{i=1}^{n} \bar{N}_{i}}{n}, \quad \overline{V} = \frac{\sum_{i=1}^{n} V_{i}}{n};$$
 (8)

десь N_i — показания счетчика в i-м эксперименте, V_i — скорость AT, измеренная $\Im A$, n — число измерений.

Анализ результатов градуировки показал, что зависимос $\overline{N}_{\text{сч}} = f(\overline{V})$ практически линейна в диапазоне скоростей 0,5—4,5 м Градуировочные зависимости при загрузке поля трубы приборам M-95, M-92, M-47 и M-63M очень близки. Отличие градуировочно зависимости счетчика при загрузке поля прибором M-25 от семе ства остальных градуировок объясняется спецификой его поверя

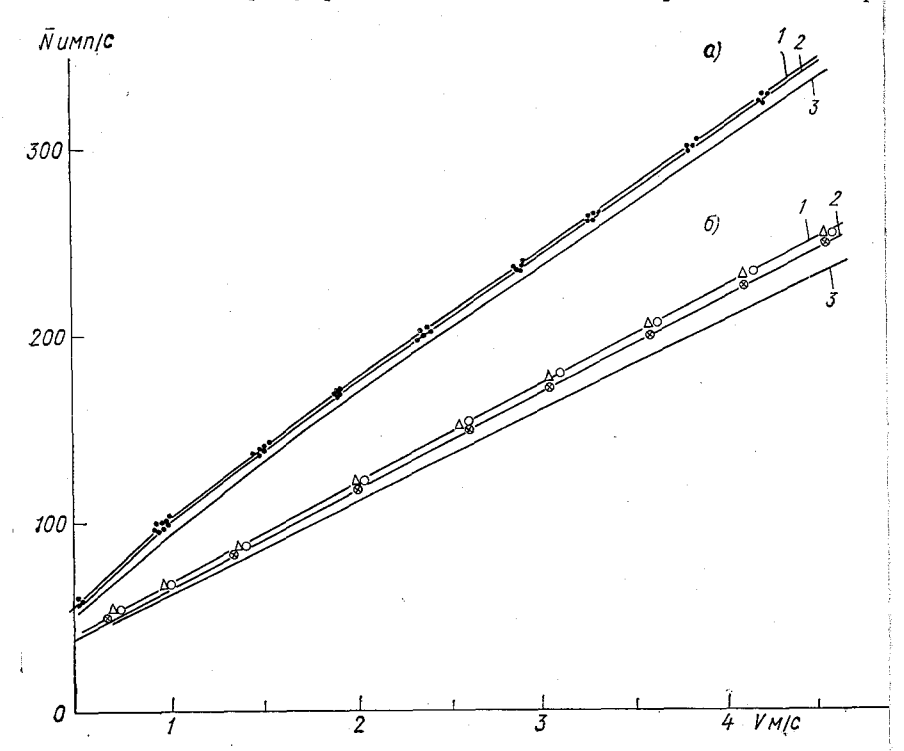


Рис. 4. Кривые зависимости $\overline{N}_{0\, q} = f(\overline{V})$ при градуировке счетчика числа оборотов AT по электроанемометру.

а) Сафоновский завод ГМП: 1) M-63M, КИВ, 2) M-47, 3) не загружена:

б) БП ЭПМ ГГО: 1) M-92, M-25, 2) M-63, 3) не загружена.

в БП ЭПМ, т. е. при поверке обычно устанавливается одновремен но два прибора М-25, симметрично разнесенных на штанге от ос трубы. Погрешность градуировки счетчика числа оборотов опреде лялась на скоростях 0,5 (1 м/с для БП ЭПМ), 2,0 и 4,5 м/с и рас считывалась по формуле

$$\delta_{\rm cp} = 3 \, \sigma = 3 \sqrt{\frac{\sum_{i=1}^{n} V_i^2}{n-1}},$$
 (9)

где $V_i = (V_i - V_{\rm cp})/V_{\rm cp}$, n — число измерений на данной скорости

Погрешность измерения скорости в диапазоне 0,5—5 м/с опреляется погрешностью градуировки счетчика числа оборотов, поешностью частомера и, в случае если нестабильность велика, эгрешностью, вызываемой нестабильностью скорости потока в АТ, е.

$$\delta_V = \sqrt{\delta_{\rm rp}^2 + \delta_{\rm yacr}^2 + \delta_{\rm Hecr}^2}.$$
 (10)

Результаты расчета значений δ_{cp} по формуле (9) и δ_V по форуле (10) представлены в табл. 4. Численные значения $\delta_{\text{нест}}$ брансь из табл. 2.

Таблица 4

рп эпм			Сафоновский завод ГМП			
V м/с	δ _{cp} %	$^{\delta}V$	V M/C	^δ cp %	δ_V	
1,0	9,0	13,0	0,5	9,0	14,0	
2,0	4,2	7,5	2,0	4,5	7,5	
4,5	3,0	4,4	4,5	3,7	4,5	

В диапазоне скоростей 5—45 м/с скорость потока в АТ рассчинавается по формуле

$$V_{\rm AT} = K_{\rm c} \sqrt{\frac{2\Delta P_{\rm c}}{\rho}},\tag{11}$$

де $\Delta P_{\rm c}$ — перепад давления в сечениях входа и выхода сопла, изеряемый микроманометром; $K_{\rm c}$ — коэффициент сопла AT, ρ — лотность воздуха.

Погрешность измерения скорости определяется погрешностью пределения коэффициента $K_{\rm c}$ и погрешностью применяемого икроманометра, измеряющего перепад давления в ${
m AT}$, т. е.

$$\delta_V = \sqrt{\delta_{K_c}^2 + \frac{1}{4} \delta_{\Delta P}^2}.$$
 (12)

Микроманометр ММН-240, прошедший индивидуальную градуировку, имеет погрешность $\delta_{\Delta P}$, при измерении скорости воздушного потока в диапазоне 5—40 м/с, представленную в табл. 5. Предельная погрешность определения коэффициента сопла K_e для обоих труб равна 1,4%. Подставив в формулу (12) численные значения, получим для исследуемого диапазона скоростей, значения δ_V . Так как нестабильность скорости в АТ презышает 1/3 основной погрешности измерения скорости, то погреш-

ность от нестабильности следует учитывать при оценке погрености измерения скорости, т. е. выражение (12) перепишет в виде

$$\delta_V = \sqrt{\delta_{K_c}^2 + \frac{1}{4} \delta_{\Delta P}^2 + \delta_{HeCT}^2}. \tag{1}$$

Результаты расчета погрешности измерения скорости поток в AT δ_V по формуле (12) и с учетом нестабильности по формул (13) в диапазоне скоростей 5—40 м/с приведены в табл. 6.

· Таблица

The state of the state of the state of

· % δ		
, in	ν % δν 9	%) °V %
6 4	.,3 2,4	4,0
4 -	- 1,5	2,8
5 1	,9 1,4	
5 -	- 1,4	2,2
4 1	,8 1,4	_
5 -	- 1,4	—, <i>5</i> :
- 1	,5 1,4	
	l l	1,4
(6 4 4 - 6 1 5 - 4 1	6 4,3 2,4 4 — 1,5 6 1,9 1,4 5 — 1,4 4 1,8 1,4 5 — 1,4 4 1,5 1,4

Примечание. Здесь $\delta_V^{'}$ вычислены с учетом нестабильности скорост потока в AT.

Результаты аттестации AT на Сафоновском заводе ГМГ и в БП ЭПМ показали, что полученные при этом значения параметров труб в основном соответствуют требованиям РТМ и позволяют осуществлять поверку и градуировку в них средстизмерений скорости ветра.

СПИСОК ЛИТЕРАТУРЫ

1. Образцовые средства измерения скорости воздушного потока, их исследование и аттестация/Н. П., Фатеев, Б. Л. Сущинский, В. А. Кузьмин Д. Я. Блантер. — Труды ГГО, 1977, вып. 392, с. 3—15.

2. Фатеев Н. П. Поверочные схемы для метеорологических измерений. — Труды ГГО, 1973, вып. 313, с. 145—155.

МЕТРОЛОГИЧЕСКАЯ АТТЕСТАЦИЯ ТЕРМОГИГРОСТАТА «БРИЗ»

Метрологическое обеспечение измерений влажности приземюго слоя воздуха является уже в течение нескольких лет предиетом научно-исследовательской и методической работы, проводииой ГГО. Состояние этого вопроса было таково, что потребовало истематического изучения его, включая обоснование выбора изиеряемой величины [1], физико-метрологический анализ принципа. воспроизведения размера единицы выбранной величины [2, 7, 8], жспериментальные исследования аппаратуры, реализующей этот лринцип, [4, 5] и систему передачи воспроизводимого размера диницы рабочим средствам измерения влажности глоя атмосферы, отображенную в виде проекта поверочной схемы [9]. Образцовые средства этой поверочной схемы разрабатываются и исследуются в ГГО. В соответствии с правилами внедрения поверочных схем образцовые средства измерения после их. лабораторных метрологических исследований и межведомственных. испытаний подвергаются государственным испытаниям [3] или иетрологической аттестации [6]. Ввиду актуальности метрологинеского обеспечения в области измерения влажности приземного лоя воздуха эти работы были включены в единый координационный план Госстандарта, Минприбора и Госкомгидромета метрологического обеспечения средств измерения гидрометеорологического назначения. В процессе выполнения названного плана указанные метрологические мероприятия по отношению образцовых средств низшего разряда были выполнены к 1977 г.

Распоряжением Госстандарта Государственная комиссия изпредставителей Госстандарта, Минприбора и Госкомгидромета в апреле 1978 г. провела работы по метрологической аттестации гермогигростата «Бриз», разработанного и изготовленного в ре-

зультате выполнения НИР ГГО в 1974—1976 гг.

«Бриз» обеспечивает получение паровоздушной атмосферы в его рабочей камере с заданными значениями температуры и влажности и предназначен к применению в качестве образцового средства измерений влажности воздуха при исследовании,

градуировке и поверке различных измерителей влажности воз

духа.

Как и все образцовые средства проекта поверочной схемы для средств измерения влажности приземного слоя воздуха, «Бриз основан на принципе термодинамического равновесия конденсиро ванной и неконденсированной фаз воды. Однако в отличие от термогигростата II разряда в этой поверочной схеме «Бриз» имеет принципиальные и конструктивные особенности [10], обеспечи вающие расширение диапазона и достижение точности воспроиз ведения параметров влажного воздуха, приближающейся к теоре тической [7], что и было доказано экспериментально [4]. В связи с этим «Бриз» и является той реализацией термогигростата, которая в совокупности с конденсационным гигрометром должна образовать комплекс [7, 9] для воспроизведения размера единицы влагосостояния воздуха, т. е. исходное образцовое средство измерения в поверочной схеме.

Действие термогигростата «Бриз» 1 основано на явлении насыщения водяным паром воздуха, циркулирующего над поверхностью воды или льда. Мерой влажности получающейся паровоздушной смеси служит точка росы, которая, как показано расчетным и экспериментальным путями, равна температуре в зоне термодинамического равновесия конденсированной и неконденсированной фаз воды (в зоне насыщения). Циркуляция воздуха, создаваемая турбинкой, происходит в замкнутой системе между устройством для насыщения его водяным паром (сатуратором)

и рабочей камерой (гигрокамерой).

Если общее давление в гигрокамере равно общему давлению в зоне насыщения, то точка росы в гигрокамере равна точке росы в зоне насыщения, а следовательно, измеренной температуре этой зоны. (При существенном различии общих давлений парциальное давление в камере $E_{\rm R}$ в зависимости от парциального давления $E_{\rm c}$ в сатураторе

$$E_{\kappa} = E_{c} \frac{p_{\kappa}}{p_{c}},$$

тде p_{κ} и p_{c} — значения общего давления в гигрокамере и сатура-

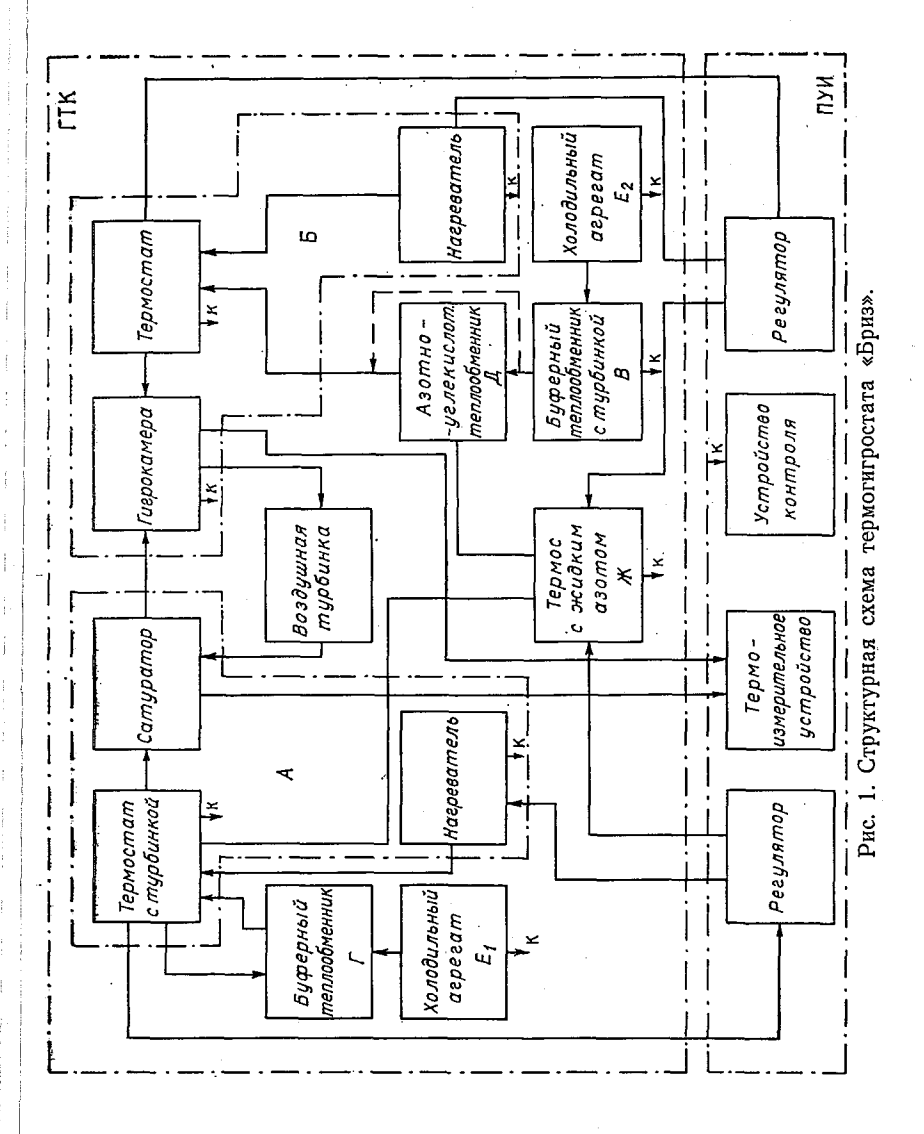
торе соответственно.)

По измеренной температуре, обращаясь к таблицам давления насыщающего водяного пара, можно найти парциальное давление водяного пара паровоздушной смеси в гигрокамере. По известным зависимостям и найденному парциальному давлению можно найти значения других параметров влажности.

Для задания необходимого значения относительной влажности ϕ (в процентах) в гигрокамере при температуре $t_{\rm k}$ в сатураторе задается и поддерживается температура $t_{\rm c}$, входящая в формулу

$$\varphi = \frac{E_{\rm c}(t_{\rm c})}{E_{\kappa}(t_{\rm k})} \cdot 100.$$

¹ Наименование «Бриз», данное термогигростату, обязано некоторому сходству процессов в нем с бризовой циркуляцией в атмосфере.



Таким образом, воспроизведение относительной влажности осуществляется методом «двух температур».

Структурная схема термогигростата «Бриз» представлена на

рис. 1.

В соответствии с принципом действия он содержит устройство для насыщения воздуха (сатуратор), гигрокамеру, воздушную турбинку, устройство термостатирования сатуратора и гигро-

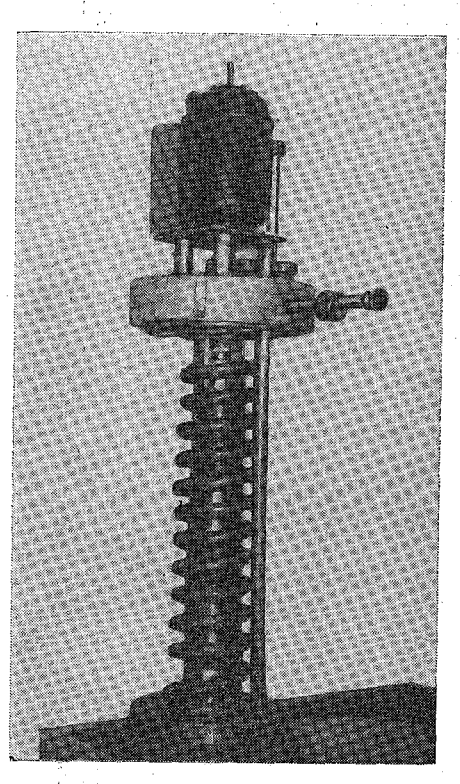


Рис. 2. Сатуратор термогигростата.

камеры, устройство для измерения температуры в гигрокамере и в сатураторе, устройства для контроля и управления ТГС «Бриз» собран из отдельных модулей, предложенных при его разработке.

Сатуратор (рис. 2) помещеп в жидкостный термостат с турбинкой, внутри этого термостата размещен электронагреватель. Все перечисленные элементы образуют модуль А. Аналогично, гигрокамера, помещеиная в другой жидкостной термостат с электронагревателем, образует модуль Б.

Размещение сатуратора и гигрокамеры в жидкостных термостатах позволяет достичь необходимого в данном случае высокого качества термо-

статирования.

Получение и поддержание значений температуры сатуратора и гигрокамеры ниже комнатных производится с помощью охлаждающих устройств, образованных помимо термостата с турбинкой ос-

тальными модулями, указанными на рис. 1.

В ТГС «Бриз» предусмотрено охлаждение различными способами: с помощью холодильных агрегатов (до $-5\,^{\circ}$ С); твердой и жидкой углекислоты (до $-30\,^{\circ}$ С); жидкого азота (до $-40\,^{\circ}$ С). Система с универсальным охлаждением создает большую гибкость в обеспечении режимов работы, исключает перебои в работе из-за перерывов в снабжении хладоагентами, а также придает автономность (благодаря применению холодильных агрегатов).

В термостате (сатураторе) с турбинкой имеется полость для помещения твердой углекислоты и испаритель в виде змеевика, в который подается жидкий азот из термоса (сосуда Дьюара)

с устройством управления подачи (модуль Ж). Охлаждение жидкости термостата сатуратора с помощью холодильного агрегата (модуль E_1) производится через буферный теплообменник (модуль Γ), в котором находится испаритель холодильного агрегата. Циркуляция жидкости между буферным теплообменником и термостатом создается турбинкой.

Охлаждение жидкости термостата гигрокамеры производится в результате поступления охлажденной жидкости из азотно-углекислотного теплообменника (модуль Д) или буферного тепло-

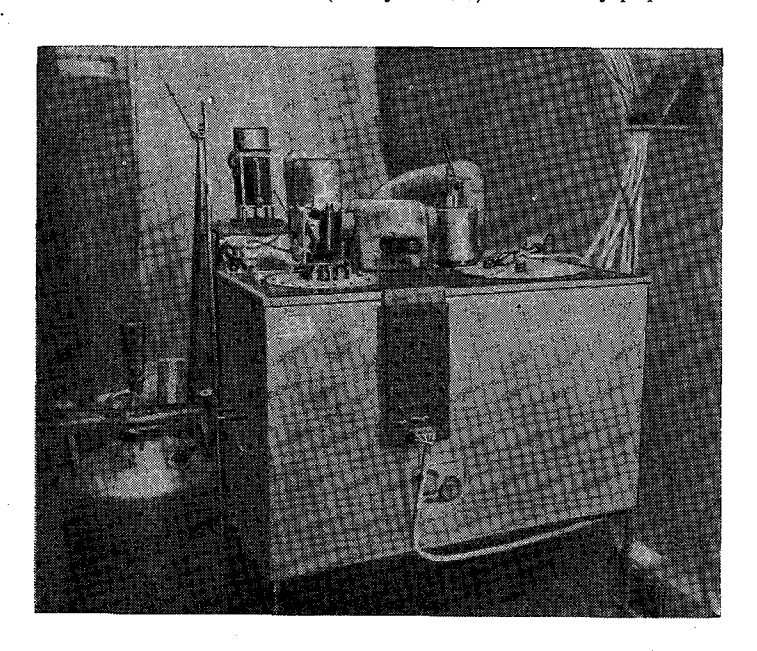


Рис. 3. Термогигрокамера (ТГК) термогигростата «Бриз».

обменника B с турбинкой, в котором находится испаритель холодильного агрегата (модуль E_2). Модуль B, \mathcal{I} и термостат блока \mathcal{B} соединены последовательно и образуют замкнутую жидкостную систему циркуляции, создаваемую турбинкой модуля B. Источниками тепла в термостатах модулей A и B являются электрические нагреватели.

Описанная часть ТГС образует термогигрокамеру (ТГК) (рис. 3). Задание требуемой температуры, автоматическое поддержание ее на заданном уровне, а также управление подачей жидкого азота из термоса производится регуляторами. Дистанционный контроль за состоянием отдельных элементов ТГК, их режимов (наличие напряжения, исправность, соответствие заданным параметрам) осуществляется устройством контроля (связи на

схеме показаны стрелками «к»). Точное измерение температурь воздуха в гигрокамере и в зоне насыщения сатуратора осущест вляется термоизмерительным устройством, состоящим из микро термисторов типа МТ-54М и мостовой схемы измерения сопротив ления.

Перечисленные устройства образуют вторую часть ТГС пульт управления и измерения (ПУИ), изображенную на фото

графии (рис. 4).

На основании длительных лабораторных исследований были найдены численные значения метрологических и эксплуатационно

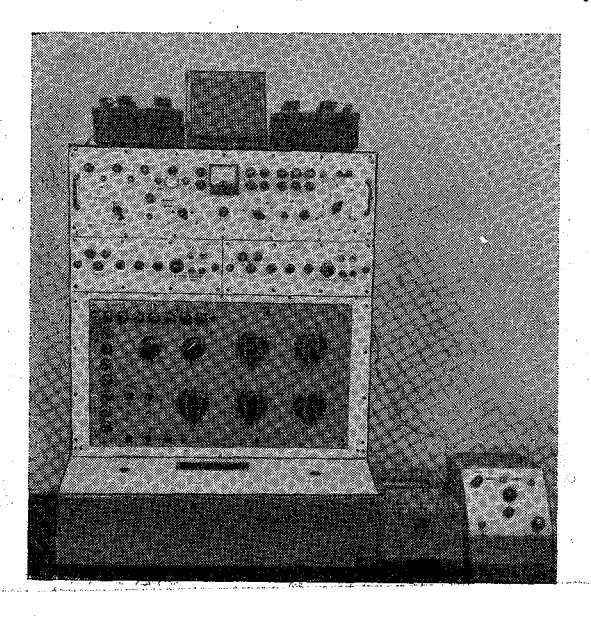


Рис. 4. Пульт управления и измерения (ПУИ) термогигростата «Бриз».

технических параметров ТГС «Бриз», которые внесены в документацию, предъявленную комиссии. Ниже указываются основные из них:

— диапазон задания и измерения точки росы паровоздушной смеси $-40 \dots +30 \, ^{\circ}\mathrm{C};$

— диапазон задания относительной влажности в гигрокамере 10—100 % при температуре в ней от —15 до +30 °C;

— предел допускаемой погрешности воспроизведения точки росы в гигрокамере составляет 0,15 °C при разности давления в сатураторе и гигрокамере не более 103 Па (100 мм вод. ст.).

— предел допускаемой погрешности измерения температуры в гигрокамере и в сатураторе 0,07°C при амплитуде колебания

з них не более 0,1 °C и пределе допускаемой погрешности граду-

тровки термисторов 0,04 °C;

— предел допускаемой погрешности воспроизведения значений относительной влажности воздуха в гигрокамере составляет 2 % от воспроизводимого значения при неравномерности температурного поля в ней не более 0,15 °C;

- время выхода на заданные значения температуры в гигрокамере и в сатураторе при охлаждении углекислотой и жидким азотом не превышает 3 ч, а при использовании холодильных агретатов 4 ч:
- питание «Бриз» производится от сети переменного тока надряжением 220 В и частотой 50 Гц;

— мощность, потребляемая от сети переменного тока при ра-

боте с включенными холодильными агрегатами, 800 В А;

- полезный объем гигрокамеры 10 л (габариты 355×290 мм); габаритные размеры $T\Gamma K 1380 \times 1550 \times 1400$ мм; $\Pi Y M = 850 \times 400 \times 650$ мм;
 - масса: ТГК не более 280 кг. ПУИ не более 50 кг;

время необходимое для получения и обработки информации:

о задаваемой влажности и температуре — не более 3 мин.

Проверка основных метрологических параметров термогигростата «Бриз» составила основу утвержденной программы метрологической аттестации. Методика испытаний базировалась на ранее выполненном анализе [7] и эксперименте [4, 5].

Несмотря на то что комиссией принимались во внимание результаты предшествующих метрологических исследований, был выполнен большой объем экспериментальных работ, предусмотренных программой аттестации: проводилась поэлементная оценка и прямое определение погрешности воспроизведения параметров влажности сравнением с образцовыми гигрометрами.

В качестве образцовых гигрометров использовались прошедшие метрологическую аттестацию Госстандарта конденсационный гигрометр (точки росы) ГГО М-116 [5] и пьезосорбционный циф-

ровой гигрометр ВНИИМ «Кварц» [10].

Первичные измерительные преобразователи названных приборов размещались непосредственно в гигрокамере и через штепсельные разъемы в крышке камеры соединялись с измерительными пультами. Для определения неравномерности температурного поля в полезном объеме гигрокамеры устанавливались спаи медьконстантановой термопары, выводы от которой через сальник в крышке гигрокамеры соединялись с гальванометром.

Предварительно перед началом аттестации были выполнены измерения перепада давления между сатуратором и гигрокамерой, а также герметичность воздушной системы. В обоих случаях использовался водяной U-образный дифференциальный манометр

При измерении перепада манометр соединялся одним концом с патрубком сатуратора, а другим — со штуцером в крышке гигро-камеры. При напряжении на двигателе воздушной турбинки 120 В (соответствующем скорости движения воздуха в змеевиках

«сатуратора и гигрокамеры 5 м/с) производились отсчеты по микроманометру. Измеренный перепад составил 600 Па (6 мбар).

Оценка степени герметичности воздушной системы ТГС пре изводилась по скорости уменьшения избыточного давления. В это случае один конец дифференциального микроманометра соеди иялся по-прежнему со штуцером гигрокамеры, а второй — с атмо сферой. Избыточное давление в воздушной системе термогигро стата создавалось с помощью ручного насоса, подсоединяемог к специальному штуцеру с вентилем, установленному в крышк гигрокамеры. Избыточное давление в 103 Па (~100 мм вод. ст. уменьшалось до нуля за 80 с, что не превышало допуска.

В связи с тем, что время выхода на заданный установившийс режим складывается из времени выхода на установившийся тер мический режим и времени установления гигростатического равновесия [3], последний параметр определялся в процессе выхол на установившийся режим перед началом метрологических срав нений. Для этого, начиная с момента установления заданной тем пературы в сатураторе и гигрокамере с интервалом 5 мин произ водились отсчеты по конденсационному гигрометру М-116 ил пьезосорбционному «Кварц». Использование указанных приборо для этой цели оправдано с метрологической точки зрения, по скольку время установления их показаний в 10—15 раз меньш времени выхода ТГС на установившийся гигротермический ре жим. В результате экспериментально проверено, что время выход на установившийся гигрометрический режим практически не зави сит от задаваемой относительной влажности и не 25 мин при положительных значениях температуры сатуратор и 40 мин при отрицательных.

С выходом ТГС на установившийся гигротермический режим производились через равные интервалы времени в течение часа одновременные измерения температуры в сатураторе и отсчеты по гигрометрам и измерение температуры в гигрокамере. Таким об разом, при различных значениях температуры и относительной влажности в гигрокамере получались серии по 10 измерений в каждой. Получение каждой серии метрологических сравнений сопровождалось измерением с помощью термопар разности температур в точках гигрокамеры, где располагались термостать

термопары. Результаты оценки точностных характеристик ТГС «Бриз» по исходным экспериментальным данным, содержащимся в протоко-

лах аттестации, представлены в сводной табл. 1.

Приведенные в ней взаимозависимые точностные параметры результатов измерений и термогигростата «Бриз» получены следующим образом. Наблюдаемое в каждой из серии измерений максимальное отклонение от среднего арифметического

$$|\delta_{t_{\mathrm{K}}}| = \max \left| t_{i_{\mathrm{K}}} - \frac{\sum_{i_{\mathrm{K}}}^{10} t_{i_{\mathrm{K}}}}{10} \right|,$$

где $t_{i\kappa}$ — измеренное i-е значение температуры в гигрокамере;

$$\left|\delta_{t_{c}}\right| = \max \left|t_{ic} - \frac{\sum_{i=0}^{10} t_{ic}}{10}\right|,$$

 t_{ic} — измеренное i-е значение температуры в сатураторе; t_{ic} — t_{ic} —

Среднее арифметическое разностей между измеренной темпетурой сатуратора t_{ic} и точкой au_{ir} росы, измеренной гигрометром

$$\overline{\Delta}_{\tau_{\mathbf{c}, \mathbf{r}}} = \frac{\sum_{i=1}^{10} (t_{i\mathbf{c}} - \tau_{i\mathbf{r}})}{10}.$$

Среднее квадратическое отклонение разностей от средней рифметической разности в серии

$$\sigma_{\tau_{\mathbf{c}, \mathbf{r}}} = \sqrt{\frac{\sum\limits_{i=0}^{10} \left[(t_{i\mathbf{c}} - \tau_{i\mathbf{r}}) - \overline{\Delta} \, \tau_{\mathbf{c}, \mathbf{r}} \right]^2}{9}}.$$

Систематическая погрешность термогигростата «Бриз» при восроизведении точки росы в гигрокамере $\Delta \tau$ (°C) получается как рловина $\overline{\Delta}_{\tau c, \tau}$. Это обусловлено тем, что в результате физико-

Таблица 1

Гочностный параметр	Средняя температура в гигрокамере $\overline{t_{\mathrm{K}}}$ $^{\circ}\mathrm{C}$							
	+28,43	+7,27	+5,33	+4,30	15,02	-15,25		
lot _K °C	0,08	0,03	0,03	0,08	0,05	0,04		
Jδt _e °C	0,04	0,05	0,08	0,07	0,08	0,06		
$ \rho_{t_{\mathrm{K}}} $ °C	0,13		0,10	0,06	0,13	0,06		
Δ̄ _{c, r} °C	+0,18	+0,06	+0,07	+0,02	+0,03	+0,05		
σ _{τc, r} °C	0,04	0,04	0,06	0,06	0,02	0,05		
Δ̄τ °C	+0,09	+0,03	+0,04	+0,01	+0,02	+0,03		
σ _{τ.} °C	0,02	0,02	0,04	0,04	0,01	0,04		
z _τ °C	0,05	0,05	0,10	0,10	0,02	0,10		
Δnτ°C	0,15	0,08	0,14	0,11	0,04	0,13		
γπφ %	0,8	0,5	0,9	0,8	0,3	1,1		
γ″ηφ %	0,4	0,4	0,5	0,5	0,6	0,6		
~ γπφ %	0,3	0,6	1,0	1,0	0,7	1,3		
γ″η %	0,7	1,0	0,7	0,5	1,0	0,5		
γπφ %	1,2	1,2	1,2	1,1	1,2	1,4		
			i	1				

Примечание. Все обозначения без индексов, содержащих буквы с, к г; относятся к камере термогигростата "Бриз".

метрологического анализа источников погрешности ТГС и ГТ [7] получено, что их систематические погрешности должны бы одинаковы (или у ГТР больше), а по знаку разные, так как ТГ имеет тенденцию к завышению, а ГТР — к занижению результа измерения. Оценка среднего квадратического отклонения от воспроизводимого ТГС «Бриз» значения точки росы получена и $\sigma_{\tau_{\rm c, \, r}}(\sigma_{\tau} = \sigma \tau_{\rm c, \, r}/\sqrt{2}\,)$ на основании предположения о самом неблаг приятном для оценки точностной характеристики ТГС соотношени дисперсий $\tau_{\rm r}$ гигрометра и $t_{\rm c}$ сатуратора $(\sigma_{t_{\rm c}} = \sigma \tau_{\rm r})$, тогдакак и анализа и экспериментальных данных $\sigma_{t_c} < \sigma \tau_{r}$. Проведенным ранее метрологическими исследованиями установлено практич ски полное отсутствие статистической связи между частными сл чайными отклонениями при измерении $t_{\mathbf{c}}$ и $\tau_{\mathbf{r}}$. Поэтому коэфф циент корреляции $K_{\rm c,\,r} = 0$ в формуле $\sigma_{\tau_{\rm c},\,r} = \sqrt{\sigma_{\tau_{\rm r}}^2 + 2K\sigma_{\tau_{\rm r}}\sigma_{t_{\rm c}} + \sigma_{t_{\rm c}}}$ откуда $\sigma_{\tau_{c, \Gamma}} = \sqrt{\sigma_{\tau_{r}}^{2} + \sigma_{t_{c}}^{2}}$, а учитывая, что $\sigma_{\tau_{r}} = \sigma_{t_{c}}$, $\sigma_{\tau_{c, \Gamma}} = \sqrt{2\sigma_{t_{c}}^{2}}$ $=\sqrt{2\sigma_{c}^{2}}=\sqrt{2\sigma_{c}}$. Согласно распределения Стьюдента для числ измерений в серии n=10 и доверительной вероятности P=0,9коэффициент доверительного интервала v=2,26, следовательно границы доверительного интервала значений точки росы при вос произведении этой величины в ТГС «Бриз» $z_{\tau} = v\sigma_{\tau}$; предел допу скаемой погрешности воспроизведения точки росы в ТГС «Бриз $\Delta_{\pi_{\tau}} = \Delta_{\tau} + z_{\tau}$; соответствующая этому пределу составляющая пре дела относительной погрешности воспроизведения относительно влажности $\gamma_{\varphi}' = \frac{L}{k} \cdot \frac{\Delta_{\pi^{\tau}}}{T_{-}^{2}}$ [7] и может быть получена из табл. в [7].

Составляющая предела допускаемой относительной погрешности воспроизведения относительной влажности в гигрокамер ТГС «Бриз» вследствие погрешности измерения температуря в гигрокамере (предел допускаемой погрешности 0,07 °C) $\gamma_{\varphi}^{"}$ оце нивается аналогично. Предел допускаемой относительной погрешности воспроизведения относительной влажности в какой-либ точке гигрокамеры ТГС «Бриз» $\gamma_{\varphi} = \sqrt[]{(\gamma_{\pi\varphi}')^2 + (\gamma_{\varphi}'')^2}$. Относительная погрешность $\gamma_{\pi\varphi}^{"'}$ воспроизведения относительной влажност в гигрокамере, вызванная неравномерностью $|\rho_{t\kappa}|$ температурного поля в ней, оценивается так же, как $\gamma_{\pi\varphi}'$ и $\gamma_{\pi\varphi}^{"'}$.

В итоге предел допускаемой относительной погрешности вос произведения относительной влажности в любой точке полезног объема гигрокамеры составляет

$$\gamma_{\pi\,\phi} = \sqrt{\left(\widetilde{\gamma}_{\pi\,\phi}\right)^2 + \left(\gamma_{\pi\,\phi}^{'''}\right)^2}.$$

Как видно из табл. 1, экспериментально полученные в про цессе метрологической аттестации ТГС «Бриз» количественны оценки точностных параметров нигде не выходят за допускаемы

ределы, указанные в эксплуатационно-технической документации. Частности полученная суммарная относительная погрешность оспроизведения относительной влажности $\gamma_{\pi,\phi}$ (последняя строка абл. 1) согласуется с прямой экспериментальной оценкой этой огрешности, полученной с помощью гигрометра «Кварц». Наирлышее значение разности между воспроизводимой в ТГС отночтельной влажностью и результатом измерения гигрометром Кварц» по всему множеству результатов измерений составило $\varphi = +0.8\%$ при $\varphi = 45\%$. Следовательно, наибольшее значение гносительной погрешности воспроизведения относительной влажости составило $\gamma_{\phi} = \frac{\Delta_{\phi}}{\varphi} = \frac{0.8}{45} \times 100\% = 1.8\%$. Таким образом, бе независимые экспериментальные оценки относительной порешности воспроизведения относительной влажности в ТГС

Комиссией был дан ряд рекомендаций, касающихся внешнего ида и удобства эксплуатации термогигростата. К настоящему мо-

Бриз» подтверждает, что предел допускаемой относительной порешности воспроизведения относительной влажности составля-

енту эти рекомендации полностью выполнены.

Как указано в Акте о метрологической аттестации, «...комиссия становила, что по основным метрологическим характеристикам диапазоны и погрешности получаемых параметров влажности рздуха) ТГС «Бриз» соответствует предъявляемым к нему треованиям и требованиям рекомендаций СЭВ РС 3118-71» и рекоендовала установить межповерочный интервал для ТГС Бриз» 1 г.

Рекомендовано также провести работу в специализированной рганизации Минприбора с целью серийного изготовления термо-

игростатов на основе «Бриз».

r 2 %.

Метрологическая аттестация ТГС «Бриз» является важным гагом на пути реализации локальной поверочной схемы Госком-

идромета для средств измерений влажности воздуха.

Выполнение насыщенной программы метрологической аттестаии в короткий срок оказалось возможным также благодаря ктивной работе членов комиссии Е. А. Гершкович (НПО НИИМ) и В. Т. Сополькова (СКБ ГМП).

Метрологической аттестации предшествовала большая подгоовительная работа, в которой на разных этапах принимали учатие сотрудники отдела метрологии ГГО: Б. В. Куров, Т. А. Буаченко, А. Ю. Рябов, Т. П. Доманькова, В. В. Чистобородов.

Этой работе и организации метрологической аттестации соействовал Н. П. Фатеев, ответственный исполнитель от ГГО едиого межведомственного координационного плана метрологичекого обеспечения Госкомгидромета.

СПИСОК ЛИТЕРАТУРЫ

1. Беспалов Д. П., Школяр Л. Ф. Характеристики влажности возд ха и оценка погрешности их определения. — Труды ГГО, 1974, вып. 3 c. 31-63.

2. Гершкович С. Н. Создание образцового частотно-цифрового гиг

метра. Изм. техника, 1975, № 10, с. 85-87.

ГОСТ 8.001—71. Организация и порядок проведения государствени

испытаний средств измерений. М.: Изд-во стандартов, 1976.

4. Леонова Л. Й., Резников Г. П., Рогалев Ю. В. Статическ оценки погрешностей образцовых средств измерения влажности воздуха, вход щих в состав поверочной схемы Гидрометслужбы.— Труды ГГО, 1975, вып. 34 c. 77-83.

5. Методика и результаты метрологических сравнений гигрометра тоф росы и генератора паровоздушных смесей («стенда вымораживания»)/Резі ков Г. П., Колышев Н. Д., Качкачишвили Л. Д., Куров Б. В.— Труды ГГ 1977, вып. 392, с. 36—46. 6. Му 8.7—77. Методические указания по проведению метрологическ

аттестации средств измерений.— М.: Изд-во стандартов, 1976.

7. Резников Г. П. Анализ физических процессов и погрешностей гигр метрического комплекса, основанного на термодинамическом принципе. Тру

ГГО, 1973, вып. 300, с. 15—39.

8. Резников Г. П. Физические и метрологические обоснования систем обеспечения единства измерений влажности воздуха в метеорологии.— Тези докладов на Пятой Всесоюзной научно-технической конференции по измер нию влажности. Кутаиси, 1973.

9. Резников Г. П., Фатеев Н. П. Воспроизведение и передача ра мера единицы влажности воздуха при метеорологических измерениях. — Труд

ГГО, 1974, вып. 340, с. 57—75.

10. Резников Г. П., Фатеев Н. П. Термогигростаты для системы об спечения единства измерений влажности воздуха и температуры.— Труды ГГ 1975, вып. 345, с. 67—76.

Н. Н. Климан, Г. П. Резников, Б. И. Толстухин, Н. П. Фатеев, Л. А. Ядова

РАЗРАБОТКА И ИССЛЕДОВАНИЕ МЕТОДИКИ ГРАДУИРОВКИ И ПОВЕРКИ ПНЕВМОАНЕМОМЕТРА ДЛЯ ИЗМЕРЕНИЯ СКОРОСТИ АСПИРАЦИИ ПСИХРОМЕТРОВ

Погрешность аспирационных психрометров зависит от многих ричин. Важнейшей из них является отклонение скорости аспираци, от номинальной (2 м/с), которой соответствует психрометриеский коэффициент 662·10⁻⁶ K⁻¹, принятый при расчетах психометрических таблиц. Зависимость психрометрического коэфрициента, а, следовательно, и погрешности аспирационных сихрометров от скорости аспирации выявлена экспериментально [5]. Из полученных там результатов следует, что погрешности измерения скорости аспирации и допускаемым отклонениям ее от юминального значения следует уделять большое внимание. Приметяемое в настоящее время средство измерения скорости аспирации в дсихрометрах именуется установкой ПО-30.

Установка ПО-30 предназначена для измерения скорости воздушного потока в диапазоне (0,5—5,0) м/с в узких каналах, главным образом, для измерения скорости аспирации в аспирацион-

ных психрометрах.

Измерение скорости потока этой установкой основано на одновначной связи между скоростью, с одной стороны, создающимся разрежением и аэродинамическим сопротивлением в канале, с другой стороны, иначе говоря

$$V = f(P, R), \tag{1}$$

где V— скорость потока, $P = p_{\text{изм}} - p_a$ — разрежение, т. е. разность между давлением в точке измерения $p_{\text{изм}}$ и атмосферным давлением p_a , R_a — аэродинамическое сопротивление.

В соответствии с этим принципом установка содержит 3 элемента: микрозонды из капиллярной трубки, микроманометр и гибкие соединительные шланги для соединения микрозондов с микроманометром.

Здесь следует отметить, что используемое до настоящего м мента принятое название «установка» неправомерно, поскольк и состав, и назначение рассматриваемого средства измерения отвечают содержанию этого понятия, принятому в стандарте [1] Поскольку данное средство измерения предназначено для изм рения скорости воздушного потока, то оно является анемометрой В соответствии с правилами образования названий анемометро первой частью термина служит наименование физического при ципа или метода, положенного в основу его принципа действи (например, термоанемометр). На этом основании ПО-30 в стать (а впредь в нормативно-технической документации) называетс пневмоанемометром. Оснований для изменения индекса ПО-3 нет, поскольку данный пневмоанемометр следует относить к по верочному оборудованию (для которого и введено обозначени ПО). Таким образом, окончательное название: «Пневмоанемомет ПО-30 для поверки аспирационных психрометров».

При существующей методике поверки ПО-30 связь между и P отождествляется с разрежением, возникающим при установ ке трубки Пито вниз по потоку (т. е. когда динамическое отверстие находится в аэродинамической тени). В этом случае в уравнение связи между P и V входит аэродинамический коэффицнен насадки (микрозонда), который определяется опытным путех с применением образцовой трубки Пито. Микроманометр же, входящий в комплект установки, подвергается градуировке или по верке с помощью гидростатических весов. К очевидной трудоем кости такой методики поверки прибавляется еще и недостаточная метрологическая обеспеченность как средств измерений скорости потока в диапазоне 0—5 м/с, так и гидростатических весов.

Возникает необходимость в замене существующей методикт более совершенной в отношении трудоемкости и в особенности

в отношении метрологической обеспеченности.

В поисках такой методики следует обратить внимание на два обстоятельства: 1) между средней по сечению скоростью потока в канале, сечением канала и расходом (объемной скоростью) существует однозначная связь

$$V = \frac{v}{S} = \frac{Q}{t \cdot S},\tag{2}$$

где v — расход, S — сечение канала, Q — количество газа, прошедшее через сечение S за время t; 2) измерение расхода может быть осуществлено серийно выпускаемыми ротаметрами или косвенным методом с помощью серийно выпускаемых газовых счетчиков и секундомеров. Все названные средства измерения метрологически обеспечены.

Имея систему уравнений (1) и (2), в которой P, v и S определяются инструментально, можно определить параметры уравнения V = f(P) для неизвестного, но вполне определенного и неизменного значения R. Последнее условие означает, что параметры зависимости V = f(P) принимают конкретные значения для канала

нкретного вида (обладающего конкретным $R_{
m a}$). Применительно ПО-30, используемого для поверки аспирационных психрометв, это условие еще более уточняется и означает, что схема граировки и поверки этой установки должна включать в себя эквилент аспирационного психрометра. Лучшим эквивалентом $R_{\rm a}$ пирационного психрометра является сам психрометр, вернее, сть его без аспиратора. Значение $R_{\rm a}$ мало изменяется от одного земпляра психрометра к другому, что объясняется слабой завимостью между $R_{\rm a}$ и отклонениями формы, свойств внутренней верхности и геометрических размеров каналов аспирации отльных экземпляров психрометров. К тому же допуски невелики выдерживаются хорошо. Вследствие этого в качестве эквивален-Ra может быть взят любой экземпляр из производственной рии психрометров. Определение номинальной статической граировочной характеристики ПО-30 как измерителя скорости пока в канале с аэродинамическим сопротивлением $R_{\rm a}$ сводится, аким образом, к установлению экспериментальным путем соотетствия значений P по микроманометру пневмоанемометра [О-30 значениям скорости, полученной по формуле (2), т. е.

$$P = f(V) = f\left(\frac{v}{S}\right) = f\left(\frac{Q}{t \cdot S}\right),\tag{3}$$

це $Q=v\cdot t$ — суммарный объем воздуха, прошедший по каналу сихрометра за время t и зарегистрированный газовым счетчиком. Сечение S складывается из поперечных сечений зазоров, обраованных резервуарами термометров и цилиндрическими экранати внутренней и внешней радиационной защиты (рис. 1), за вычеом сечения зондов пневмоанемометра Π O-30, τ . e.

$$S = S_{\text{cyx}} + S_{\text{far}} - 2S_3, \tag{4}$$

де $S_{\text{сух}}$ — площадь сечения канала сухого термометра; $S_{\text{бат}}$ — лощадь сечения канала смоченного термометра, обернутого баистом; S_3 — площадь поперечного сечения зонда ПО-30.

Погрешность задания скорости V, согласно формуле (2), опре-

деляется погрешностью измерения Q, t и S.

В худшем случае относительная погрешность $\delta_{
m r} V$ задания скости V (представляющая собой погрешность градуировки)

$$\delta_{\mathbf{r}}V = \frac{\Delta V}{V} = \left|\frac{\Delta Q}{Q}\right| + \left|\frac{\Delta t}{t}\right| + \left|\frac{\Delta S}{S}\right| = \delta Q + \delta t + \delta S. \tag{5}$$

Исходя из выявленных при анализе погрешностей аспирационного психрометра требований к точности задания и измерения скорости аспирации ($\pm 0,1$ м/с) и принимая во внимание номинальное значение этой скорости (2 м/с), получим, что предел допускаемой относительной погрешности, выраженной в процентах, $\delta V_{\Pi O} = \frac{0,1\cdot 100}{2} = 5$. Эта погрешность включает в себя погрешность $\delta_{\rm R} V$ градуировки (или поверки) ΠO -30 и погрешность $\delta_{\rm R} V$ измере-

ния скорости с помощью ΠO -30 (зависящую от случайных фактров и нестабильности элементов ΠO -30 во времени), $\delta V_{\Pi O}$, след вательно, необходимо распределить между этими двумя соста ляющими

$$\delta V_{\Pi O} = \sqrt{(\delta_{\Gamma} V)^2 + (\delta_{M} V)^2}.$$

Если принять погрешность $\delta_{\rm M}V$ = 4,5 %, а $\delta_{\rm r}V$ = 2,5 %, то польз ясь последней формулой (6), можно убедиться, что суммарная п грешность $\delta V_{\rm ПО}$ не превышает указанных 5 %. При этом, соотн шение между погрешностями поверяемого и образцового средс измерения равно двум $\left(\frac{\delta V_{\rm ПО}}{\delta_{\rm r}V} = \frac{5.0}{2.5} = 2.0\right)$.

Рассмотрим распределение погрешности $\delta_{\bf r} V$ между ее соста ляющими. Относительная погрешность определения площади

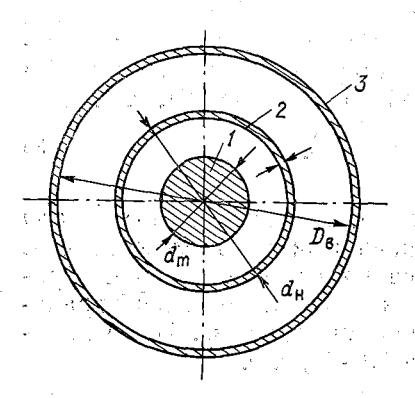


Рис. 1. Сечение одного из аспирируемых каналов психрометра.

сечения канала прямо пропорци нальна погрешности определени линейных размеров (радиуса *r* ил диаметра 2 *r*)

$$\delta S = 2 \frac{\Delta r}{r} = 2 \delta r. \tag{}$$

Измерение диаметра порядка 5 м может быть выполнено штанге циркулем или микрометром с абсолютной погрешностью, не превышающей 0,02 мм. Следовательно, от носительная погрешность определения площади соответствующего сечения, выраженная в процентах превысит значения $\delta S = 2 \cdot \frac{0.02}{5} \times 100 = 0.8$.

Относительная погрешность из мерения временного промежутка с помощью секундомера умень шается с увеличением этого промежутка, так как абсолютная по грешность его измерения остается постоянной и зависит лищь о синхронности выполнения отсчетов по газовому счетчику и включения и выключения секундомера, т. е. $\Delta t \leq 0.2$ с. Для того, чтобь δt сделать пренебрежимо малой, можно принять t порядка 100 с тогда $\delta t = \frac{0.2}{100} \cdot 100 = 0.2$.

Относительная погрешность измерения суммарного расхода определяется классом газового счетчика. Широко допускаемые и метрологически обеспеченные серийные счетчики имеют класс 2,5.

Считая погрешности δQ , δS и δt независимыми, получим, что суммарная погрешность

$$\delta V = V \overline{\delta^2 Q + \delta^2 S + \delta^2 t} = V \overline{(2.5)^2 + (0.8)^2 + (0.2)^2} = 2.6.$$
 (8)

Отсюда видно, что при использовании оценок δS_n и δt погрешсть задания скорости практически полностью определяется класм газового счетчика (наибольший допускаемый в данном слуе класс 2,5).

В мае 1976 г. было выполнено несколько серий метрологичеих сравнений градуировочной характеристики пневмоанемомет-ПО-30, полученной существующим способом, со значениями оростей потока, задаваемых рассмотренным методом.

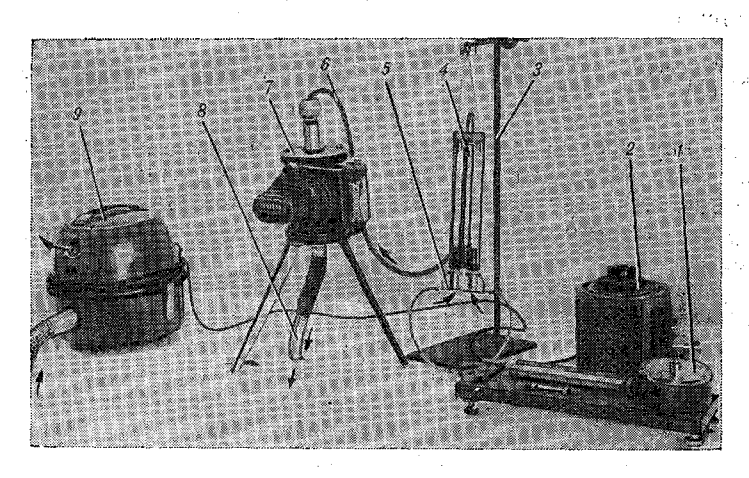


Рис. 2. Внешний вид установки для поверки пневмоанемометра.

I — микроманометр установки Π O-30; 2 — регулятор напряжения (ЛАТР) на побудителе расхода; 3 — штатив; 4 — измерительная часть психрометра аспирационного (аспиратор снят); 5 — микронасадки с соединительными шлангами от Π O-30; 6 — шланг, соединяющий аспирационный канал психрометра с веасывающим патрубком газового счетчика; 7 — газовый счетчик; 8 — шланг, соединяющий выход газового счетчика с побудителем расхода; 9 — побудитель расхода (пылесос).

Схема соединений измерительных приборов и вспомогательных стройств показана на рис. 2. Стрелками указано направление оздушного потока.

В качестве газового счетчика класса точности 2,5 использоался счетчик типа РГ 40-1 (ГОСТ 8700 — 65), изготовленный 1973 г.; для измерения временных промежутков применялся екундомер Златоустовского часового завода (№ 3357).

Задание необходимых значений скорости потока производилось подачей определенного напряжения на побудитель расхода лабораторного автотрансформатора, включенного непосредитвенно в электросеть.

Колебания напряжения в электросети находились при экспеиментах в допустимых пределах (—15 ... +10 % от номинального значения 220 В). Температура в помещении составляла +18+20°C, давление 763—765 мм рт. ст. при весьма слабой полож тельной тенденции (наблюдаемой по записи на барографе).

Перед началом экспериментов с помощью спиртомера измена плотность заливаемого в микроманометр ПО-30 спирта, кограя совпала с плотностью, указанной для условий градуиров микроманометра.

Площадь сечения канала для воздуха на уровне середи длины резервуаров термометров определялась эксперименталь расчетным путем. Как видно из рис. 1, сечение канала для во духа равно

$$S = \frac{\pi}{4} \left(D_{\scriptscriptstyle \rm B}^2 - d_{\scriptscriptstyle \rm H}^2 + d_{\scriptscriptstyle \rm B}^2 - d_{\scriptscriptstyle \rm T}^2 \right) = \frac{\pi}{4} \left[D_{\scriptscriptstyle \rm B}^2 - d_{\scriptscriptstyle \rm H}^2 + (d_{\scriptscriptstyle \rm H} - 2\,\rho)^2 - d_{\scriptscriptstyle \rm T}^2 \right],$$

где $D_{\rm B}$ — внутренний диаметр внешнего цилиндра радиационн защиты, $d_{\rm H}$ — наружный диаметр внутреннего цилиндра, $d_{\rm B}$ — вну ренний диаметр внутреннего цилиндра, $d_{\rm T}$ — наружный диамерезервуара термометра, ρ — толщина стенки внутреннего плиндра.

Площадь сечения при наличии батиста на резервуаре терм метра на 2 мм² меньше, чем в его отсутствие, учет площади сеч ния микрозондов дает уменьшение еще на 2 мм². Суммарная пл щадь сечения (для обоих каналов) по результатам многократны измерений штангенциркулем, составила 295 мм² (без батиста), с поправкой на площадь сечения микрозондов.

Желаемое значение скорости задавалось вращением ручи автотрансформатора до тех пор, пока показание микроманометр ПО-30 не устанавливалось соответствующим по градупровочно таблице требуемому значению скорости.

Отсчетное устройство газового счетчика позволяет производит измерения дискретностью 0,001 м³, т. е. 1 литр. Одному литр соответствует одно наименьшее деление на крайнем правом вр щающемся барабане. В момент, когда неподвижная риска совм щалась с риской на барабане, соответствующей количеству, кра ному десяти, включался секундомер и записывалось показани счетчика (цифры справа от запятой) в литрах. В момент, когд показание счетчика увеличивалось ровно на 50 л, секундоме останавливался и записывалось его показание t, а также показ ние микроманометра ПО-30.

Таким образом, поскольку в данных экспериментах значени S и v остаются неизменными, то значение V_r задаваемой скорост (м/с) может определяться более простым выражением, заменяющим (2)

$$V_{\rm r} = B \cdot t^{-1},\tag{10}$$

где t — показание секундомера (c), B = 169,5 м.

Повышенные требования к точности измерения V в данно случае, позволяют воспользоваться формулами (2) и (10) в и непосредственном виде только для нормальных условий (P_6

=760 мм рт. ст. и $t_p = +20\,^{\circ}\text{C}$). Это связано с тем, что применяеый здесь счетчик РГ-40 градуирован при указанных условиях. поскольку он фиксирует не массовый, а объемный расход, то ля приведения его показаний к нормальным условиям градуировя, эти показания (v_p) необходимо, согласно документации, умноить на поправочный множитель K

$$v_{\rm H} = v_{\rm p} \cdot K, \tag{11}$$

це $v_{\scriptscriptstyle
m H}$ — показания счетчика для нормальных условий.

Поскольку воспроизводимые значения скорости V_r пропорциоальны v_H , то это, соответственно отразится на формуле (10)

$$V_r = B \cdot K \cdot t^{-1}. \tag{12}$$

Поправочный множитель рассчитывается по формуле (13), приодимой в документации на счетчик,

$$K = 0.3855 \cdot \frac{P_6 + P_r}{273.16 + t_p},\tag{13}$$

де P_6 — атмосферное давление (мм рт. ст.), P_r — разность межу давлением на входе и давлением на выходе счетчика (мм рт. т.), t_p — температура, которую имеет счетчик (°C) (равна тем-

ературе помещения, где он установлен).

Необходимость учета отклонения атмосферного давления температуры в помещении от их значений, принятых за нормальюе, видна из табл. 1. Как видно из таблицы, пренебрежение этими отклонениями было бы существенным. Так при P_6 —755 мм рт. т. и t_p =+25 °C K=0,98, т. е. пренебрежение поправочным множителем приводит к завышению воспроизводимого значения сколости на 2 %.

Для условий, в которых проводились эксперименты, поправоч-

ный множитель практически оставался равным единице.

Результаты измерений и расчетов записывались в таблицу (см. сабл. 2).

Всего было выполнено пять циклов сравнений. Каждый цикл содержал по три сравнения для четырех разных значений скоро-

 $\it T$ аблица 1 $\it 3$ начения коэффициента $\it K$ для различных $\it P_{\rm 0}$ и $\it t_{\rm p}$

4 %C	Р _б мм рт. ст						
t _p °C	750	755	760	765	770		
30	0,955	0,962	0,968	0,975	0,981		
25	0,971	0,978	0,984	0,991	0,997		
20	0,988	0,995	1,001	1,008	1,014		
+15	1,005	1,0012	1,019	1,035	1,032		
+10	1,023	1,030	1,037	1,043	1,050		
4.1	j	1		Î			

сти потока при ходе на повышение и при обратном ходе скорос на понижение. Для каждого из этих трех сравнений вычисляло среднее значение $\overline{\Delta}$ разностей Δ . На рис. 3 представлены наиб лее типичные результаты. Как это следует из результатов исследований психрометра [5], скорость аспирации должна находит ся в пределах 1,9—2,2 м/с, что, вообще говоря, должно опредлять диапазон измерений пневмоанемометра ПО-30. Однаг исследования проведены в более широком диапазоне 1,6—3,2 м/с

Пример записи результатов и расчетов

Таблица

n_V л	<i>t</i> c	V _{г, с} м/с	и _{ПО} (деления шкалы)	V _{ПО} м/с	Δ м/с
020	0		28,5		
070	69	2,48	28,5	2,42	-0,06
100	0	2,51	29,0	0.44	0.07
150.	68	2,01	29,0	2,44	-0.07
200	0	2,48	29,0	2,44	-0,04
250	69	2,40	29,0	2,44	-0,04

Примечание. Здесь n_V — начальное и конечное показания газовог счетчика; t — начальное и конечное показания секундомера; V_r — воспроизводимая скорость, полученная после подстановки t в формулу (12); $n_{\rm IO}$ — на чальный и конечный отсчет по микроманометру пневноанемометра ПО-30 $V_{\rm IO}$ — скорость потока, соответствующая среднему арифметическому из эти отсчетов по микроманометру, взятая из таблиц градуировки пневмоанемометр ПО-30 существующими методами; Δ — разность между скоростью, измеренног пневмоанемометром ПО-30, ($V_{\rm IO}$) и воспроизводимой скоростью V_r , с.

Из рис. З видно, что какое-либо четко выраженное отличие при ходе скорости на повышение от $\overline{\Delta}$ при ходе на понижение от сутствует и что в диапазоне допускаемых значений скорости аспи рации (1,9-2,2 м/c) Δ не превышает $\pm 0,04 \text{ м/c}$. Анализируя по ведение $\overline{\Delta}$ во всем диапазоне скорости (1,6—3,2 м/с), можно отметить совершенно явную детерминированную зависимость между $\overline{\Delta}$ и V. Можно было бы аналитически определить параметры этой зависимости, построив уравнение регрессии. Однако для круга решаемых здесь задач этого не требуется. Такое поведение Δ в зависимости от V может быть связано с тем, что при измерении скорости с помощью ПО-30 учитывается разность между атмосферным давлением и динамическим, в то время как измерение скорости посредством обычной трубки Пито и микроманометра связано с учетом лишь разности между статическим и динамическим давлением в зоне расположения трубки [3]. До сих пор это различие не обнаруживало себя, по-видимому, в связи с использованием ПО-30 в ограниченном диапазоне значений скорости (1,7-2,7 м/c) аспирации психрометров, при поверке которых пневмоанемометр главным образом и применяется. Из экспериментальных данных следует, что в этом диапазоне средние разности $\overline{\Delta}$ непревышают $\pm 0.07 \text{ м/c}$.

Проверка с использованием известных статистических критериев показала, что расхождения в значениях Δ , соответствующих примерно одному значению скорости во всех циклах, не являются статистически значимыми. Таким образом, Δ разных циклов относятся к одной статистической совокупности, каждая из которых содержит по 15 элементов (дискретных значений Δ). Средние квадратические отклонения от среднего в этих совокупностях состави-

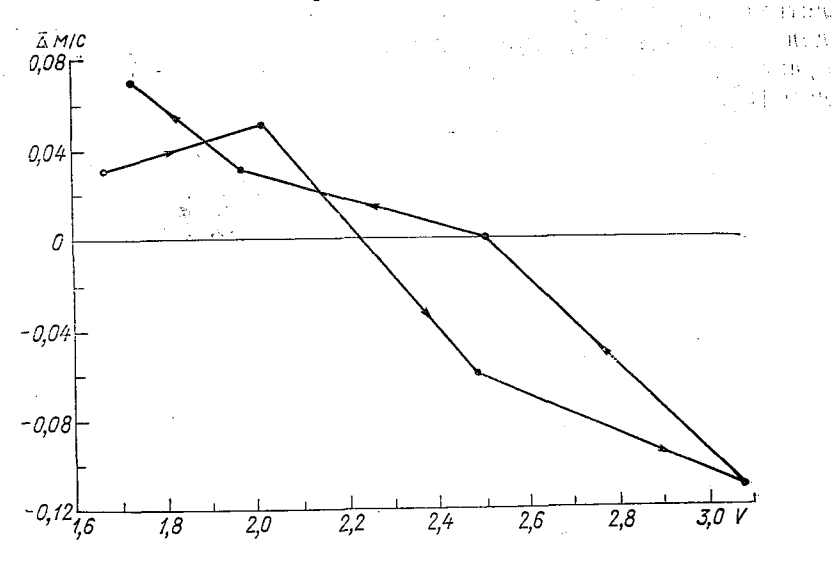


Рис. 3. Зависимость среднего значения разности Δ от скорости аспирации.

ли 0,01. Согласно распределения Стьюдента при доверительной вероятности p=0,95, доверительный коэффициент для числа дискретных значений n=15 доверительный коэффициент v=2,13. Следовательно, верхняя граница значений $\overline{\Delta}$ составит $\pm 0,19$ м/с. Расчетная оценка погрешности градуировки пневмоанемометра ПО-30 существующим методом приводит к значению 2,5—3,0 %, т. е. предлагаемый метод (8) одинаков по точности с существующим. Поэтому средние разности $\overline{\Delta}$ можно считать суммой двух одинаковых систематических для какой-либо V погрешностей. Следовательно, по экспериментальным данным погрешность градуировки новым методом составляет $\pm 0,04$ м/с в указанном диапазоне скоростей. Для нижней границы (1,7 м/с) этого диапазона погрешность в процентах относительно измеряемой величины со-

«ставляет $\frac{0.045}{1.7} \cdot 100 = 2.6$. Это наибольшее значение погрешности действительно практически совпадает с расчетной оценкой по-

грешности по формуле (8).

Таким образом, расчетным путем показано, а экспериментальным подтверждено, что статическая погрешность градуировки и поверки пневмоанемометра ПО-30 с помощью предлагаемой методики составляет 2,5 % в диапазоне скорости 1,7—2,7 м/с. По простоте метрологической обеспеченности и производительности методика обладает преимуществами перед существующей. Кроме того, поскольку условия измерений в дальнейшем мало отличаются от оптимальных условий рассмотренной методики градуировки и поверки, то погрешность измерения будет в основном определяться погрешностью градуировки и заведомо не превысит предельное значение 0,1 м/с в указанном диапазоне. Приведенные результаты совпадают с полученными ранее независимым методом [2].

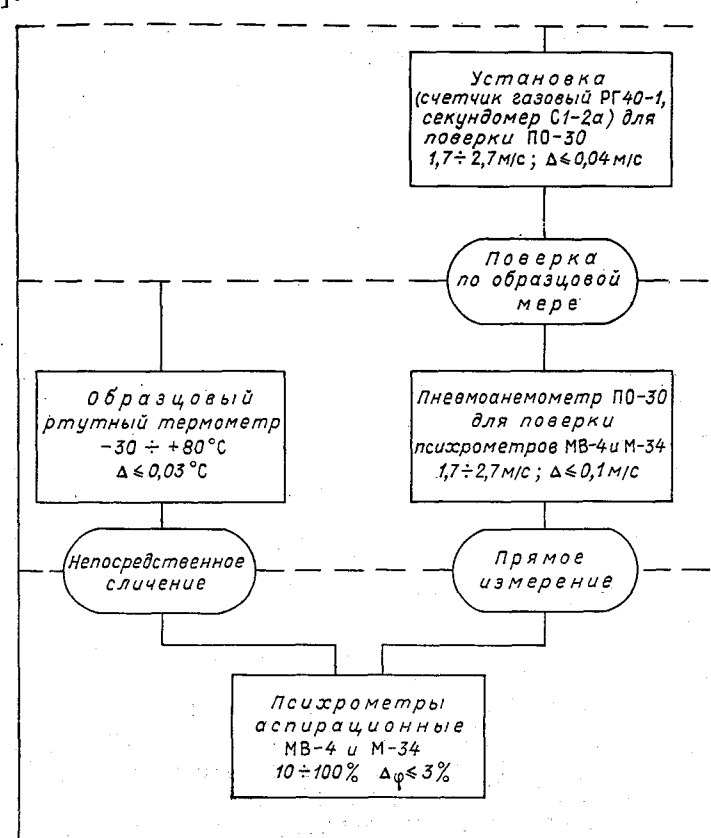


Рис. 4. Участок поверочной схемы для средств измерения влажности, отражающий метрологическое обеспечение психрометра аспирационного.

Выполненная работа позволяет конкретизировать и реализовать ту часть локальной поверочной схемы для средств измерения влажности воздуха [4], которая связана с метрологическим обеспечением психрометров аспирационных МВ-4 и М-34. Она приведена на рис. 4. Из нее видно, что пневмоанемометр ПО-30 фактически подвергается, согласно описанному методу, поверке по образцовой многозначной мере, воплощенной в виде установки (рис. 2), содержащей в качестве измерительных приборов газовый счетчик и секундомер. Эта ветвь поверочной схемы, по-существу, должна являться частью поверочной схемы для средств измерения скорости воздушного потока, аналогично тому, как образцовый ртутный термометр, применяемый при передаче единицы температуры термометрам психрометра, (левая ветвь приводимой схемы), является частью поверочной схемы для средств измерения температуры.

СПИСОК ЛИТЕРАТУРЫ

1. ГОСТ 16263-70. Метрология. Термины и определения.— М.: Изд-во стандартов, 1970, с. 52.

2. Каменева А. И. Погрешности поверки аспирационных психрометров.—

Труды ГГО, 1951, вып. 25 [87], с. 37—48.

3. Повх И. А. Аэродинамический эксперимент в машиностроении. — М.:

Машгиз, 1959.—252 с. 4. Резников Г. П., Фатеев Н. П. Воспроизведение и передача размера единицы влажности воздуха при метеорологических измерениях. Труды ГГО, 1974, вып. 340, с. 107—117.

5. Экспериментальные исследования аспирационных психрометров./ Леонова Л. И., Ядова Л. А., Климин Н. Н. и др.— Труды ГГО, 1973, вып. 414,

c. 58—82.

ОБОСНОВАНИЕ МЕЖПОВЕРОЧНЫХ ИНТЕРВАЛОВ НЕ ДЛЯ ОБРАЗЦОВЫХ БАРОМЕТРОВ УГКС

en la seria de la companya empleta esta la seria de la companya della companya de

The second secon

Определение оптимальных межповерочных интервалов (МПИ) имеет особенно важное значение для образцовых средств измерений, так как они используются для поверок рабочих средств измерений (СИ). Наличие даже незначительного количества неисправных образцовых средств измерений может повлечь за собой нежелательные результаты. Установление необоснованно коротких МПИ связано со значительными материальными затратами на поверку данных СИ, кроме того, это приводит к интенсивной эксплуатации рабочих эталонов, что в свою очередь отрицательно сказывается на стабильности поддержания метрологических характеристик эталонов и приводит к преждевременному их износу.

Стабильность поправок для образцовых СИ значительно зависит от квалификации поверителей и от их субъективных возможностей. При наличии коротких МПИ смена поверителей, как правило, происходит чаще, чем при более длительных МПИ и приводит к значительно большему разбросу поправок аттестуемых приборов. Поэтому задача оценки погрешности, связанной с различной квалификацией поверителей тесно связана с определением оптимальных МПИ.

Точный расчет МПИ можно осуществить только в том случае, если определена функция распределения работы прибора без метрологических отказов (MO) при отсутствии поверок и ремонтов [5].

Практически определить функцию распределения времени работы прибора без МО можно лишь изучив все процессы, оказывающие существенное влияние на работу приборов в течение всего

периода эксплуатации.

Для образцовых барометров УГКС, используемых в качестве основных и рабочих, и практически работающих в настоящее время без метрологических отказов в среднем в течение 26 лет, функцию распределения времени работы барометров без МО можно в первом приближении представить распределением изменения

величин поправок во времени при отсутствии поверок и ремонтов.

Данная зависимость позволит выявить период времени, за который изменение величин поправок может достигнуть предельно

допустимой величины.

Основными источниками скрытых метрологических отказов образцовых барометров являются изменения, возникающие в результате постепенно развивающихся процессов, вызывающих ухудшение метрологических характеристик данных приборов. К ним в первую очередь относится процесс загрязнения коротких

колен барометров, вызванных окислением ртути.

Процесс загрязнения окислами ртути короткого колена барометра сначала протекает медленно, что незначительно сказывается на метрологических характеристиках барометров, затем его интенсивность возрастает, что приводит к необходимости чистки короткого колена, т. е. периодическому ремонту, так как остановить процесс окисления невозможно. Нарушение жесткости соединений, износ, накопление деформации, усталость, как показала практика эксплуатации, сказываются незначительно вследствие малой интенсивности работы образцовых барометров. Как показала практика эксплуатации образцовых барометров, все основные и рабочие барометры УГКС работают без МО. Исходя из вышеизложенного, можно сделать вывод, что процесс старения образцовых барометров, в силу малой интенсивности их эксплуатации, протекает крайне медленно и практически не оказывает существенного влияния на изменение метрологических характеристик барометров. Паиболее существенное влияние на все ртутные барометры оказывает процесс окисления ртути и, как следствие этого процесса, загрязнение коротких колен барометров, вызывающее изменение поправок в отрицательную сторону.

Влияние процессов, вызывающих метрологические отказы данных приборов, практически полностью устраняется во время периодического ремонта (чистки короткого колена) или регулировки приборов. Это, в свою очередь, приводит к восстановлению пер-

воначальных метрологических характеристик барометров.

Таким образом, при определении МПИ целесообразнее учитывать не весь период эксплуатации приборов, а лишь период времени между двумя ремонтами или чистками короткого колена, так как только в этом случае достигается почти полностью восстановление первоначальных метрологических характеристик [5]. Кроме гого, необходимо учитывать только те данные о состоянии барометра до ремонта (или чистки короткого колена) и после него, которые получены одним и тем же поверителем. Это позволит исключить влияние погрешностей, связанных с индивидуальными качествами поверителей и различием их квалификации.

Очевидно, что для определения оптимального МПИ для образдовых СИ необходим значительный объем статистических данных, обладающих высокой надежностью и точностью. Поэтому в качестве исходного материала для определения МПИ для образцовых барометров были использованы многолетние данные результатов аттестации образцовых барометров МПС в среднем

за 26 лет. Рассматривался 71 барометр.

Как указывалось ранее, при отборе материалов аттестации принимались во внимание все факторы, оказывающие влияние на стабильность метрологических характеристик: ремонт барометра (чистка короткого колена барометров), смена поверителей, перенос барометров, регулировка и др.

Из материалов аттестации по каждому из образцовых барометров были выбраны данные о величинах изменения поправок

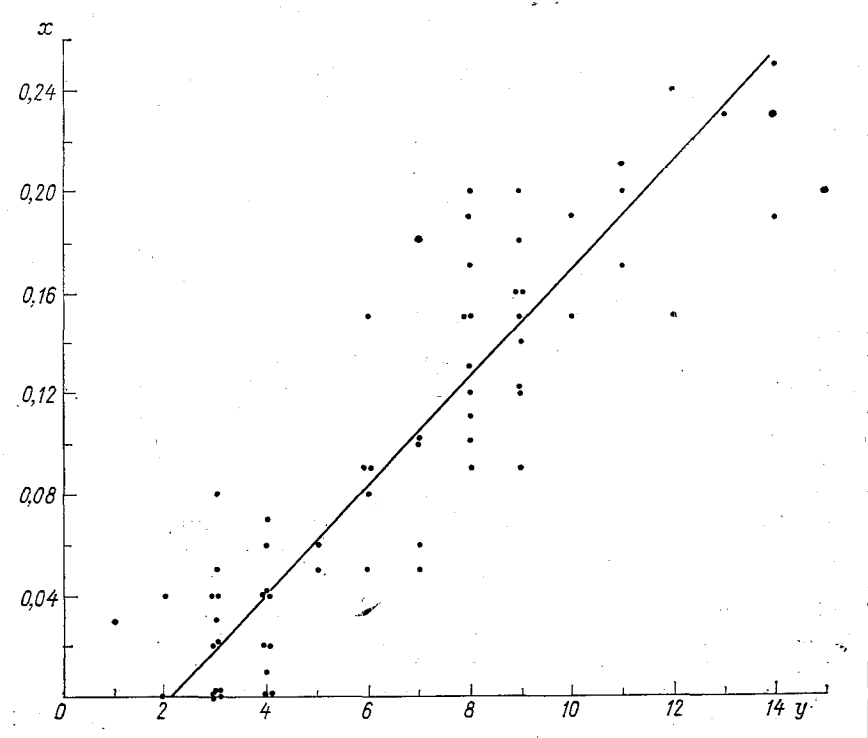


Рис. 1. Зависимость изменения величин поправок во времени при отсутствии поверок и ремонта.

(рассматриваемых по абсолютной величине) в течение периода времени между двумя чистками коротких колен барометров, полученные одним и тем же поверителем. Это позволило выявить количественную оценку полного изменения метрологических характеристик барометров, так как только при чистке короткого колена барометров полностью устраняется влияние процесса окисления ртути и, следовательно, загрязнения барометра. Кроме того, была выявлена взаимосвязь между величиной изменения поправок и периодом времени, за который произошло это изменение.

10 , , 12 12 13 Ξ 14 14 14 Ξ 15 (гПа) во времеви у, (годы) при отсутствии поверок и ремонтов барометров 0,19 0,18 0,20 0,150,23 0,19 0,24 0,25 0,20 ×,~ 0,23 0,21 6 y, 6 6 6 6 6 6 10 6 6 0,12 0,12 0,14 0,15 0,16 0,16 0,18 0,09 0,20 0,15 ×,~ ٧, ~ ∞ 8 ∞ œ 00 8 ∞ 8 ∞ * 0,18 60'0 0,10 0,12 0,13 0,15 0,19 0,11 0,17 0,20 y, 9 9 9 9 9 9 7 0,15 0,05 90,0 0,10 0,05 80'0 0,00 60,0 0,10 بر د. 0,11 ž 4 4 S 4 S ×,~ 0,02 0,02 0,04 0,04 0,00 0,05 90'0 0,04 0,07 0,01 ¥ Изменение величин поправок y i က က က က က က က က 4 0,02 0,02 0,03 0,04 0,04 0,05 90,0 0,00 0,00 0,00 74. ۲. S 2 က က က က က က က 0,00 0,03 0,00 0,04 0,00 0,00 0,00 0,00 0,00 0,00 ×

Вследствие того, что поправки барометров [8] распределяются по нормальному закону, нет необходимости производить проверку анализируемых данных на нормальность распределения, так какони получены из всей совокупности результатов аттестации барометров.

Метод наименьших квадратов, используемый в данном случае не требует никаких предположений о нормальности, но эти пред положения становятся необходимыми при построении доверитель

ных интервалов.

Результаты аттестации образцовых барометров приведень

в табл. 1 и на рис. 1.

Предположим, что в первом приближении регрессия *у* на линейна. В этом случае уравнение регрессии имеет вид

$$Y = a + b(x - \bar{x}),\tag{1}$$

тде $\bar{x} = \frac{1}{k} \sum \bar{x}_i$ определяет прямую, которая является оценкой для прямой регрессии; a, b — коэффициенты регрессии; k — количе ство результатов.

В результате расчетов были получены следующие значения $\Sigma x_i = 6.82$, $\Sigma y_i = 471.0$, k = 71, $\Sigma x_i^2 = 1.0460$, $\Sigma y_i^2 = 3953.0$, $\Sigma x_i y_i = 61.45$, которые по известным формулам [1] позволили вычис

-ЛИТЬ

$$\sum (x_i - \overline{x})^2 = \sum x_i^2 - \frac{\sum (x_i)^2}{k} = 1,05 - \frac{(6,82)^2}{71} = 0,39;$$

$$\sum (y_i - \overline{y})^2 = \sum y_i^2 - \frac{\sum (y_i)^2}{k} = 3953 - \frac{(471,0)^2}{71} = 828,49;$$

$$\sum (x_i - \overline{x}) (y_i - \overline{y}) = \sum x_i y_i - \frac{\sum x_i \sum y_i}{k} =$$

$$= 61,45 - \frac{6,82 \cdot 471,0}{71} = 16,21;$$

$$\sum (\hat{y} - \overline{y})^2 = \frac{\left[\sum (x_i - \overline{x}) (y_i - \overline{y})\right]^2}{\sum (x_i - \overline{x})^2} = \frac{262,76}{0.39} = 673,75;$$

$$\sum (y - \hat{y})^2 = \sum (y_i - \overline{y})^2 - \frac{\left[\sum (x_i - x) (y_i - \overline{y})\right]^2}{\sum (x_i - x)^2} =$$

$$= 828,49 - 673,75 = 154,74.$$

Вычислим коэффициент регрессии

$$b = \frac{\Sigma(x_i - x)(y_i - y)}{\Sigma(x_i - x)^2} = \frac{16.21}{0.39} = 41,56.$$

 ${\mathbb O}$ ценку дисперсии D[b] получим по известной формуле [1]

$$D[b] = \frac{S^2}{\Sigma(x_i - \overline{x})^2} = \frac{2,18}{0,39} = 5,59.$$

Построим 95 %-ные доверительные пределы для коэффициента егрессии b. Так как $t_{0,975}$ (71) = 2,20 и $\sqrt{D[b]}$ = 2,36, то $\sqrt{D[b]}$ = 5,19 и 95 %-ные доверительные пределы будут 41,56±5,19.

Чтобы построить оцененную линию регрессии, необходимо еще ычислить $\hat{y}=471,0/71=6,63$, x=6,82/71=0,10 и b=41,56, откуда =6,63+41,46 ($x_{i_0}=0,10$). После преобразования получим

$$\overline{Y} = 41.56x_i + 2.47.$$
 (2)

Іри $x_{t_0} = 0$, Y = 2.47 $D[Y_{x=0}] = 2.18[71 + (0-0.10)^2/0.39] = 0.087$. Доверительными пределами для точки пересечения линией регрессии оси y являются $(2.47 \pm 2.20) \cdot \sqrt{0.087} = (1.83; 3.11)$.

Аналогично приведенному выше, по известной формуле [3]

вычислим коэффициенты регрессии x на y:

$$\beta_{x/y} = \frac{\sum x_i y_i - \overline{y} \sum x_i}{\sum y_i^2 - \overline{y} \sum y_i} = \frac{61,45 - 6,63 \cdot 6,82}{3953,0 - 6,63 \cdot 471,0} = 0,019,$$

$$a_0 = \frac{\overline{x} \sum y_i^2 - \overline{y} \sum x_i y_i}{\sum y_i^2 - \overline{y} \sum y_i} = \frac{0,10 \cdot 3953,0 - 6,63 \cdot 61,45}{3953,0 - 6,63 \cdot 471,0} = -0,015.$$

Используя вычисленные коэффициенты, можно построить прямую регрессии, характеризующую приведенную выше зависимость. Уравнение линии регрессии можно представить в следующем виде:

$$x = 0.019y_{i_0} - 0.015. (3)$$

Оценим дисперсии переменных x и y, применив в качестве оценки средние квадратические отклонения

$$S_x = \sqrt{\frac{\Sigma(x_t - x)^2}{n}} = \sqrt{\frac{0.395}{71}} = 0.0745,$$

 $S_y = \sqrt{\frac{828.49}{71}} = 3.415.$

Теперь мы можем вычислить коэффициент корреляции, позволяющий сделать вывод о существовании линейной зависимости, между двумя переменными и оценить ее.

По известной формуле [5] находим

$$r_{xy} = \frac{b \cdot S_x}{S_y} = \frac{41,56 \cdot 0,0745}{3,415} = 0,9066 \approx 0,91.$$
 (4)

Вследствие того что коэффициент корреляции близок к единице, можно сделать вывод, что между указанными выше переменными существует зависимость, близкая к линейной.

Подставив в уравнение (2) предельно допустимое значение изменения поправок образцовых барометров (0,2 гПа) за период между сличениями, получим предельно допустимую величину МПИ, выраженную в годах $Y = 41,56 \cdot 0,20 + 2,47 = 10,78 \simeq 11$. Оценим насколько хорошо согласуются данные, полученные в реаль-

Величины изменения поправок и их периоды, полученные при аттестаци барометров и вычисленные по уравнению регрессии

				J P 42	- Po. P. Com.	<u> </u>	
x_i	x_i'	v_i	y' _i	x _i	x_i'	y _i	y' _i
0,03	0,00	1	3,71	0,11	0,10	6	7,04
0,00	0,02	2	2,47	0,05	0,12	7	4,55
0,04	0,02	2	4,13	0,06	0,12	7	4,96
0,00	0,04	3	2,47	0,10	0,12	7	6,63
0,00	0,04	3	2,47	0,10	0,12	7	6,63
0,00	0,04	3	2,47	0,18	0,12	7	9,95
0,00	0,04	3	2,47	0 ,0 9	0,15	8	6,21
0,00	0,04	3	2,47	0,10	0,15	8	6,63
0,00	0,04	3	2,47	0,11	0,15	8	7,04
0,00	0,04	3	2,47	0,12	0,15	8	7,46
0,00	0,04	3	2,47	0,13	0,15	8	7,87
0,02	0,04	3	3,30	0,15	0,15	8 -	8,70
0,02	0,04	3	3,30	0,17	0,15	8	9,53
0,03	0,04	3	3,72	0,19	0,15	8	10,36
0,04	0,04	3	4,13	0,20	0,15	8	10,78
0,04	0,04	3	4,13	0,09	0,16	9	6,21
0,05	0,04	3	4,55	0,12	0,16	9	7,46
0,08	0,04	3	5,02	0,12	0,16	9	7,46
0,00	0,06	4	2,47	0,14	0,16	9	8,29
0,00	0,06	4	2,47	0,15	0,16	9	8,70
0,01	0,06	4	2,88	0,16	0,16	9	9,12
0,02	0,06	4	3,30	0,16	0,16	9	9,12
0,02	0,06	4	3,30	0,18	0,16	9	9,95
	1	1	, ,	١ .	1	1	ļ

ных условиях при аттестации, с данными, вычисленными по уравнениям линии регрессии. Данные расчетов приведены в табл. 2 Очевидно, что если y и x нормально распределенные случайные величины [6], т. е. их закон близок к нормальному, то степень несогласованности линии регрессии и наблюденных значений может быть оценена с помощью величин разброса S_x , S_y , определяемых известной формулой [5]

$$S'_{x} = \sqrt{\frac{\overline{\Sigma(x'-x)^{2}}}{N}}; \quad S'_{y} = \sqrt{\frac{\overline{\Sigma(y'-y)^{2}}}{N}},$$
 (5)

где: x', y' — вычисленные значения, x, y — наблюдаемые значения, $S_x'=0.036$ гПа, $S_y'=1.49$ года.

Таким образом, если принять величину $3S'_{r} = +0.11$ и $3S'_{y} =$ = ±4.47 за верхнюю границу разброса данных величин [2], то с веоятностью P = 0.9973 можно утверждать, что величина $t_{\text{мпн}} =$ =11 лет булет находиться в пределах 6.3—15.3 лет, следовательо, оптимальной величиной МПИ, с метрологической точки зреия, нужно считать $t_{\mathsf{M\Pi H}} \! = \! 6$ лет, при этом величина изменения оправок барометров с той же вероятностью будет находиться пределах —0.01...0.21 гПа.

При определении оптимального МПИ для образцовых бароетров необходимо учитывать, что, согласно [7], если величина зменения поправки не превышает величину $0.10~{
m r\Pi}$ а, то поправку южно оставить прежней, следовательно, задавшись этой величиой, можно определить МПИ, который будет оптимально соотетствовать требованиям высокой стабильности поправок образовых барометров во времени, $Y = 41.56 \cdot 0.10 + 2.47 = 6.626 \approx 7$ лет.

Полученные данные о величине МПИ хорошо согласуются

данными аттестации образцовых барометров.

Действительно, как видно из рис. 1, за период 6 лет максимальое изменение величин поправок составляло всего 0.15 гПа. в среднем не превышало 0.04 гПа.

Таким образом, получив две независимые оценки МПИ, можно тверждать, что существенную величину МПИ для образцовых

арометров, равную 3 годам, можно увеличить до 6 лет.

обработке данных аттестации образцовых барометров ГКС принимали участие сотрудники отдела метрологии ГГО Соловьева Н. А. и Климовская М. В.

В заключение можно сделать следующие выводы:

1. МПИ для образцовых барометров, обеспечивающий изменеие систематической погрешности в пределах предельно допукаемой погрешности $(0.\overline{2}0 \text{ г}\Pi a)$ с вероятностью не менее 0.9973. иожет быть увеличен до 6 лет.

2. Увеличение существующего МПИ для образцовых барометов УГКС с 3 до 6 лет по приближенной оценке даст экономию

а 6 лет около 50 тыс. руб.

СПИСОК ЛИТЕРАТУРЫ

1. Браунли К. А. Статистическая теория и методология в науке и техике.— М.: Наука, 1977. 2. Бурдун Г. Д., Марков Б. Н. Основы метрологии.— М.: Изд-во

тандартов, 1975.

3. Касандрова О. Н., Лебедев В. В. Обработка результатов наблюцений.— Л.: Наука, 1970, c. 70—78.

4. Методика расчета индивидуальных поверок большого парка средств ізмерений/Ю. З. Гуревич, Е. И. Король, Н. В. Кучина, П. В. Новицкий.— Мет-

ология, 1977, № 10, с. 44—50. 5. Новицкий П. В., Гореликов Н. И., Смельницкая Ж. С. Меоды расчета и корректировки межповерочных интервалов средств измерений.— Метрология, 1977, № 10, с. 36—43.

6. Пановский Г. А., Брайер Г. В. Статистические методы в метеорологии.— Л.: Гидрометеоиздат, 1967.
7. Руководство по поверке метеорологических приборов/Под ре. И. А. Покровской.— Л.: Гидрометеоиздат, 1967.
8. Эталонные барометры Гидрометеослужбы СССР/И. А. Покровская Г. И. Полухин, В. А. Парнищев, И. П. Фатеев.— Труды ГГО, 1972, вып. 280 с. 68—80.

О МЕТОДИКЕ ИССЛЕДОВАНИЯ РАБОЧИХ ЭТАЛОННЫХ БАРОМЕТРОВ В ПЕРИОД ЭКСПЛУАТАЦИИ И ХРАНЕНИЯ

Для воспроизведения и передачи единицы атмосферного давния на сеть станций Госкомгидромета служат рабочие эталоные ртутные барометры № 3 и № 4 с интерференционным отсчетом нструкции ВНИИМ. Эталонные барометры хранятся в ГГО, е проводятся систематические исследовательские работы по ддержанию их метрологических характеристик. Эталонные барметры № 3 и № 4 являются региональными эталонами в сиеме Всемирной метеорологической организации (ВМО), что редъявляет к их метрологическим характеристикам особые трезвания.

Необходимость проведения систематических исследовательских бот по поддержанию метрологических характеристик эталоних барометров обусловлена значительным изменением условий

сплуатации.

Увеличение уровня вибрации грунта за последние 20 лет, выанное интенсивным движением транспорта и работой близлеащих предприятий, создает определенные трудности в поддерании метрологических характеристик, приводит к необходимои более частой юстировки эталонных барометров, а главное, сазывает существенное влияние на случайные составляющие их огрешности.

Как указывалось в результатах исследований барометров при зедении их в качестве эталонов [4, 5, 6], необходимо проводить следования для более точного определения количественной ценки случайной составляющей погрешности, рассматривая ее ак случайную функцию времени. Кроме этого, необходимо колиственно оценить неисключенные остатки систематической со-

гавляющей погрешности рабочего эталона.

В связи с ростом требований к метрологическим характерисикам эталонных и образцовых средств измерений и с существеным влиянием внешних условий на результаты измерений, необходимо учитывать внешние воздействия путем задания функц влияния для каждой влияющей величины.

Преимущество задания функций влияния вместо дополните, ных погрешностей заключается в том, что они делают возможни учет случайных изменений влияющих величин, а не только их на больших отклонений от нормальных условий. Это имеет весь существенное значение для современных средств измерений, корые используются в сложных условиях внешней среды, ког влияющие величины случайно изменяются в широких предах [4]. Учет только наибольших отклонений влияющих велич в этом случае дает завышенные значения погрешности измерен

Выявление функций влияния внешних условий позволит цественно снизить случайную составляющую погрешности пут определения оптимальных условий проведения измерений (в пе

вом приближении на 0,7 Па (0,005 мм рт. ст.)).

В настоящее время основными направлениями развития изм рительной техники являются автоматизация и объективизация и мерений, поэтому к эталонным барометрам предъявляются особ требования. В первую очередь это требования высокой стабил ности их метрологических характеристик во времени и автомат зации процесса измерения для снижения погрешностей измерент связанных с субъективными качествами операторов.

Существующие рабочие эталоны удовлетворяют требования предъявляемым к эталонам ВМО, обладают очень высокой ст бильностью метрологических характеристик во времени, поэто необходимо, наряду с исследовательскими работами по подде жанию метрологических характеристик, проводить работы по м дернизации существующих эталонов, что экономически целесос

разнее создания новых эталонов.

Оснащение сети станций Госкомгидромета образцовой груз поршневой техникой ставит вопрос о необходимости создан грузопоршневого эталона давления. Поэтому в настоящее врег в ГГО проводятся работы по изучению стабильности метролог ческих характеристик образцовых грузопоршневых манометр типа МАД-3М, ИМАД-4М, МПА-15 во времени. По предвар тельным результатам стабильность метрологических характер стик образцовых грузопоршневых манометров значительно уст пает стабильности рабочих эталонных барометров, в основно из-за сложности их эксплуатации, значительно более высоких тр бований к работам по поддержанию их метрологических хара теристик.

В настоящее время возникла острая необходимость в разрабо ке методики исследования и поддержания метрологических х рактеристик не только рабочих эталонов, но и образцовых груз поршневых манометров давления. В данной статье рассматрив ются вопросы, связанные с разработкой методики исследован в основном эталонных барометров в период эксплуатации, хо некоторые вопросы можно отнести и к грузопоршневой те нике.

Систематическое исследование эталонных барометров нровотся в отделе метрологии ГГО с 1963 г. За этот период накопн значительный статистический материал по режиму эксплуатаи барометров, поддержанию режима вакуумных систем, темпетурному режиму, данных по влиянию вибрации грунта и режиму ажности, а также результатам сличения эталонных барометв между собой и сличения с образцовыми грузопоршневыми нометрами типа МАД-3М.

Из результатов сличения следует, что влияние внешних услой может быть настолько существенным, что в ряде случаев придит к невозможности проведения измерений и значительно увечивает погрешность измерений, поэтому необходимо изучить ханизм их влияния и количественно оценить влияние каждого

іктора в отдельности и всех факторов в совокупности.

Из материалов сличений барометров, проводимых в ГГО именно ряда средних квадратических отклонений (СКО) рельтатов сличений, определяющих случайную составляющую поешности), следует, что СКО может изменяться в достаточно проких пределах, а именно 0,8—3,9 Па (0,006—0,030 мм рт. ст.). о изменение следует отнести за счет влияния только внешних ловий, тогда как юстировка эталонных барометров, проводиля перед каждым сличением может оказать влияние только на стематическую составляющую неисключенных остатков погрешести.

Изменение случайной составляющей погрешности в таких шиких пределах позволяет сделать вывод о том, что влияние ешних условий, а именно, стабильности поля давления и темратурного поля, а также длительность сличений, степень вибрами фундамента эталонных барометров, субъективные особеннои операторов, не достаточная синхронность отсчетов оказывают ачительное влияние на изменение случайных составляющих поешности.

Анализ указанных факторов позволил выделить наиболее суественные из них и определить механизм их влияния.

Постоянный фон вибрации фундамента барометра несомненно азывает влияние не только на случайную составляющую, но на систематическую. Предположительно механизм влияния моет быть следующий.

Вследствие того что для проведения сличений барометров выграется период времени, когда уровень вибрации бывает миниальным, обычно ночное время (с 24 до 5 ч), то в среднем плитуда вибраций бывает постоянной, следовательно, влияние едней величины вибраций можно отнести к систематической ставляющей погрешности, так как минимальный фон присутвует во всех сличениях. Конечно, нельзя с определенной увенностью утверждать, что величина вибрации бывает одной той же во всех сличениях, но средняя величина остается пооянной почти во всех сличениях и составляет около 6—8 мк. лительность сличения составляет в среднем 5 ч, и естественно,

что в течение этого периода происходят резкие изменения уров вибрации (скачки), которые приводят к случайным ошибк и грубым промахам операторов при наведении интерференцио ных картин. Как правило, наведение интерференционной карти осуществляется в тот момент времени, когда вибрации отсу ствуют, следовательно, влияние вибрации может сказываться счет того, что резкие изменения уровня вибрации (скачки) возн кают у барометров не совсем синхронно, следовательно, момен наводки отсчетов барометров будут не совпадать, а это в све очередь при изменении атмосферного давления, может привес к появлению значительных случайных составляющих погрешнос Определение минимального фона вибрации, а именно, колич ственная оценка амплитуды и частоты вибрации, а главное, п стоянный контроль данных параметров в течение всего перио сличения позволит не только определить наиболее оптимальн условия проведения сличения, но и позволит количественно опр делить погрещность связанную с вибрацией, а при соответству щей обработке результатов измерений и исключить рещения этой задачи необходим определенный комплекс совреме ной аппаратуры, который позволил бы повысить точность перед чи единицы измерения давления не только на сеть гидрометеор логических станций СССР, но также гидрометслужбам СЭВ.

В настоящее время существуют виброизмерительные комплектромышленного типа, например типа ВИ6-5 (с датчиком ДУ6-гразработанного В. А. Шмелевым, которые позволяют регистровать основные параметры вибрации. В этом направлении сущетвуют и новые разработки, например виброщуп 8Э242, которы позволит практически измерять вибрации [1] в диапазоне част 0—1000 Гп.

Как показали исследования параметров вибрации рабочих эт лонных барометров, проводимые в ГГО, как правило, промы ленный фон вибрации вызывает колебания ртути с частот 2—4 Гц, а амплитуды вибрации в этих случаях могут достига в среднем 5 мк. Эти данные подтверждаются также и зарубеными исследованиями, следовательно, влияние вибрации п амплитудах, соизмеримых с погрешностью эталонных барометроможет быть, очень велико, поэтому при проведении сличений р бочих эталонных барометров контроль параметров вибрации в обходим.

Для нормальной работы с эталонными барометрами вибр ции с амплитудой 10—15 мк крайне недопустимы, так как о приводят к полному размыванию интерференционных картин б

рометров.

Новым направлением выявления механических резонанс и стабилизации параметров вибрации на заданном уровне, обе печивающим высокую точность как измерения параметров вибр ции, так и поддержания их заданного уровня, является применние лазерных установок [7].

Для стабилизации параметров вибрации лазерные установки еют, как правило, замкнутую систему автоматического регуливания, обратная связь в которой осуществляется при помощи зличных фотоэлектрических преобразователей и устройств автотической регулировки заданного параметра вибрации. Лазере установки позволяют измерять амплитуду вибрации исследуето объекта от единиц микрометров до единиц миллиметров.

Выходные сигналы в режиме измерения записываются на диааммную ленту, расшифровка которой дает сведения о резонансіх явлениях исследуемых объектов, их частоте, а также о поглоении энергии на определенных частотах, а следовательно, умень-

ении амплитуды колебаний.

Применение лазерных установок в исследовании эталонных рометров позволило бы не только с высокой точностью опредеть параметры вибрации, воздействующей на них, но и позволило применяя динамические свойства виброизолирующего фунданта эталонных барометров, устранить резонансные явления создать равнопрочную конструкцию эталонных барометров, также создать принципиально новую конструкцию фундамента алонных барометров, позволяющую стабилизировать некоторые раметры вибрации путем введения в конструкцию замкнутой стемы регулирования.

Для более четкого определения вклада вибрации в погрешость измерения необходимо, чтобы юстировка эталонных баростров не зависела от субъективных качеств наблюдателя и выолнялась всегда на одном и том же уровне. Для решения этой дачи, необходимо вместо ранее принятых критериев юстировки, именно четкости, размеров, качества интерференционных полос интерференционных картинах сличаемых эталонных барометров, оименить более объективный критерий, позволяющий определить чество юстировки количественной оценкой, иными словами ввеи постоянный коэффициент юстировки.

Возможным направлением решения этой задачи является приенение в качестве индикатора юстировки ваттметров для оптиского диапазона волн, позволяющих не только производить стировку барометров по максимуму излучаемой мощности интереренционных картин, но и поддерживать юстировку барометра рого постоянной, что приведет к снижению систематической соавляющей погрешности и, как указывалось ранее, создаст возожность количественно оценить вклад постоянного фона вибра-

ии в систематическую составляющую погрешности.

Другим, более перспективным направлением в решении этой здачи является применение в качестве источника света в коллиаторах барометров лазеров, обеспечивающих высокостабильный сточник монохроматического излучения.

В зарубежных конструкциях с этой целью используется метод ространственной модуляции, например в конструкции французкого манобарометра фирмы «Jeger», который позволяет осудествлять наводку в пределах 3 мк. Разработка и внедрение по-

добных устройств позволит существенно повысить точность изм рения давления эталонными барометрами.

Вторым фактором, оказывающим заметное влияние на погреность измерения, является непостоянство поля температуры, а то

нее градиент температуры $\Delta T/\Delta t$.

Механизм влияния данного фактора может быть следующи Как указывалось ранее, продолжительность сличения составля около 4—5 ч (в зависимости от вибрационных условий мож быть и больше), и естественно, что за этот период происходит и менение температурного поля, вызванное нагреванием операторах приборов, что в свою очередь заставляет выравнивать градиент температуры как на концевой мере, так и на ртути барометро

В период между отсчетами включается система вентиляци которая способствует стабилизации температурного режима. О нако вследствие влияния вибрации время отсчета по эталонны барометрам колеблется в среднем от 5 до 10 мин и не всегда уд ется быстро стабилизировать температурное поле, поэтому моме отсчета температуры и градиентов температуры на концевой мег и ртути эталонных барометров в большинстве случаев быва сдвинут во времени относительно момента отсчета по эталонном барометру и возникает погрешность, вызванная несоответствие снятого отсчета действительному значению температуры и ее гр диентам на мере и ртути барометров в момент отсчета показани давления.

Теоретически известно, что погрешность измерения темпер туры 0,01°C вызывает погрещность измерения давления 1,4 м

Исходя из вышеизложенного, можно сделать вывод, что сняти значений температуры, ее градиентов на мере и ртути эталонны барометров должно производиться одновременно со снятием о счетов по барометрам. Для этого необходимо автоматизироват процесс снятия и регистрации значений температуры и ее градиен тов путем введения в конструкцию рабочих эталонных барометро блока автоматического опроса и регистрации соответствующи параметров.

Влияние изменений градиентов температуры в данном случа носит не систематический, а случайный характер, поэтому и по грешности, связанные с влиянием данного фактора, можно отнест

к случайным составляющим погрешности.

Наиболее важным, доминирующим фактором, после вибрацию оказывающим существенное влияние на сличение рабочих эталогных барометров, является нестабильность поля давления во времых барометров, из вестабильность поля давления во времых барометров, на предоставляющих барометров, на предоставляющих барометров, на предоставляющих барометров, после вибрации объекты в предоставляющих в предостав

мени, т. е. величина барометрической тенденции.

Рассмотрим возможный механизм воздействия этого фактор на процесс сличения. Как известно, микрофлуктуации атмосфер ного давления существуют постоянно и в период сличения могу достигать значительной величины, следует отметить, что синхрон ность отсчетов двух эталонов обеспечить очень трудно, так ка она зависит от величины барометрической тенденции $\frac{\Delta p}{\Lambda_A}$ (мбар/ч

е ее ростом синхронность все больше нарушается. Большое влине на синхронность отсчетов оказывают вибрации ртути этанных барометров, так как приходится выжидать, когда четко дут видны интерференционные картины (полосы) одновременно обоих барометров. Несинхронность отсчетов, вызванная вибраей ртути, даже при стационарном поле давления приводит к знательным погрешностям, а при наличии существенной величины рометрической тенденции ($\frac{\Delta p}{\Delta t} > 0.2$ мбар/ч) она может присти к значительным погрешностям, ориентировочно составляютм 1,3—2,6 Па (0,01—0,02 мм рт. ст.), которые проявляются учайно, и их несомненно можно отнести к случайным составющим погрешности.

Рассмотрим как влияет резкое изменение поля давления 0,2 мбар/ч. Во-первых, процесс наводки интерференционных ртин (как верха, так и низа) у эталонных барометров резко ложняется, наблюдается «сползание» интерференционной карны в период отсчета, а если учитывать, что в ряде случаев придится выжидать подходящего момента для наведения (из-за ияния вибрации), то время отсчета и наведения возрастает, главное, что моменты наведения и отсчета интерференционных ртин у обоих барометров при данных условиях невозможно вылнить одинаково, т. е. увеличиваются промахи операторов в надке, разброс в отсчетах резко возрастает в 2—3 раза, кроме ого, увеличение времени проведения измерения утомляет операров и увеличивает грубые промахи в отсчетах. Из материалов ичений нетрудно выявить связь между барометрической тенрнцией и средним квадратическим отклонением результатов, т. е. учайной составляющей погрешности.

Естественно, что с ростом барометрической тенденции число ромахов, неточностей в наводке возрастает, так как наводку инференционных картин и отсчет необходимо производить значи-

льно быстрее.

Для исключения случайной составляющей погрешности, вызанной влиянием данного фактора, представляется целесообразым:

а) автоматизировать процесс грубой наводки интерференцион-

ых картин барометров;

б) исключить субъективизм поверителей в наводке отсчетов утем введения в конструкцию барометров индикатора точного

аведения.

Перспективным направлением в решении этой задачи является, ак указывалось ранее, применение в качестве индикаторов приоров, позволяющих измерять спектральную мощность интерфенционных картин и осуществлять настройку по максимальной ощности.

Другим направлением в решении этой задачи является приенение устройств, позволяющих преобразовывать изображение интерференционной картины в модулированный сигнал, т. е. и

пользовать метод пространственной модуляции.

Прототипом подобного устройства может служить индикате точного наведения, состоящий из первичного преобразователя, не строенного на наиболее четкую из интерференционных полос эт лонного барометра, обычно черную, и усилителя постоянного того фотоэлектронным модулятором [2], сигнал которого выводите на осциллограф. Регулировку пределов, в которых осуществляет точная наводка отсчетов барометров, целесообразно осуществлягов пределах, соизмеримых с погрешностью эталонного барометр т. е. ±5 мк. Грубую наводку отсчета целесообразно осуществлягов автоматически, синхронно у обоих барометров.

Метрологические характеристики эталонных барометров зависят не только от влияния внешних факторов и условий эксплу

тации, но и от интенсивности эксплуатации.

В ходе исследований барометров было выявлено, что для подержания их метрологических характеристик на одном и том и уровне в течение всего периода эксплуатации достаточно иром водить не более 6 сличений в год между собой, что свидетельного

ствует о высокой стабильности эталонных барометров.

Поддержание стабильных условий эксплуатации барометро а именно, температурного режима в пределах $(20\pm2\,^{\circ}\text{C}$, режим вакуумной системы, обеспечивающего поддержание постоянног вакуума не менее $1\cdot10^{-2}$ мм рт. ст. в период между сличениям и $1\cdot10^{-3}$ мм рт. ст. во время сличения, положительно влияет и стабильность метрологических характеристик эталона, а отклонения от указанных условий вызывают их резкое изменение.

В данной статье не затрагиваются вопросы, связанные с определением динамической погрешности эталонных барометров вследствие того что ее влияние значительно меньше вышепри веденных факторов из-за сравнительно плавного изменения атмо сферного давления. Однако в настоящее время планируютс работы по экспериментальному определению динамических погрешностей, как эталонных барометров, так и грузопоршневых манометров, что для последних является особенно важным, так каманометры работают в широком диапазоне давления и применяются для поверки образцовых средств измерений по всему диапазону.

Рассмотрев основные факторы, оказывающие влияние на метро логические характеристики рабочих эталонных барометров, и на метив пути исключения их влияния, можно определить основные направления исследований, которые должна включать в себя мето дика исследования рабочих эталонных барометров в период экс плуатации.

Во-первых, как указывалось ранее, необходимо путем гармо нического анализа результатов сличений выявить гармоники и их частоты, присущие влиянию, в первую очередь, вибрации, неста ционарности поля температуры, давления и др., т. е. выявити количественно оценить функции влияния внешних факторов.

Кроме того, при помощи гармонического анализа флуктуации емпературы и давления, наблюдаемые при сличениях, могут быть редставлены в форме, удобной для использования их в качестве раничных условий при решении задач, связанных с исключением х влияния на результаты сличений и определением оптимальных словий сличений. Далее проводится спектральный анализ, целью нахождения сглаженного спектра из которого путем станстической фильтрации исключается влияние внешних условий. Этом случае задача состоит в определении параметров фильтра, бусловленных функциями влияния. Протяженность спектра будет казывать на то, какая должна быть инерция сличаемых приборовы какой следует ждать ошибки, если прибор реагирует медленно.

Другим направлением исследования является определение лучайной составляющей погрешности как случайной функции ремени и задание ее в виде автокорреляционной функции или пектральной плотности. Решение данной задачи позволит точно ценить случайную составляющую погрешности в зависимости от сонкретного ряда наблюдений и условий проведения сличения, также определить оптимальный интервал между отсчетами, пределяемый инерционными свойствами барометров и случайными составляющими погрешности, связанными с изменением внешних условий.

Определение динамической погрешности рабочих эталонных зарометров также является важным направлением в исследованиях, которое включает в себя нормирование времени успокоения времени переходного процесса), т. е. промежутка времени с момента скачкообразного изменения измеряемой величины до момена, когда подвижный орган отсчетного устройства войдет в зону становившегося значения, а также допустимого значения первого отброса $X_{\text{отб}}$ или отношения $X_{\text{отб}}/X_{\text{уст}}$, которое не должно превыдать 1,4 [4]. Особенно это важно для грузопоршневой техники, так как не всегда удается достаточно плавно изменять измеряемое давление во всем диапазоне приборов.

Таким образом, рассмотренные нами вопросы тесно связаны разработкой методики исследования рабочих эталонных барометров в период эксплуатации, которая на наш взгляд, должна ключать следующие разделы:

- определение и нормирование на основе статистического магериала оптимальных условий проведения измерений;
 - определение инерционных свойств барометров;
- определение погрешности измерения, связанной с инерционными свойствами барометров, т. е. определение динамической погрешности;
- определение вида и количественной оценки функций влияния внешних условий;
- определение параметров статистических фильтров, исключающих влияние внешних условий при обработке результатов измерений;

— определение в чистом виде неисключенных остатков систе матической и случайной составляющих погрешности измерений

— задание случайных составляющих погрешности в виде автокорреляционной функции, учитывающей изменение данной составляющей погрешности в течение всего периода измерений;

— прогноз погрешности измерений в зависимости от влияния

и изменения внешних условий, на основе функций влияния.

Разработка методики исследования эталонных и образцовых средств измерений в период эксплуатации позволит приблизиться к решению проблемы исследования метрологических эксплуатационных характеристик средств измерения в полевых условиях, что является не менее актуальной задачей.

СПИСОК ЛИТЕРАТУРЫ

1. Абжирко Н. И. Влияние вибрации на характеристики радиолокационных антенн. М.: Советское радио, 1974.

2. Авдеев В. Н., Вартазаров Э. Г., Мартиросов В. Д. Усилитель постоянного тока с фотоэлектронным модулятором.— Измерительная техника,

1975**, №** 5. 3. Бурдун Г. Д., Марков Б. Н. Основы метрологии.— М.: Изд-во стандартов, 1975.

4. Покровская И. А., Лурье В. А. Результаты исследования новых эталонных барометров.— Труды ГГО, 1964, вып. 160.
5. Покровская И. А. Хранение и передача на сеть станций единицы атмосферного давления.— В кн.: Труды ВНМС. Л., 1963, т. IX.

6. Эталонные барометры Гидрометслужбы СССР/И. А. Покровская, Т. И. Полухин, В. А. Парнищев, Н. П. Фатеев.— Труды ГГО, 1972, вып. 280. 7. Рыгалин В. Г., Гречинский Д. А., Соболев А. Б. Применение лазерных установок для выявления механических резонансов и стаблизации

параметров вибрации на заданном уровне.— Измерительная техника, 1975, № 5.

О ТЕМПЕРАТУРНОЙ ПОПРАВКЕ ПРИ ИЗМЕРЕНИИ АТМОСФЕРНОГО ДАВЛЕНИЯ РТУТНЫМИ БАРОМЕТРАМИ И МАНОМЕТРАМИ

Известно, что влияние внешних условий и погрешность изгосовления ртутных барометров и манометров учитывается при обработке измерений путем введения соответствующих поправок [1, 2]. Так, в показания ртутного манометра типа МБП и ртутных рарометров типа КР, ИР, СР вводятся поправки шкалы, поправки на приведение показаний к нормальному ускорению свободного падения тел и поправки на приведение плотности ртути к 0°C (273 K), а длины шкалы к 20°C (293 K).

До 1977 г. заводы выпускали ртутные манометры и барометры поправкой шкалы, которая определялась с учетом поправки на приведение плотности ртути и длины шкалы к 0°С (273 K). Темпе-

ратурная поправка вычислялась по формуле

$$\Delta B_t = \frac{-B_t(\alpha - \beta) \Delta t}{1 + \beta \Delta t}, \tag{1}$$

де B_t — показание барометра или манометра при температуре t °C; $\Delta t = t_0 - t$; $t_0 = 0$ °C; α — температурный коэффициент линейного расширения шкалы, принятый до 1977 г. и равный 1,84 \times \times 10⁻⁵ (°C)⁻¹; β — температурный коэффициент объемного расширения ртути, равный 18,18·10⁻⁵ (°C)⁻¹.

В настоящее время на сеть станций Госкомгидромета начали поступать манометры и барометры, в которых при обработке измерений плотность ртути, как и ранее, приводится к 0°С, а длина

шкалы — не к 0°С, а к 20°С.

Вычисление поправок по технической документации разработанной заводом, должно производиться по формуле

$$\Delta B_t = -B_t [\beta t - \alpha (t - 20)], \qquad (2)$$

где $\alpha = 2,05 \cdot 10^{-5}$ (°C)⁻¹.

Следует отметить, что формула (2) получена из формулы (1) с учетом приведения длины шкалы к 20°С и предположения, что

$$1 + \beta t \approx 1$$
.

Однако для образцовых средств измерения и эталонов необходимы более точные значения поправки, которые можно получиты применяя формулу в виде

$$\Delta B_t = -\frac{B_t [\beta \ t - \alpha(t - 20)]}{1 + \beta \ t + \alpha(t - 20)}. \tag{3}$$

В табл. 1 приведены температурные поправки, рассчитанные поформуле (3).

Таблица 1

Температура, °С	Давление, гПа (мбар)					
	500	550	600	650	700	750
10	-1,01	$ _{-1,11}$	—1,21	-1,31	_1,41	<u>_1,51</u>
20	-1,81	-1,99	-2,17	-2,35	-2,5 3	-2,71
30	-2,61	-2,87	-3,13	3,39	3,65	-3,92
ŀ		1		1	1	·
Температура, °С	Давление, гПа (мбар)					
		1	1	1	1	
	800	850	900	950	1000	1050
10	-1,62	850 -1,72	900	950		
10 20		<u> </u>	<u> </u>]	<u> </u>	
,	-1,62		-1,82	—1,89	-2,02	-2,12

Дальнейшее развитие системы единства измерений требует изменений в вычислении температурных поправок при измерении давления ртутными барометрами и манометрами, т. е. их следует рассчитывать по формулам (2) и (3).

СПИСОК ЛИТЕРАТУРЫ

1. Қарпуша В. Е., Чернов Б. С. Измерение атмосферного давления.— Л.: Гидрометеоиздат, 1973.

2. Руководство по поверке метеорологических приборов.— Л.: Гидрометеоиздат, 1967.

К ВОПРОСУ КОНТРОЛЯ ТОЧНОСТИ ИЗМЕРЕНИЯ СОДЕРЖАНИЯ ЗАГРЯЗНЕНИЯ В АТМОСФЕРЕ

В настоящее время в практике измерений содержания компонента загрязнителя в воздушной среде широко применяются неавтоматические химические методы анализа.

Рассмотрим упрощенную схему анализа:

 а) продувается известное количество атмосферного воздуха через подходящий поглотитель;

б) добавляют в поглотитель заданное количество определенного вещества, в результате чего поглотитель изменяет свою оптическую плотность;

в) измеряют оптическую плотность поглотителя и по ней опре-

деляют содержание измеряемого компонента в пробе.

Очевидно, что погрешность определения содержания измеряемого компонента складывается из многих составляющих, например, из погрешности измерения количества прокачиваемого воздуха, погрешности приготовления растворов, погрешности, вызванной неоднозначностью некоторых химических процедур, и т. д.

В связи с этим в настоящее время не удается с приемлемой

точностью оценить погрешность анализа состава атмосферы.

При наличии генераторов газовой смеси заданного состава для оценки точности химической методики анализа состава атмосферы используют методы дисперсного анализа.

Однако в случае, когда общепризнанная методика существует, возникает вопрос контроля правильности использования ее, т. е.

задача оценки достоверности полученных результатов.

Ввиду сложности оценки суммарной погрешности анализа и, учитывая, что основная неопределенность оценки возникает при проведении химического анализа пробы, необходим контроль работы исследователя, который в сетевой лаборатории обычно осуществляется следующим образом: для проверки исследователю предлагается провести анализ определенного количества проб с неизвестным ему заданным содержанием компонента, после чего полученные результаты сравнивают с заданными. Сравнение можно проводить методом регрессионного анализа. В этом случае пред-

полагается, что зависимость между измеренным и заданным содер жанием компонента в пробе линейна. Строится прямая уравнения регрессии, проходящая через начало координат, и проверяется ги потеза о равенстве коэффициента регрессии единице. В случае когда эта гипотеза не подтверждается, работа исследователя при знается неудовлетворительной.

Этот метод оценки качества работы исследователя требует вы

полнения следующих условий:

а) закон распределения ошибок измерения содержания компо

нента в каждой пробе является нормальным,

б) дисперсии ошибок измерений для всех концентраций равны Дисперсии ошибок измерения концентрации химическими методами путем измерения оптической плотности не равны. Поэтому для про ведения оценки этим методом дополнительно определяются весовые коэффициенты, на которые умножается величина концентрации, полученная при обработке результатов измерений.

Для получения весовых коэффициентов, которые меняются при изменении класса используемой измерительной техники или замене приборов, необходим набор статистических данных и выполнение вышеуказанных предположений. Все это делает оценку работы исследователя сетевой лаборатории не всегда возможной либо очень трудоемкой и не позволяет быстро оценить правильность и квали-

фикацию его работы.

Известны непараметрические методы оценки качества работы (например, критерий знаков), для применения которых не требуется никаких предварительных условий, за исключением предположения о том, что закон распределения ошибок измерений непрерывен, а этому требованию удовлетворяют все виды измерений. Поэтому, хотя использование непараметрического метода и приводит к увеличению ошибки 2-го рода по сравнению с ошибкой 2-го рода при использовании регрессионного анализа, этот метод для проведения быстрой оценки качества работы сетевой лаборатории при сравнительно небольшом статистическом материале представляется более удобным.

Проверка работы исследователя сетевой лаборатории и оценка результатов его измерений концентрации компонента в растворе

непараметрическим методом состоит в следующем.

Для анализа специалисту, правильность работы которого проверяется, предлагают k различных растворов с известным содержанием измеряемого компонента y_j . Специалист проводит по три измерения концентрации компонента в каждом растворе и получает по три значения концентрации x_{ij} , где (i=1, 2, 3; j=1, ..., k).

Таким образом, каждый раствор характеризуется функцией двух

переменных $z_{ij} = f(y_j, x_{ij})$. Пусть

$$z_{ij} = \frac{y_j}{x_{ij}},\tag{1}$$

тогда при правильном проведении анализа пробы все z_{ij} должны равняться единице. Таким образом, суть оценки работы специа-

листа заключается в проверке нулевой гипотезы $z_{ij} = 1$. В случае, если полученные данные измерений удовлетворяют этой ипотезе, работа специалиста признается удовлетворительной,

з противном случае — неудовлетворительной.

В результате вычислений получим 3k значений z_{ij} . Очевидно, то z_{ij} является случайной величиной с непрерывным законом растределения. Преобразуем случайную величину z_{ij} в случайную величину z_{ij}

$$z'_{ij} = \begin{cases} 1, & \text{если } 1 - z_{ij} > 0, \\ 0, & \text{если } 1 - z_{ij} < 0. \end{cases}$$
 (2)

Случайные величины z'_{ij} , очевидно, независимы и поэтому с ними можно связать схему последовательных независимых испытаний, в которой вероятность $P\{z'_{ij}=1\}=1/2$ для каждого испытания. Следовательно, $\sum_{ij} z'_{ij}$ $(i=1,\ 2,\ 3,\ j=1,\ ...,\ k)$ распре-

делена по биномиальному закону $B(3k \cdot \frac{1}{2})$. Далее выбираем уровень значимости α , т. е. вероятность отвергнуть нулевую гипотезу,

когда она в действительности верна.

Исходя из выбранного уровня значимости, определяем границы для $\Sigma z'_{ij}$ т. е. ее наибольшее и наименьшее значения, при которых с заданным уровнем значимости z_{ij} =1. Наибольшее значение суммы равно r—1, где r вычисляется по формуле

$$\frac{1}{2^{3k}} \sum_{\nu=0}^{3k-r} {3k \choose \nu} = 1 - B(r-1; n, \frac{\alpha}{2}) < \frac{\alpha}{2}$$
 (3)

или, аппроксимируя биномиальный закон распределения нормальным, получим

$$1 - \Phi \left[\sqrt{[4(r-1)+3] \cdot \frac{1}{2}} - \sqrt{[4 \cdot 3k - 4(r-1) - 1] \cdot \frac{1}{2}} \right] \leqslant \frac{\alpha}{2}. \quad (4)$$

Аналогично вычисляется наименьшее значение суммы (S+1), где S вычисляется по формуле

$$\frac{1}{2^{3k}} \sum_{\nu=0}^{S} {3k \choose \nu} = B\left(S; \ n, \ \frac{1}{2}\right) \approx$$

$$\approx \Phi\left[\sqrt{(4S-3)\frac{1}{2}} - \sqrt{(4\cdot3k-4S-1)\frac{1}{2}}\right] \leqslant \frac{\alpha}{2}, \tag{5}$$

Интервал [S+1, r-1] с вероятностью $1-\alpha$ накрывает истинное значение \sum_{ij} . Если сумма внутри этого интервала, то работа специалиста признается удовлетворительной. В случае, когда сумма превышает значение r-1 или меньше S+1, можно сделать вывод, что результаты измерений, проведенные исследователем, систематически завышены или соответственно систематически занижены.

Использование вышеуказанного критерия упрощает процедур анализа работы исследователя сетевой лаборатории, позволяе выявить систематические ошибки в работе, кроме того для ис пользования его не требуется предварительного определения весс вых коэффициентов и априорного предположения о нормальност распределения ошибок измерений.

СПИСОК ЛИТЕРАТУРЫ

1. Браунли К. А. Статистическая теория и методология в науке и тех нике.— М.: Наука, 1977. 2. Уилкс С. Математическая статистика.— М.: Наука, 1967. 3. Шеффе Г. Дисперсионный анализ.— М.: Физматгиз, 1965.

А. А. Бузников, А. Ф. Полякова

СИСТЕМА СБОРА БОЛЬШОГО ОБЪЕМА ИНФОРМАЦИИ НА БАЗЕ МИНИ-ЭВМ

Современные мини-ЭВМ находят все большее применение

істемах оперативной обработки экспериментальных данных. Круг задач, связанных со сбором и обработкой данных самоных измерений предполагает одновременное выполнение опеий ввода больших массивов информации от нескольких устств. Структура системы сбора в значительной степени зависит количества и типов источников и приемников информации, от собов ее ввода и вывода, от типа используемой ЭВМ. Устройство связи системы сбора информации с каждым из ектов должно состоять из коммутатора, аналого-цифрового образователя, контролера и интерфейсной карты. В связи с огиченностью объема оперативной памяти (ОП) мини-ЭВМ есообразно применение двухуровневой буферизации в двухтном режиме работы. Между экспериментом и внешним запонающим устройством-накопителем на магнитной ленте (НМЛ) іючаются два буфера. В целях минимизации аппаратурных зат в качестве малого буфера (первый уровень буферизации) дем использовать один регистр данных. Большим буфером (втой уровень буферизации) будет являться часть ОП Э́ВМ. Двухктный режим работы буферизации позволяет производить одно-

К числу характерных особенностей мини-ЭВМ относится проаммное решение ряда функций ЭВМ, которые в больших ЭВМ ычно решаются схемным путем. Двухтактный режим буферизаи может быть осуществлен с помощью режима условной проаммной передачи данных для записи каждого слова *т*-го польвателя в ОП и режима прямого доступа в память (ПДП) окончанием работы канала путем прерывания для переписи ассива ячеек ОП на накопитель на магнитной ленте (НМЛ).

еменно запись данных от т пользователей системы

перепись информации из ОП на НМЛ.

Использование одного канала ПДП для связи с НМЛ и проаммный ввод инициативных сигналов пользователей обеспечивают структуру вычислительного комплекса с минимальными

паратурными затратами.

Моменты обращения к ЭВМ каждого пользователя случай каждое обращение представляет собой серию импульсов с час той $f_i(i=\overline{1,m})$. Запись данным на НМЛ в режиме ПДП п изводится по специальным каналам, которые по мере надобно занимают циклы τ центрального процессора. ЭВМ проверяет личие запросов в канале ПДП во время выполнения каж, команды программы. Если выявляется запрос на ПДП, следщий отрезок времени выделяется на передачу с ПДП, а выполние программы задерживается на это же время.

Каждое из m устройств, подготовив информацию для вве ∂BM , устанавливает в единицу флажок устройства. Будем лагать, что обслуживание производится посредством цикли ского опроса всех флажков в порядке убывания частот f_i .

Если ЭВМ требуется время T на программную обработку вх ных данных, то в течение этого времени ЭВМ не может принима другие входные данные. Интервал времени T называется мертв временем системы сбора информации. Из-за наличия мертв времени некоторые данные, возникшие в эксперименте, будут б возвратно потеряны.

Сформулируем условие отсутствия потерь информации. Пус T' — общее время обслуживания i-го пользователя с максимал ной частотой сигналов $f_{\text{макс}}$ без учета занятия циклов. Время складывается из времени ожидания обслуживания i-го пользов

теля и собственно времени обслуживания

$$T' = T_{\text{ож}} + T_{\text{обсл}}$$

В наихудшем случае

$$T_{\text{ож}} = (m-1)(t_{\text{o}} - t_{\text{OII}}),$$

где t_{Φ} — время опроса одного флажка, $t_{\ O\Pi}$ — время записи одно слова в $\ O\Pi$. Тогда

$$T'=m(t_{\Phi}+t_{\rm OII}).$$

Применение режима ПДП увеличивает мертвое время систем так как отодвигает момент окончания обслуживания

$$T = T' + \Delta T$$
.

Для определения ΔT введем следующую модель. Будем считат что в систему поступают требования двух приоритетов: одно требование низшего приоритета (НП), время обслуживания которог равно T'; k требований высшего приоритета (ВП), поступающи в фиксированные моменты времени с интервалом $t_{\rm HMЛ}$ равны времени записи одного слова на НМЛ при одновременной работ канала ПДП и процессора (в отличие от $t_{\rm HMЛ}^{\rm M}$, равного времен записи при мономольном режиме работы канала), время обслуживания каждого требования постоянно и равно τ .

С приходом каждого требования ВП обслуживание требова-НП приостанавливается и момент окончания обслуживания бования НП отодвигается на интервал т, так как при обмене ІДП не используется аккумулятор ЭВМ и содержимое рабочих истров ЭВМ остается незатронутым. Для случая k требова-ВП

$$\Delta T = k \tau$$

ебование ВП приходит по отношению к некоторому рассматриемому моменту времени t_0 с задержкой $t_{\rm зад}$. Необходимо расотреть следующие два случая:

- a) $t_{\text{san}} = 0$,
- б) $t_{\text{зад}} = t_{\text{НМЛ}} = \tau$.

Возьмем некоторый промежуток времени t, начиная с момента Для случая «а» представим t в виде

$$t = bt_{\rm HMJ} + c\tau + q,$$

 $c \in \{0, 1\}; \quad q < t_{\text{HMJ}} - \tau.$

Число требований ВП, пришедших за интервал времени t_{\star} ввно

$$k = b + c$$
.

Для случая «б» представим t следующим образом:

$$\dot{t} = b t_{\rm HMJ} + q,$$

 $q < t_{\rm HMJ} - \tau$.

огда k=b.

le

Считаем, что случай «а» соответствует начальному моменту истемы. Можно предложить следующий алгоритм определения исла занятых циклов k_j .

- 1. Начало.
- 2. k:=0. Перейти к п. 3.
- 3. $d_j := T'$, где d_j текущий интервал времени. Перейти к п. 4.
- 4. Представить d_j в виде $d_j = b_j t_{\text{HMЛ}} + c_j \tau + q_j$. Перейти к п. 5.
- 5. Проверить: $b_j = 0$? Если да, перейти к п. 14. Если нет, перейи к п. 6.
 - 6. $k_j := k_j + b_j + c_j$ (имеем случай «а»). Перейти к п. 7.
 - 7. j := j+1.
 - 8. $d_j := k_{j-1}\tau + q_{j-1}$. Перейти к п. 9.
 - 9. Представить d_j в виде $d_j = b_j t_{\text{HMЛ}} + q_j$. Перейти к п. 10.
- 10. Проверить: $b_j = 0$? Если да, перейти к п. 14. Если нет, терейти к п. 11.
 - 11. $k_j := k_j + b_j$ (имеем случай «б». Перейти к п. 12.

12. i = i + 1.

13. $d_j := b_{j-1} \tau + q_{j-1}$. Перейти к п. 9.

14. Конец.

Как уже указывалось, вначале имеем случай «а». Для $j=d_1=T'$

и d_1 представляем в виде

$$d_1 = b_1 t_{\text{HMJI}} + c_1 \tau + q_1.$$

На первом шаге число занятых циклов

$$k_1 = b_1 + c_1 = \left[\frac{d_1}{t_{\text{HMJ}}} \right] + \left[\frac{d_1 - \left[\frac{d_1}{t_{\text{HMJ}}} \right]}{\tau} \right],$$

где $\int_{t \text{ HMM}}^{d_1} \int$ означает целое число, не большее $\frac{d_1}{t \text{HMM}} = k_1'$. Обозначим второе слагаемое

$$\left| \frac{d_1 - \left| \frac{d_1}{t_{\text{HMJI}}} \right|}{\tau} \right| = k'_0. \tag{}$$

Тогда $k_1 = k_1' + k_0'$

Учитывая, что происходит занятие k_1 циклов, для случая «а» по лучим

$$q_1 = d_1 - (k_1' - 1) t_{\text{HMJ}} - \tau.$$

Для j=2, учитывая, что имеем случай «б», представляем а в следующем виде:

$$d_2 = b_2 t_{\text{HMJ}} + q_2.$$

Значение d_2 равно

$$d_2 = k_1 \tau + q_1.$$

Число занятых циклов на втором шаге

$$k_2 = b_2 = \left] \frac{d_2}{t_{\text{HMJI}}} \right[,$$

$$q_2 = d_1 - k_2 t_{\text{HMJI}}.$$

Для $j=\overline{3,\infty}$ имеем случай «б»:

$$d_j = k_{j-1} \tau + q_{j-1} = k_{j-1} \tau + d_{j-1} - k_{j-1} t_{\text{HMJI}},$$

$$k_j = \int \frac{d_j}{H M M}$$
.

Таким образом, число занятых циклов k определяется по слеющей рекуррентной формуле:

$$k = k_0' + \sum_{j=1}^{\infty} \left[\frac{d_j}{t_{\text{HM},II}} \right],$$

е

$$d_{j} = \begin{cases} d_{1} & \text{для } j = 1, \\ (k'_{1} + k'_{0})\tau + d_{1} - (k'_{1} + k'_{0} - 1)t_{\text{HMЛ}} - \tau & \text{для } j = 2, \\ k_{j-1}\tau + d_{j-1} - k_{j-1}t_{\text{HMЛ}} & \text{для } j = \overline{3, \infty}, \end{cases}$$
(2)

цесь k_0' определяется из выражения (1),

$$d_1 = T'$$
.

Для того чтобы экспериментальные данные не были потеряны, вобходимо

$$T \leqslant \frac{1}{f_{\text{Marc}}}$$
 (3)

Учитывая (3), сформулируем условие отсутствия потерь предложенной структуре с минимальными аппаратурными заратами на базе мини-ЭВМ:

$$m(t_{\Phi}+t_{\mathrm{OH}})+\tau k_{0}'+\tau \sum_{j=1}^{\infty}\left]\frac{d_{j}}{t_{\mathrm{HMJI}}}\right[\leqslant \frac{1}{f_{\mathrm{Make}}}.$$
 (4)

Значения k'_0 и d_j находим по формулам (1) и (2) соответстенно. Так как для конкретной ЭВМ значения t_{ϕ} , $t_{\text{ОП}}$, $t_{\text{НМЛ}}$, τ остоянны, выражение (4) определяет зависимость количества ользователей системы от максимальной частоты.

СПИСОК ЛИТЕРАТУРЫ

1. Саати Т. Л. Элементы теории массового обслуживания и ее приложеия.— М.: Сов. радио, 1971.

2. Соучек Б. Мини-ЭВМ в системах обработки информации.— М.: Мир, 976.

 $_{c}(1)$ randare at an analysis

provide after that the state of

17 000 1 СОДЕРЖАНИЕ

rent percental arthurade political de Gran northural Н. П. Фатеев, В. А. Кузьмин, Д. Я. Блантер, А. Я. Ривл и н. Измерение малых скоростей воздушного потока при поверке анемометров Б. Я. Толстобров, Н. П. Фатев. Измерение скорости воздушного

Ю. В. Рогалев, Н. П. Фатеев. Методы поверки автоматических метеостанций с применением подвижных поверочных лабораторий

В. В. Лячнев, Н. П. Фатеев. О формах представления результатов измерений.
Б. Л. Кожевников. Эффективность учета законов распределения

погрешностей.

В. А. Клеванцова, И. А. Покровская. К метрологической аттестации эталонного пиргелиометра Госкомгидромета

В. А. Клеванцова, И. А. Покровская, Л. Е. Щебелина. Экспериментальное определение погрешностей поверки гальванометров

- ГСА-1МА и ГСА-1МБ. В. А. Клеванцова, И. А. Покровская, Л. Е. Щебелина. Оценка случайных погрешностей при определении переводного множителя и чувствительности пиранометров

В. А. Клеванцова, И. А. Покрювская: Проект поверочной схемы для средств измерений энергетической освещенности радиацией

Д. Я. Блантер, Ю. В //Рогалев Результаты метрологической

Г. П. Резников, И. А. Соков. Метрологическая аттестация термогигростата «Бриз» Н. Н. Климин, Г. П. Резников, Б. И. Толстухин, Н. П. Фа-

теев, Л. А. Ядова. Разработка и исследование методики градуировки и поверке пневмоанемометра для измерения скорости аспирации психрометров

В. Ю. Окоренков. Обоснование межповерочных интервалов для

Г. И. Тетерев. О температурной поправке при измерении атмосферного давления ртутными барометрами и манометрами В. Ф. Фомин. К вопросу контроля точности измерения содержа-

А. А. Бузников, Л. Ф. Полякова. Система сбора большого юбъема информации на базе мини-ЭВМ

Труды ГГО, вып. 432

МЕТОДИЧЕСКИЕ ИССЛЕДОВАНИЯ И ВОПРОСЫ ПОВЕРКИ МЕТЕОРОЛОГИЧЕСКОЙ АППАРАТУРЫ

Редактор Г. А. Солдатова. Техн. редактор Л. М. Шишкова. Корректор Т. Н. Черненко Сдано в набор 4.02.80. Подписано в печать 22.01.81. М-16430. Формат 60×90¹/ы, бумага тип. № 1. Гарнитура литературная. Печать высокая. Печ. л. 8,5. Всего кр. отт. 8,75. Уч.-изд. л. 8,58. Тираж 650 экз. Индекс МЛ-222. Заказ № 693. Цена 60 коп. Заказное.

Гидрометеоиздат. 199053. Ленинград, 2-я линия, 23.

Сортавальская книжная типография Управления по делам издательств, полиграфии и книжной торговли Совета Министров Карельской АССР. Сортавала, Карельская, 42.

